

สำนักหอสมุดกลาง พระจอมเกล้าลาดกระบัง วิทยาเขตระยอง

บัลลาสต์อิเล็กทรอนิกส์  
BALLAST ELECTRONIC



นาย สุรชาติ สอนสุจิตรา  
นาย อุดมศักดิ์ รัตนเมธาโกศล

.b.....  
.i.....

ปริญญานิพนธ์นี้เป็นส่วนหนึ่งของการศึกษาตามหลักสูตรปริญญาอุตสาหกรรมศาสตรบัณฑิต  
สาขาวิชาเทคโนโลยีอิเล็กทรอนิกส์ ภาควิชาเทคนิคอุตสาหกรรม  
คณะวิศวกรรมศาสตร์  
สถาบันเทคโนโลยีพระจอมเกล้าเจ้าคุณทหารลาดกระบัง  
ปีการศึกษา 2542

เอกสารนี้เป็นเอกสารที่สงวนไว้สำหรับการใช้งานเพื่อการศึกษาเท่านั้น ไม่อนุญาตให้นำไปใช้ประโยชน์ด้านการค้า  
ไม่ว่ากรณีใดๆ ทั้งสิ้น อีกทั้งห้ามมิให้ตัดแปลงเนื้อหาและต้องอ้างอิงถึงเจ้าของเอกสารทุกครั้งที่มีการนำไปใช้

หัวข้อปริญญานิพนธ์      การประหยัดพลังงาน  
BALLAST ELECTRONIC

โดย

นาย สุรชาติ สอนสุจิตรา      40013315  
นาย อุดมศักดิ์ รัตนเมธาโกศล      40013321

ภาควิชา

เทคนิคอุตสาหกรรม

อาจารย์ที่ปรึกษา

อาจารย์ เรืองศักดิ์ เจริญผ่อง

คณะวิศวกรรมศาสตร์ สถาบันเทคโนโลยีพระจอมเกล้าเจ้าคุณทหารลาดกระบังอนุมัติให้นับ  
ปริญญานิพนธ์ฉบับนี้ เป็นส่วนหนึ่งของการศึกษาตามหลักสูตรอุตสาหกรรมศาสตรบัณฑิต  
คณะกรรมการสอบปริญญานิพนธ์

.....อาจารย์ที่ปรึกษา  
( )  
.....กรรมการ  
( )  
.....กรรมการ  
( )  
.....กรรมการ  
( )  
.....กรรมการ  
( )

เอกสารนี้เป็นเอกสารที่สงวนไว้สำหรับการใช้งานเพื่อการศึกษาเท่านั้น ไม่อนุญาตให้นำไปใช้ประโยชน์ด้านการค้า  
ไม่ว่ากรณีใดๆ ทั้งสิ้น อีกทั้งห้ามมิให้ดัดแปลงเนื้อหาและต้องอ้างอิงถึงเจ้าของเอกสารทุกครั้งที่มีการนำไปใช้

## บัลลาสต์อิเล็กทรอนิกส์

นักศึกษา นาย สุรชาติ สอนสุจิตรา 40013315

นาย อุดมศักดิ์ รัตนเมธาโกศล 40013321

อาจารย์ที่ปรึกษา อาจารย์ เรืองศักดิ์ เจริญผ่อง

ปีการศึกษา 2542

### บทคัดย่อ

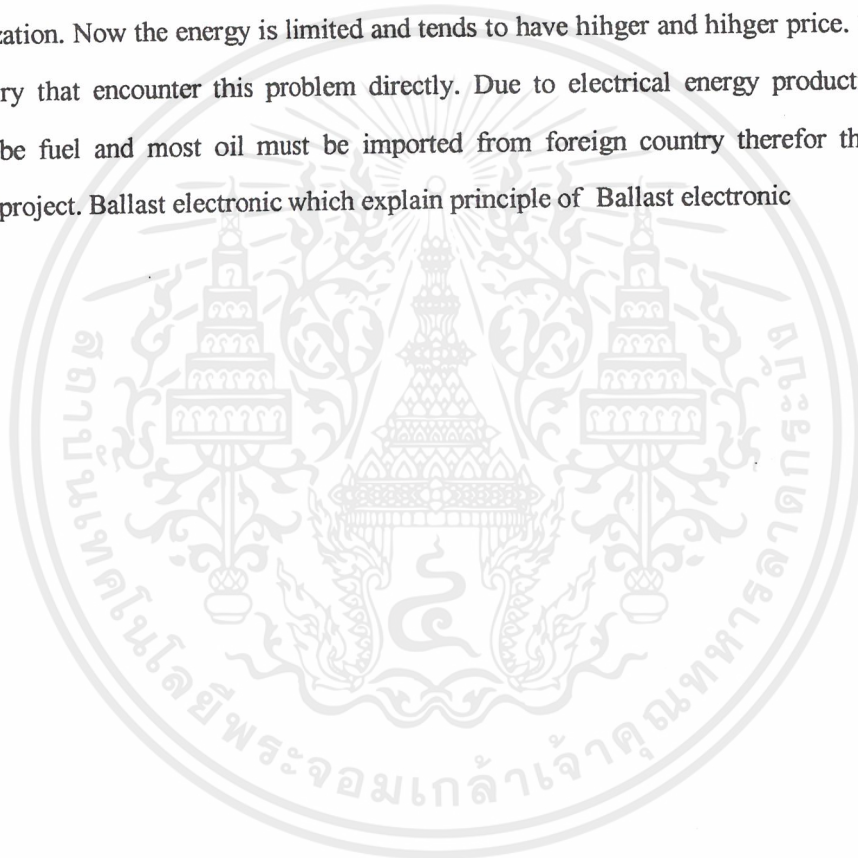
จากวิกฤตการณ์พลังงานที่ผ่านมาได้ส่งผลกระทบต่อความเจริญก้าวหน้าทางด้านอุตสาหกรรมเป็นอย่างมาก จนทำให้โรงงานอุตสาหกรรมและธุรกิจต่าง ๆ จำเป็นต้องหามาตรการประหยัดพลังงานมาใช้ เพื่อลดการใช้พลังงานที่มีจำกัดและมีแนวโน้มที่จะมีราคาสูงขึ้นเรื่อย ๆ ประเทศไทยเป็นประเทศที่ประสบปัญหาโดยตรงเนื่องจากการผลิตพลังงานไฟฟ้าส่วนใหญ่ต้องใช้น้ำมันเป็นเชื้อเพลิงซึ่งส่วนใหญ่ต้องซื้อจากต่างประเทศ ดังนั้นในการทำปริญญานิพนธ์ประกอบการทำโครงการ Ballast Electronic จึงได้อธิบายหลักการทำ Ballast Electronic

## BALLAST ELECTRONIC

BY Mr. Surachat Sornsuchitra  
Mr. Udomsak Rattanametagosol  
Advisor Ruangsak Chareanpong  
Year 1999

### ABTRACT

The problem of energy crisis has effectd industrial development very much. This makes industrial plants and aeveral kinds of business have to look for energy saving method to reduce energy utilization. Now the energy is limited and tends to have hihger and hihger price. Thailand is the country that encounter this problem directly. Due to electrical energy production have touseoil to be fuel and most oil must be imported from foreign country therefor this thesis compose of project. Ballast electronic which explain principle of Ballast electronic



เอกสารนี้เป็นเอกสารที่สงวนไว้สำหรับการใช้งานเพื่อการศึกษาเท่านั้น ไม่อนุญาตให้นำไปใช้ประโยชน์ด้านการค้า  
ไม่ว่ากรณีใดๆ ทั้งสิ้น อีกทั้งห้ามมิให้ดัดแปลงเนื้อหาและต้องอ้างอิงถึงเจ้าของเอกสารทุกครั้งที่มีการนำไปใช้

## กิตติกรรมประกาศ

ปริญญาบัตรฉบับนี้สำเร็จขึ้นได้ด้วยความร่วมมือจากหลาย ๆ ฝ่าย ทางคณะผู้จัดทำจึงขอขอบคุณ อาจารย์ เรืองศักดิ์ เจริญผ่อง ซึ่งเป็นอาจารย์ที่ปรึกษาที่ให้คำแนะนำรวมทั้งข้อมูลต่าง ๆ เป็นอย่างดี ท้ายสุดนี้ผู้จัดทำขอขอบคุณเพื่อน ๆ ทุกคนที่ให้คำแนะนำจนทำให้ปริญญาบัตรฉบับนี้สำเร็จลุล่วงไปได้ด้วยดี

สุรชาติ สอนสุจิตรา

อุดมศักดิ์ รัตนเมธาโกศล



เอกสารนี้เป็นเอกสารที่สงวนไว้สำหรับการใช้งานเพื่อการศึกษาเท่านั้น ไม่อนุญาตให้นำไปใช้ประโยชน์ด้านการค้าไม่ว่ากรณีใดๆ ทั้งสิ้น อีกทั้งห้ามมิให้ดัดแปลงเนื้อหาและต้องอ้างอิงถึงเจ้าของเอกสารทุกครั้งที่มีการนำไปใช้

## สารบัญ

หน้า

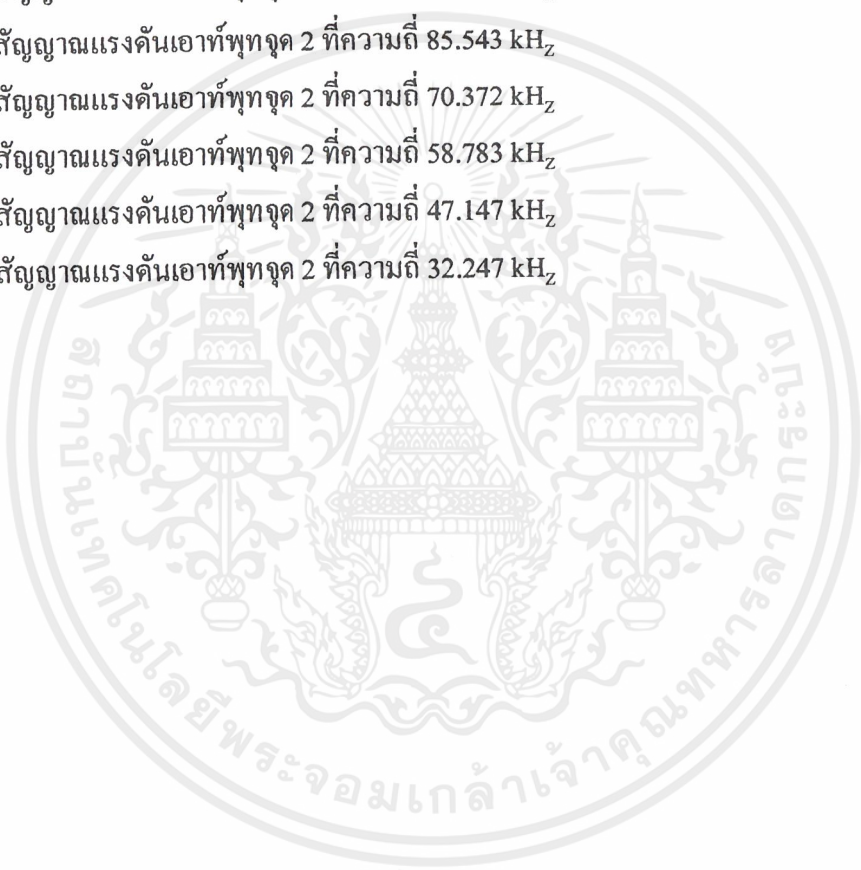
บทคัดย่อ(ภาษาไทย)	
บทคัดย่อ(ภาษาอังกฤษ)	
กิตติกรรมประกาศ	
บทที่ 1 (บทนำ)	1
1.1 ความเป็นมา	1
1.2 วัตถุประสงค์	1
1.3 วิธีดำเนินงาน	1
1.4 ผลประโยชน์ที่คาดว่าจะได้รับ	1
บทที่ 2 (ทฤษฎีระบบไฟฟ้าแสงสว่าง)	
2.1 ทฤษฎีระบบไฟฟ้าแสงสว่าง	2
2.2 ส่วนประกอบของหลอดฟลูออเรสเซนต์	3
2.3 บัลลาสต์	4
2.4 สตาร์ทเตอร์	6
บทที่ 3 (ทฤษฎีวงจรบัลลาสต์อิเล็กทรอนิกส์)	
3.1 วงจรเรกติไฟเออร์	8
3.2 RFI อินพุตฟิลเตอร์	15
3.3 วงจรกำเนิดสัญญาณนาฬิกา	16
3.4 วงจรสับเบออร์	19
3.5 ฟาสต์-รีคัพเวอร์รีไดโอด	20
3.6 วงจรขับด้วยมอสเฟต	23
บทที่ 4 การทดลอง	30
สรุป	
ภาคผนวก	

## สารบัญรูป

รูปที่ 2.1	ส่วนประกอบภายในหลอดฟลูออเรสเซนต์	3
รูปที่ 2.2	ลักษณะ โครงสร้างของอินดักเตอร์บัลลาสต์	5
รูปที่ 2.3	การต่อวงจรหลอดฟลูออเรสเซนต์	7
รูปที่ 3.1	ส่วนประกอบภายในบัลลาสต์อิเล็กทรอนิกส์	8
รูปที่ 3.2	แสดงค่าแรงดันไฟตรงเฉลี่ยเอาต์พุตของวงจรเรกติไฟเออร์ ที่ได้ที่โหลดและตัวต้านทานจำกัดกระแส $R_s$ ค่าต่าง ๆ	9
รูปที่ 3.3 ก	แสดงค่ากระแส RMS ที่ผ่านเรกติไฟเออร์เมื่อเปรียบเทียบกับ ค่าประสิทธิภาพ $I_e$ ต่อกำลังงานที่เรกติไฟเออร์ต้องจ่ายออกไป ให้อินเวอร์เตอร์ (คิดเป็นเปอร์เซ็นต์สูงสุด) ที่ค่า $R_{sf}$ ต่าง ๆ กัน	10
รูปที่ 3.3 ข	แสดงค่ากระแสระลอก (RMS) ที่ ตัวเก็บประจุฟิลเตอร์เมื่อเปรียบเทียบกับ ค่าประสิทธิภาพ $I_e$ ต่อกำลังงานที่เรกติไฟเออร์ต้องจ่ายออกไปให้ อินเวอร์เตอร์ (คิดเป็นเปอร์เซ็นต์สูงสุด) ที่ค่า $R_{sf}$ ต่าง ๆ กัน	11
รูปที่ 3.3 ค	แสดงค่ากระแสสูงสุด ที่ผ่าน ตัวเก็บประจุเมื่อเปรียบเทียบกับ ค่าประสิทธิภาพ $I_e$ ต่อกำลังงานที่เรกติไฟเออร์ต้องจ่ายออกไปให้ อินเวอร์เตอร์ (คิดเป็นเปอร์เซ็นต์สูงสุด) ที่ค่า $R_{sf}$ ต่าง ๆ กัน	11
รูปที่ 3.4	การต่อวงจร LC ฟิลเตอร์เพื่อลดสัญญาณรบกวน RFI	15
รูปที่ 3.5	ลักษณะรูปร่าง และการจัดขาของ IR2155	16
รูปที่ 3.6	บล็อกไดอะแกรมภายในของ IR2155	18
รูปที่ 3.7	พื้นฐานวงจรประยุกต์ใช้งานเบื้องต้น	19
รูปที่ 3.8	วงสับเบอร์ที่ประกอบด้วยตัวต้านทาน และตัวเก็บประจุ	20
รูปที่ 3.9	แสดงการเปรียบเทียบการ โดปสารกึ่งตัวนำ	21
รูปที่ 3.10	ขั้นตอนการสร้างฟาส-รีคัพเวอรีไดโอด	22
รูปที่ 3.11	การเปรียบเทียบวิธีขับทรานซิสเตอร์และ มอสเฟต	23
รูปที่ 3.12	คุณสมบัติการสกดกันกระแสครนและซอร์ส	24
รูปที่ 3.13	การเปรียบเทียบคุณสมบัติทางเอาต์พุตของมอสเฟตกำลัง และ ไบโพลาร์ทรานซิสเตอร์	25
รูปที่ 3.14	วงจรทดสอบเวลาในการสวิตช์	27
รูปที่ 3.15	ความสัมพันธ์ระหว่างเวลาที่ใช้ในการสวิตช์และแรงดันเกต(IRF330)	27
รูปที่ 3.16	ความสัมพันธ์ระหว่างเวลา การสวิตช์และ ความต้านทานของวงจรเกต(IRF330)	28

เอกสารนี้เป็นเอกสารที่สงวนไว้สำหรับการใช้งานเพื่อการศึกษาเท่านั้น ไม่อนุญาตให้นำไปใช้ประโยชน์ด้านการค้า  
ไม่ว่ากรณีใดๆ ทั้งสิ้น อีกทั้งห้ามมิให้ดัดแปลงเนื้อหาและต้องอ้างอิงถึงเจ้าของเอกสารทุกครั้งที่มีการนำไปใช้

รูปที่ 3.17	วงจรสมบรูณ์ของบัลลาสต์อิเล็กทรอนิกส์	29
รูปที่ 4.1	วงจรทดสอบบัลลาสต์	30
รูปที่ 4.2	วงจรทดสอบบัลลาสต์อิเล็กทรอนิกส์ที่ค่าความถี่ต่างๆ	31
รูปที่ 4.3	สัญญาณแรงดันเอาต์พุตจุด 1 ที่ความถี่ 85.543 kHz	31
รูปที่ 4.4	สัญญาณแรงดันเอาต์พุตจุด 1 ที่ความถี่ 70.372 kHz	32
รูปที่ 4.5	สัญญาณแรงดันเอาต์พุตจุด 1 ที่ความถี่ 58.783 kHz	32
รูปที่ 4.6	สัญญาณแรงดันเอาต์พุตจุด 1 ที่ความถี่ 47.147 kHz	32
รูปที่ 4.7	สัญญาณแรงดันเอาต์พุตจุด 1 ที่ความถี่ 35.448 kHz	33
รูปที่ 4.8	สัญญาณแรงดันเอาต์พุตจุด 1 ที่ความถี่ 32.247 kHz	33
รูปที่ 4.9	สัญญาณแรงดันเอาต์พุตจุด 2 ที่ความถี่ 85.543 kHz	34
รูปที่ 4.10	สัญญาณแรงดันเอาต์พุตจุด 2 ที่ความถี่ 70.372 kHz	34
รูปที่ 4.11	สัญญาณแรงดันเอาต์พุตจุด 2 ที่ความถี่ 58.783 kHz	34
รูปที่ 4.12	สัญญาณแรงดันเอาต์พุตจุด 2 ที่ความถี่ 47.147 kHz	35
รูปที่ 4.13	สัญญาณแรงดันเอาต์พุตจุด 2 ที่ความถี่ 32.247 kHz	35





## สารบัญตาราง

ตารางที่ 3.1 ตัวอย่างอัตราทนกระแสระลอกสูงสุดของตัวเก็บประจุ ชนิดอิเล็กทรอนิกส์ที่ค่าความจุและอัตราทนแรงดันขนาดต่าง ๆ	12
ตารางที่ 3.2 คุณสมบัติทางไฟฟ้าของฟาส-รีคัพเวอรีไดโอด	23
ตารางที่ 3.3 คุณสมบัติของมอสเฟตตัวต่าง ๆ	26
ตารางที่ 4.1 แสดงการวัดค่าต่าง ๆ	30
ตารางที่ 4.2 แสดงถึงค่าต่าง ๆ เมื่อได้เปลี่ยนความถี่	35



# บทที่ 1

## บทนำ

### 1.1 ความเป็นมา

ในปัจจุบันประเทศไทยของเราได้มีการรณรงค์เกี่ยวกับการประหยัดพลังงานเพื่อลดรายจ่ายของประเทศซึ่งก็รวมไปถึงการประหยัดพลังงานทางไฟฟ้าด้วย เช่น ฉลากประหยัดไฟเบอร์ 5 หรืออีกอื่น ๆ สำหรับปริมาณนิพนธ์เล่มนี้จะขอกล่าวถึงการประหยัดพลังงานในระบบไฟฟ้าส่องสว่าง โดยการนำบัลลาสต์อิเล็กทรอนิกส์มาแทนบัลลาสต์แบบขดลวดเนื่องจากมีประสิทธิภาพในการทำงานที่สูงกว่าบัลลาสต์แบบเดิม เช่น การให้แสงที่น้อยกว่าคือการกระพริบของแสงจนเรารู้สึกไม่ได้ การกินกระแสน้อยกว่าซึ่งก็เท่ากับว่าประหยัดกว่า โดยปริมาณนิพนธ์เล่มนี้ได้เน้นศึกษาไปที่อุปกรณ์ไฟฟ้าประหยัดพลังงานคือบัลลาสต์อิเล็กทรอนิกส์เพื่อที่เปรียบเทียบกับบัลลาสต์แบบขดลวดเป็นสำคัญ

### 1.2 วัตถุประสงค์

- 1.2.1 เพื่อศึกษาถึงอุปกรณ์ประหยัดพลังงาน
- 1.2.2 เพื่อเปรียบเทียบผลดีของบัลลาสต์อิเล็กทรอนิกส์กับบัลลาสต์แบบขดลวด

### 1.3 วิธีการดำเนินงาน

โดยการศึกษาถึงประเภทของอุปกรณ์ประหยัดพลังงานบัลลาสต์อิเล็กทรอนิกส์กับบัลลาสต์แบบขดลวด โดยทำการเปรียบเทียบบัลลาสต์อิเล็กทรอนิกส์กับบัลลาสต์แบบขดลวด โดยที่วิธีการดำเนินงานคือการสร้างตัวบัลลาสต์อิเล็กทรอนิกส์ขึ้นมาเพื่อทำการวัดค่าของกระแส ค่าเพาเวอร์แฟคเตอร์ ค่าความเข้มของแสง เป็นต้น

### 1.4 ผลประโยชน์ที่คาดว่าจะได้รับ

- 1.4.1 ได้รู้ถึงความประหยัดที่เกิดขึ้นกับบัลลาสต์ทั้งสองแบบ
- 1.4.2 ช่วยลดการกระพริบของแสงทั้งยังช่วยถนอมสายตาของผู้ใช้
- 1.4.3 ลด Power Losses ที่เกิดจากบัลลาสต์แบบขดลวด (Choke Type) และลดความต้องการพลังงานของหลอดเพื่อให้ได้ระดับแสงสว่างที่ต้องการ
- 1.4.4 หลอดจะติดเร็วกว่าใช้บัลลาสต์แบบขดลวด

## บทที่ 2

### ทฤษฎีระบบไฟฟ้าแสงสว่าง

#### 2.1 ระบบไฟฟ้าแสงสว่าง

ในการประกอบกิจการใด ๆ ก็ตามแสงสว่างเป็นสิ่งจำเป็นต่อกิจการนั้น ๆ ดังนั้นการใช้ไฟฟ้าเพื่อให้แสงสว่างจึงถือว่าเป็นค่าใช้จ่ายอย่างหนึ่งที่เราสามารถที่จะประหยัดได้ การใช้พลังงานไฟฟ้าในการให้แสงสว่างอย่างไม่มีประสิทธิภาพจะก่อให้เกิดความสูญเสียทางด้านพลังงานโดยเปล่าประโยชน์

สำหรับระบบไฟฟ้าแสงสว่างนั้นสิ่งที่สำคัญที่สุดก็คงจะเป็นหลอดไฟฟ้า โดยหลอดไฟฟ้าที่ผลิตออกมาจำหน่ายเพื่อใช้ในการให้แสงสว่างทั่ว ๆ ไปมีอยู่หลายชนิดแต่ในที่นี้จะขอกกล่าวถึงชนิดที่นิยมใช้กันมากที่สุดคือ ชนิดหลอดฟลูออเรสเซนต์

#### 2.2 หลอดฟลูออเรสเซนต์ (Fluorescent Lamp)

หลอดฟลูออเรสเซนต์เป็นหลอดที่ใช้กันมากในปัจจุบันนี้เพราะเป็นหลอดที่มีประสิทธิภาพสูง ประสิทธิภาพของหลอดฟลูออเรสเซนต์มีประมาณ 72 ลูเมนต่อวัตต์ เมื่อเทียบกับหลอดอินแคนเดสเซนต์ 100 วัตต์ซึ่งมีประสิทธิภาพเพียง 17.5 ลูเมนต่อวัตต์ นอกจากนี้อายุการใช้งานของหลอดนานถึง 20,000 ชั่วโมง ความจำของหลอดฟลูออเรสเซนต์ก็ลดลงความร้อนที่เกิดขึ้นในขณะที่ทำงานก็น้อยกว่าแต่มีการใช้อุปกรณ์ประกอบมากกว่า

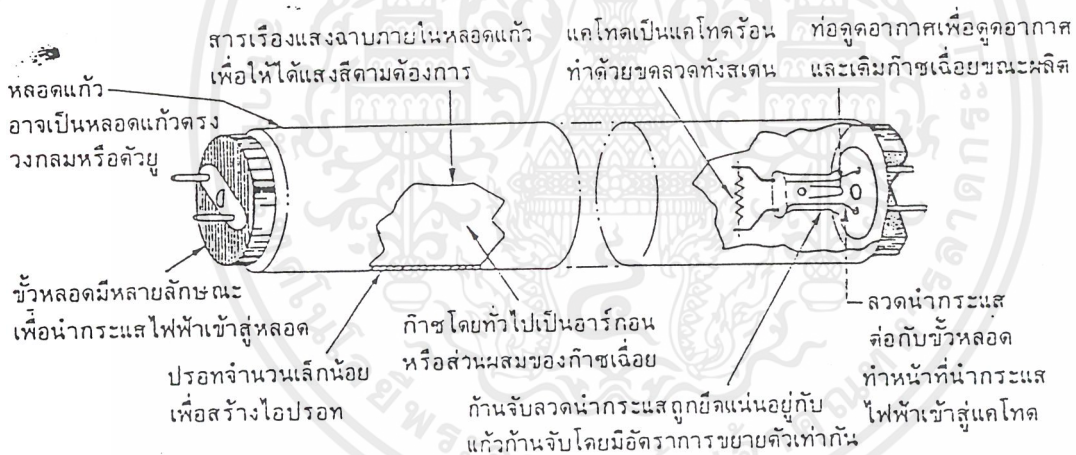
การทำงานของหลอดฟลูออเรสเซนต์จะอาศัยพลังงานจากแสงอัลตราไวโอเลตซึ่งเกิดขึ้นจากไอปรอทที่บรรจุในก๊าซเฉื่อย เช่น ก๊าซอาร์กอน คริปทอน หรือนีออน ที่ความดันต่ำ ๆ ไอปรอทจะได้รับพลังงานจากแหล่งปลดปล่อยพลังงาน หรือกระตุ้นให้ไอปรอทปลดปล่อยพลังงานออกมาซึ่งแสงอัลตราไวโอเลตที่เปล่งออกมาจากไอปรอทนี้จะกระทบเข้ากับผิวในของหลอดแก้วซึ่งฉาบไว้ด้วยสารเรืองแสงที่เรียกว่า ฟอสเฟอร์ (Phosphor) หรือ Fluorescent materia ตัวสารเรืองแสงนี้ก็จะทำหน้าที่เปลี่ยนแสงอัลตราไวโอเลตซึ่งไม่สามารถมองเห็นให้กลายเป็นแสงสว่างที่ปรากฏแก่สายตาของคนเราได้

ตัวหลอดไฟฟ้านั้น จริง ๆ แล้วก็คือหลอดแก้วที่ภายในฉาบด้วยสารเรืองแสง จากนั้นก็จะถูกดูดเอาอากาศออกและไอปรอทจำนวนเล็กน้อยและก๊าซเฉื่อยไว้ภายใน ที่ปลายทั้งสองข้างของหลอดแก้วจะมีขั้วไฟฟ้าที่ เรียกว่า อิเล็กโทรด (Electrode) เมื่อเปิดสวิตซ์ให้มีกระแสไฟฟ้าไหลผ่านหลอดฟลูออเรสเซนต์ ทางเดินของกระแสไฟฟ้าผ่านขั้วอิเล็กโทรดจะทำให้ขั้วอิเล็กโทรดร้อนและปล่อยอิเล็กตรอนออกมา ซึ่งอิเล็กตรอนนี้จะออกมาจากสารปล่อยอิเล็กตรอน (Emissive material) ซึ่งเคลือบไว้บนไส้หลอด นอกเหนือจากอิเล็กตรอนที่ปล่อยออกมาโดยความร้อนก็ยังมียอิเล็กตรอนที่ถูกปล่อยออกมา เนื่องจากความแตกต่างของค่าแรงดันระหว่าง ขั้วอิเล็กตรอนทั้งสอง อิเล็กตรอนจะเคลื่อนที่ด้วยความเร็วสูงจากขั้วอิเล็กโทรดหนึ่งไปยังขั้วอิเล็กโทรดอีกขั้วหนึ่ง ก่อให้

เกิดลำอิเล็กตรอนหรืออาร์คซึ่งเคลื่อนที่ผ่านไอของปรอททำให้ปรอทได้รับพลังงานจากอิเล็กตรอน และทำให้หลอดได้รับความร้อนและเพิ่มค่าแรงดันของไอปรอทจนถึงจุดที่หลอดจะมีประสิทธิภาพสูงที่สุด

สภาวะที่เกิดขึ้นภายในหลอดแก้วนี้จะมีคุณสมบัติที่ขึ้นอยู่กับค่าความดันของก๊าซที่อยู่ในภายในและค่าความต่างศักย์ระหว่างขั้วอิเล็กโทรดทั้งสอง คุณสมบัติที่สำคัญก็คือ การก่อให้เกิดแสงที่สามารถมองเห็นได้ด้วยตาเปล่า และแสงอัลตราไวโอเล็ตเมื่ออิเล็กตรอนที่เคลื่อนที่เข้าชนกับอะตอมของไอปรอทและทำให้อิเล็กตรอนของไอปรอทกระเด็นออกจากวงโคจรของมันอิเล็กตรอนที่กระเด็นออกมาเหล่านี้จะพยายามที่จะกลับคืนเข้าสู่วงโคจรเดิม ดังนั้นมันจะปล่อยพลังงานที่ได้รับออกมาก่อนที่จะกลับเข้าสู่สถานะเดิม พลังงานที่ปล่อยออกมาส่วนใหญ่แล้วจะเป็นแสงอัลตราไวโอเล็ตที่มีความยาวคลื่น 253.7 นาโนเมตร แสงอัลตราไวโอเล็ตนี้จะถูกเปลี่ยนเป็นแสงที่ตาสามารถมองเห็นได้ โดยสารเรืองแสงซึ่งจะมีคุณสมบัติในการดูดกลืนแสงอัลตราไวโอเล็ตเอาไว้และปล่อยแสงที่มีความยาวคลื่นมากกว่าซึ่งตาคนเราสามารถมองเห็นได้

### โครงสร้างของหลอดฟลูออเรสเซนต์



รูปที่ 2.1 ส่วนประกอบภายในของหลอดฟลูออเรสเซนต์

**ตัวหลอด** ขนาดและรูปร่างของหลอดฟลูออเรสเซนต์จะได้รับการกำหนดโดยรหัสที่ประกอบด้วยตัว T (หมายความว่า หลอดกลม T มาจากคำว่า Tubular) จากนั้นจะตามด้วยตัวเลขซึ่งตามด้วยเส้นผ่าศูนย์กลางของหลอด สำหรับขนาดความยาวโดยทั่วไป จะแตกต่างกันโดยมีตั้งแต่ 6-69 นิ้ว

สารเคลือบแสง สีของแสงที่เปล่งออกมาจากหลอดฟลูออเรสเซนต์ จะอยู่กับส่วนประกอบทางเคมีของสารเรืองแสงที่ใช้ภายในของหลอดแก้ว โดยใช้ส่วนผสมที่แตกต่างกันไป จะทำให้หลอดมีสีที่แตกต่างออกไป

ขั้วฮาโลด ขั้วอิเล็กโทรดที่ตอนปลายของหลอดจะเป็นขดลวดทั้งสแตนท์ที่นำมาขดซ้อน ๆ กันและฉาบด้วยสารชนิดที่จะปลดปล่อยอิเล็กตรอนออกมา ซึ่งอาจได้แก่ แบเรียม แคลเซียมออกไซด์ สารที่กล่าวมานี้จะปลดปล่อยอิเล็กตรอนออกมาเมื่อได้รับความร้อนถึงจุดทำงานของมันที่จะตกประมาณ 950 องศาเซลเซียส ที่อุณหภูมินี้อิเล็กตรอนจะถูกปลดปล่อยออกมาอย่างอิสระ โดยมีจำนวนเพียงเล็กน้อยเท่านั้นที่สูญเสียไปที่คาโทด การปลดปล่อยอิเล็กตรอนออกมานี้เรียกว่า Thermionic emission เนื่องจากความร้อนเป็นตัวที่ทำให้เกิดการปลดปล่อยอิเล็กตรอนมากกว่าแรงดันไฟฟ้า คาโทดชนิดนี้เรียกว่า คาโทดร้อน (Hot cathode) ซึ่งจะต้องการแรงดันไฟฟ้าที่ก่อให้เกิดลำอิเล็กตรอนภายในหลอดไม่มากนัก

ขั้วหลอด ขั้วของหลอดฟลูออเรสเซนต์ชนิดฟริชิตและแรพิดสตาร์ทจะต้องการขั้ว 2 ขั้วที่แต่ละข้างของหลอด

ขั้นตอนการจุดติดของหลอดฟลูออเรสเซนต์ซึ่งพอจะแบ่งได้ 4 ระยะคือ

- 1.การเบรคดาวน
- 2.การโกลว์
- 3.การเปลี่ยนจากการ โกลว์ไปสู่การอาร์ค
- 4.การอาร์ค

วิธีการก่อนที่หลอดไฟสว่าง

- 1.เมื่อได้รับกระแสไฟฟ้าได้หลอดทั้งสแตนท์จะร้อนแดงจะปล่อยกลุ่มอิเล็กโทรดหัว-ท้าย
- 2.อิเล็กตรอนจะวิ่งไปมาระหว่างอิเล็กโทรดหัวท้ายเพราะมีก๊าซเป็นตัวนำกลุ่มอิเล็กตรอนกระทบกับอะตอมของไอปรอทและก๊าซอาร์กอนทำให้เกิดแสงอัลตราไวโอเล็ตซึ่งเรามองเห็น
- 3.แสงอัลตราไวโอเล็ตจะไปกระทบผนังฟลูออเรสเซนต์ที่ทำจากสารฟอสเฟอร์เป็นวัสดุเรืองแสงที่เคลือบภายในหลอดแก้วและเกิดแสงสว่างขึ้นหลังจากการเปิด1-5วินาที

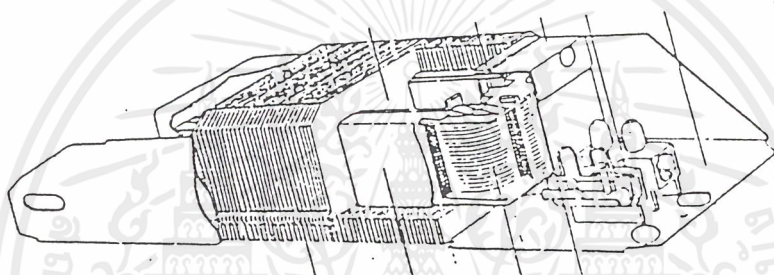
### 2.3 บัลลาสต์ (Ballast)

บัลลาสต์จะทำหน้าที่ควบคุมปริมาณกระแสไฟฟ้า บัลลาสต์จะต่ออนุกรมเข้ากับหลอดและสตาร์ทเตอร์ บัลลาสต์ทำด้วยลวดพันรอบแกนเหล็กที่ทำด้วยแผ่นเหล็กบางๆ วางเรียงซ้อนกันหลายๆรอบทำให้เกิดการเหนี่ยวนำ (Self Inductance) เมื่อคอนแทคของสตาร์ทเตอร์แยกออกจากกันทำให้เกิดความต่างศักย์ทางไฟฟ้าสูงตกคร่อมหลอดทันที ซึ่งนำไปสู่ขั้นตอนการจุดติดของหลอดฟลูออเรสเซนต์ดังที่ได้กล่าวมาแล้ว นอกจากการสตาร์ทแล้วบัลลาสต์ยังทำหน้าที่อีกอย่าง

หนึ่งเป็น Safety Device คือทำหน้าที่จำกัดไม่ให้กระแสไฟฟ้าไหลผ่านหลอดมากเกินไปและทำให้กระแสคงที่ ในที่นี้จะขอกล่าวถึงบัลลาสต์ชนิดอินดักเตอร์

### 2.3.1 อินดักเตอร์บัลลาสต์

โครงสร้างและส่วนประกอบของบัลลาสต์อินดักเตอร์มีลักษณะดังรูปที่ 2.2 ส่วนประกอบหลักของบัลลาสต์ประกอบด้วยแกนเหล็กบาง (Laminated iron) ลวดทองแดงอบน้ำยา (Enamelled Copperwire) และการฉนวน (Insulation) ซึ่งส่วนประกอบดังกล่าวทั้งหมดจะเป็นตัวกำหนดคุณภาพและสมรรถนะของบัลลาสต์โดยตรง บัลลาสต์ที่ออกแบบสิ่งแรกที่ควรคำนึงถึงคือ ควรมีค่ากำลังสูญเสียไป ค่าสูญเสียที่เกิดขึ้นจะเกิดจากความต้านทานของขดลวดที่ใช้พันซึ่งจะเพิ่มขึ้นตามอุณหภูมิที่ใช้งานของตัวบัลลาสต์จะยังเกิดจากค่าฮิสเทอรีซิส (Hysteresis) และกระแสไหลวนในแกนเหล็ก (Eddy Current)



รูปที่ 2.2 ลักษณะโครงสร้างของอินดักเตอร์บัลลาสต์

บัลลาสต์ชนิดนี้ประกอบด้วยลวดทองแดงชนิดที่เคลือบด้วยสารที่ทำหน้าที่เป็นฉนวนไฟฟ้าพันบนแกนเหล็กชนิดที่มีค่าความซึมซาบของสนามแม่เหล็ก (Permeability) สูงซึ่งส่วนใหญ่หรือทั้งหมดจะทำจากซิลิกอน แล้วรีดให้เป็นแผ่นบาง (Laminated Silicon Iron) การที่เลือกใช้ซิลิกอนนั้นเพราะว่าค่าสูญเสียเมื่อเทียบกับต้นทุนการผลิตอยู่ในเกณฑ์ที่เหมาะสม เหล็กซิลิกอนแต่ละแผ่นจะฉาบหรือคั่นด้วยฉนวนไฟฟ้าเพื่อเป็นการลดค่าสูญเสียเนื่องจากกระแสไหลวน นอกจากนั้นจำเป็นต้องมีช่องอากาศ (Air gap) เพื่อป้องกันการอิ่มตัวของเส้นแรงแม่เหล็ก (Flux Saturation) และอาจจำเป็นต้องอบด้วยวานิช (Varnish) น้ำยาคอมพาวด์ (Compound) หรือเรซิน (Resin) เพื่อเป็นการป้องกันสัญญาณรบกวนที่อาจจะเกิดขึ้นได้

ลักษณะการพันของขดลวดอาจเป็นแบบเชลล์ (Shell Type) หรือแบบคอร์ (Core Type) ส่วนการพันตามแนวยาวหรือแนวขวางขึ้นอยู่กับลักษณะของบัลลาสต์ที่ออกแบบขดลวดจะพันอยู่กับบอบบิน (Bobbins) ที่ทำด้วยพลาสติกฉนวนที่เคลือบด้วยลวดทองแดงจะถูกกำหนดให้ใช้งานที่อุณหภูมิค่าหนึ่ง (Operating Temperature) ซึ่งค่านี้จะเป็นตัวกำหนดคุณภาพของบัลลาสต์เพราะอายุ

การใช้งานของบัลลาสต์จะขึ้นอยู่กับอุณหภูมิที่หลอดสามารถรับได้หากเลือกหลอดที่สามารถรับอุณหภูมิได้สูงก็จะทำให้อายุการใช้งานนานขึ้น

สรุปหน้าที่ของบัลลาสต์

1. ทำหน้าที่เป็นตัวหน่วงแรงดันไฟฟ้าให้พอดีตามขนาดของไส้หลอด เพราะไส้หลอดบอบบางมากไม่สามารถรับแรงดันไฟฟ้าได้โดยตรง

2. ทำหน้าที่เป็นตัวจำกัดกระแสไฟฟ้าในขณะที่หลอดจุดติดแล้ว ทั้งนี้เพราะเมื่อหลอดติดสว่างก๊าซที่อยู่ภายในหลอดจะมีอุณหภูมิเพิ่มขึ้นทำให้ค่าความต้านทานภายในหลอดต่ำลง

3. ทำหน้าที่เพิ่มแรงดันในขณะที่จุดไส้หลอดเพราะว่าเมื่อหลอดยังไม่สว่าง ความต้านทานของหลอดจะมีค่าสูงเนื่องจากหลอดมีความยาวดังนั้นบัลลาสต์จึงทำหน้าที่เพิ่มแรงดันขณะเริ่มต้น

#### 2.4 สตาร์ทเตอร์ (Starter)

สตาร์ทเตอร์ที่ใช้กันอยู่ทั่วไปเป็นแบบโกลว์ (Glow Type) ประกอบด้วยคอนแทคที่เคลื่อนที่ (Movable Contact) และคอนแทคที่อยู่กับที่ (Fixed Contact) คอนแทคทั้งสองประเภทนี้บรรจุอยู่ในขั้วหลอดแก้วเล็กๆภายในบรรจุด้วยก๊าซอาร์กอน

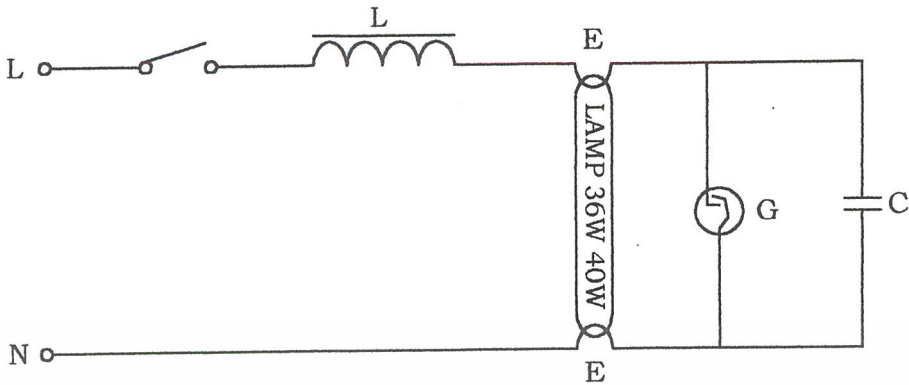
คอนแทคที่เคลื่อนที่ติดอยู่กับ Bimetal Strip ( แผ่นโลหะที่มีสารสองอย่างซึ่งมีการขยายตัวเมื่อได้รับความร้อนต่างกัน ) โดยปกติคอนแทคทั้งสองจะไม่แตะกันแต่เมื่อเราเปิดไฟให้วงจรทำงานจะทำให้มีศักย์ไฟฟ้า 220 โวลต์

ตกคร่อมคอนแทคทั้งสองนี้จะทำให้มีกระแสไฟฟ้าเพียงเล็กน้อยไหลผ่านก๊าซอาร์กอน โดยการอาร์คและกระแสที่ไหลผ่านคอนแทคจะทำให้ Bimetal Strip ร้อนและแตะถึงกัน

ขณะเดียวกันกระแสจำนวนนี้จะวิ่งผ่านไส้หลอดทำให้ไส้หลอดร้อนและก๊าซในหลอดจะแตกตัวเป็นไอออน (Ion)

ทำให้เกิดการจุดติดของหลอด เมื่อหลอดติดสว่างกระแสไฟฟ้าที่ไหลผ่านหน้าคอนแทคจะลดลง ทำให้สตาร์ทเตอร์เย็นตัวลงและตัดวงจรสตาร์ทเตอร์ออก

## 2.5 วงจรหลอดฟลูออเรสเซนต์



รูปที่ 2.3 การต่อวงจรหลอดฟลูออเรสเซนต์

การต่อหลอดฟลูออเรสเซนต์ทั่วไปแสดงดังรูป 2.2 ประกอบด้วยบัลลาสต์ L และสตาร์ทเตอร์ G โดยมีตัวเก็บประจุ C ทำหน้าที่จำกัดสัญญาณรบกวนจากความถี่วิทยุ

เมื่อยังไม่ได้เปิดสวิตซ์ก๊าซอาร์กอนและไอปรอทในหลอดยังไม่แตกตัวเป็นไอออนเพื่อนำกระแส ดังนั้นที่ขั้วหลอดระหว่าง E-E จึงมีความต้านทานสูงมาก ส่วนสตาร์ทเตอร์ G นั้นโดยปกติหน้าคอนแทกของสตาร์ทเตอร์จะไม่ต่อถึงกัน

เมื่อเปิดสวิตซ์จ่ายไฟ 220 โวลต์ ผ่านบัลลาสต์ L มาตกรวมสตาร์ทเตอร์ G 220 โวลต์ทำให้คอนแทกของสตาร์ทเตอร์ร้อนและต่อถึงกัน ในขณะนี้มีกระแสจำนวนมากไหลผ่านบัลลาสต์ L และไส้หลอด E-E ซึ่งกระแสที่ไหลผ่านจะถูกกำหนดโดยบัลลาสต์ L ตามขนาดวัตต์ของหลอดฟลูออเรสเซนต์เป็นผลทำให้เกิดอิเล็กตรอนอิสระขึ้นมาจำนวนหนึ่ง และพอน้ำคอนแทกของสตาร์ทเตอร์กลับสู่สภาพเดิม คือเปิดหน้าคอนแทกออกเหตุนี้กระแสที่ไหลผ่านบัลลาสต์ L จึงลดลงอย่างกะทันหันทำให้บัลลาสต์คายพลังงานออกมาในรูปของแรงดัน ( แรงดันทรานเซียนต์ ) ซึ่งเมื่อรวมกับไฟสลับ 220 โวลต์ ทำให้ก๊าซอาร์กอน และปรอทแตกตัวเป็นไอออน อิเล็กตรอนอิสระที่ไส้หลอด E-E จึงสามารถวิ่งผ่านถึงกันได้จะทำให้มีกระแสไหลผ่านตลอดและเมื่อหลอดสว่างแรงดันตกคร่อมหลอดจะลดลง ประมาณ 100 โวลต์ ซึ่งมีค่าไม่เพียงพอให้หน้าคอนแทกของสตาร์ทเตอร์ต่อถึงกันได้

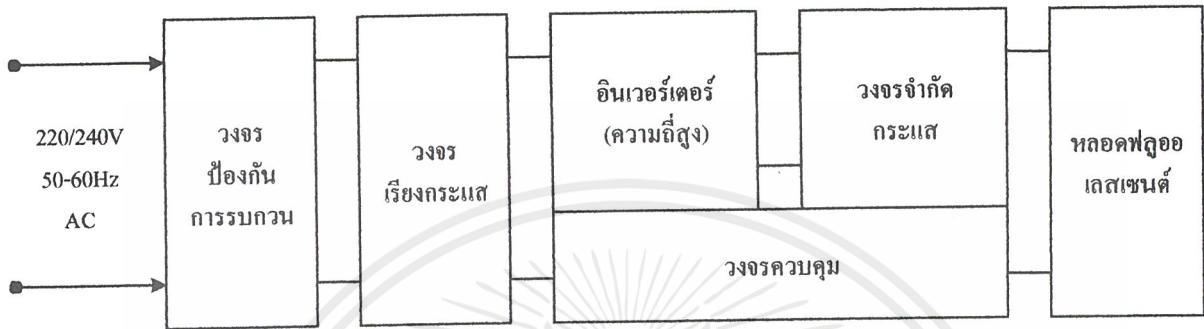


### บทที่ 3

## ทฤษฎีวงจรบัลลาสต์อิเล็กทรอนิกส์

บัลลาสต์อิเล็กทรอนิกส์ส่วนใหญ่ โดยหลักๆแล้วจะประกอบด้วยวงจรภายในส่วนต่างๆ

ผังรูป



รูปที่ 3.1 ส่วนประกอบภายในของบัลลาสต์อิเล็กทรอนิกส์

วงจรบัลลาสต์อิเล็กทรอนิกส์ 6 ส่วน

- 1.เรกติไฟเออร์(Rectifier)
- 2.RFI ฟิลเตอร์
- 3.วงจรกำเนิดสัญญาณนาฬิกา
- 4.วงจรสแน็บเบอร์(Snubber)
- 5.ฟาสต์-รีคัฟเวอรี ไดโอด(Fast Recovery Diode)
- 6.วงจรขับด้วยมอสเฟต

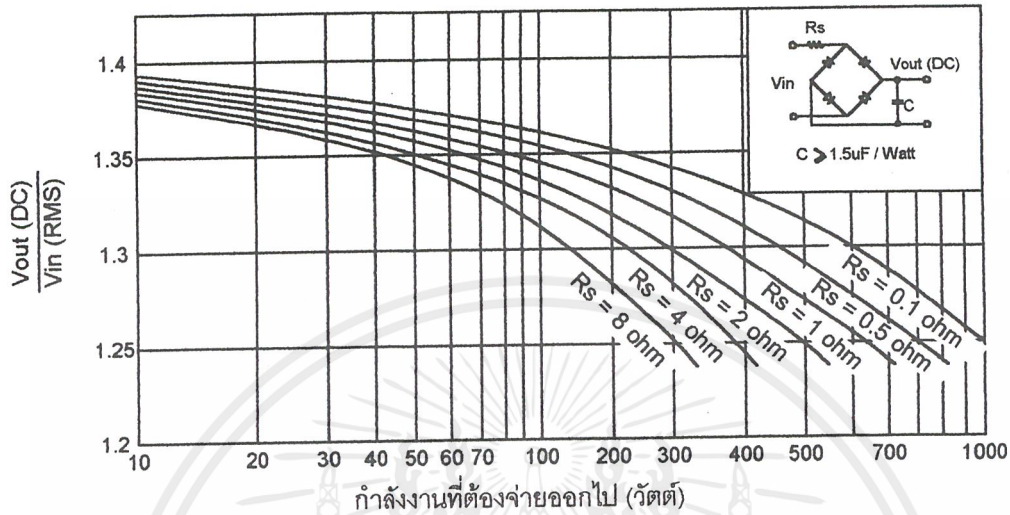
#### 3.1 เรกติไฟเออร์ (Rectifier)

เรกติไฟเออร์นับเป็นส่วนสำคัญที่สุดของวงจรในส่วนอินพุตของบัลลาสต์อิเล็กทรอนิกส์ และเป็นตัวกำหนดค่าอัตราทนกระแสของฟิวส์และ RFI ฟิลเตอร์ เรกติไฟเออร์จะประกอบด้วย อุปกรณ์สำคัญ 3 ตัวคือ ตัวต้านทานจำกัดกระแส  $R_s$  ตัวเก็บประจุฟิลเตอร์ และไดโอดเรกติไฟเออร์ มีหน้าที่หลักคือ เปลี่ยนแรงดัน ไฟสลับให้เป็น ไฟตรงเพื่อเป็นแรงดันอินพุตให้กับวงจรต่อไป

##### 3.1.1.ตัวต้านทานจำกัดกระแส $R_s$

ตัวต้านทานจำกัดกระแส  $R_s$  จะเป็นตัวจำกัดกระแสกระชากที่เกิดขึ้นในวงจร โดยเฉพาะอย่างยิ่งเวลาเริ่มเปิดเครื่องให้ทำงาน ตัวเก็บประจุขณะชาร์จจะเหมือนมีการลัดวงจรขึ้น ถ้าค่าตัวเก็บประจุสูงก็จะทำให้เกิดกระแสกระชากสูงด้วย การกำหนดค่าความต้านทานจำกัดกระแส  $R_s$  จะทำให้การไหลของกระแสขณะเปิดเครื่องเป็นไปอย่างช้าๆ และลดกระแสกระชาก

การต่อตัวต้านทานจำกัดกระแส  $R_s$  จะทำให้ประสิทธิภาพของบัลลาสต์อิเล็กทรอนิกส์ลดลงเนื่องจากการเกิดการสูญเสียในตัวต้านทาน ค่าของแรงดันที่ได้ของวงจรจะขึ้นกับค่าของ  $R_s$  และกำลังงานที่ต้องจ่ายออกไป



รูปที่ 3.2 ค่าแรงดันไฟตรงเฉลี่ยเอาท์พุทของวงจรเรกติไฟเออร์ที่ได้ที่โหลดและตัวต้านทานจำกัดกระแส  $R_s$  ค่าต่างๆ

### 3.1.2. ตัวเก็บประจุฟิลเตอร์ C

ตัวเก็บประจุฟิลเตอร์ C จะเป็นตัวกรองแรงดันไฟตรงที่ได้จากการเรียงกระแสของไดโอด  $D_1 - D_4$  ให้มีค่าเรียบมากขึ้น และช่วยให้กระแสที่ได้มีค่าเพียงพอตามที่วงจรต้องการ การพิจารณาเลือกตัวเก็บประจุฟิลเตอร์ C

1. อัตราทนกระแสระลอกของตัวเก็บประจุ (RMS Ripple Current Rating)
2. ค่าแรงดันกระเพื่อมที่เอาท์พุทของวงจรเรกติไฟเออร์ (Ripple Voltage)
3. ช่วงเวลาโฮลด์อัพที่ต้องการ (Holdup Time)
4. อัตราทนแรงดันของตัวเก็บประจุ

1. อัตราทดกระแสระลอก

อัตราทดกระแสระลอกในตัวเก็บประจุฟิลเตอร์เกิดจากการชาร์จและคายประจุของตัวเก็บประจุเองค่ากระแสระลอกของตัวเก็บประจุฟิลเตอร์อาจหาได้จากค่ากระแสแปรประสิทธิผล  $I_e$  ของวงจรเรกติไฟเออร์ และกราฟในรูปที่ 3.3

$$I_e = \frac{P_{in}}{V_{in\max}} \quad \dots\dots(3.1)$$

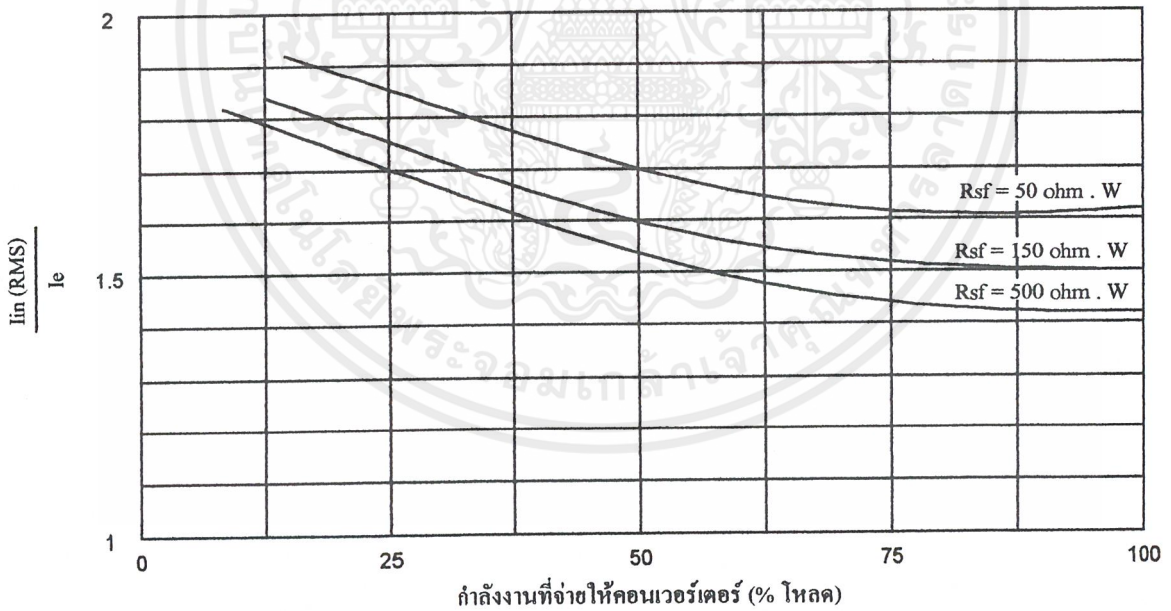
เมื่อ  $I_e$  คือ ค่ากระแสแปรประสิทธิผลที่อินพุต เป็นอาร์เอ็มเอสแอมป์

$P_{IN}$  คือ กำลังที่จ่ายเข้าทางด้านอินพุต เป็นวัตต์

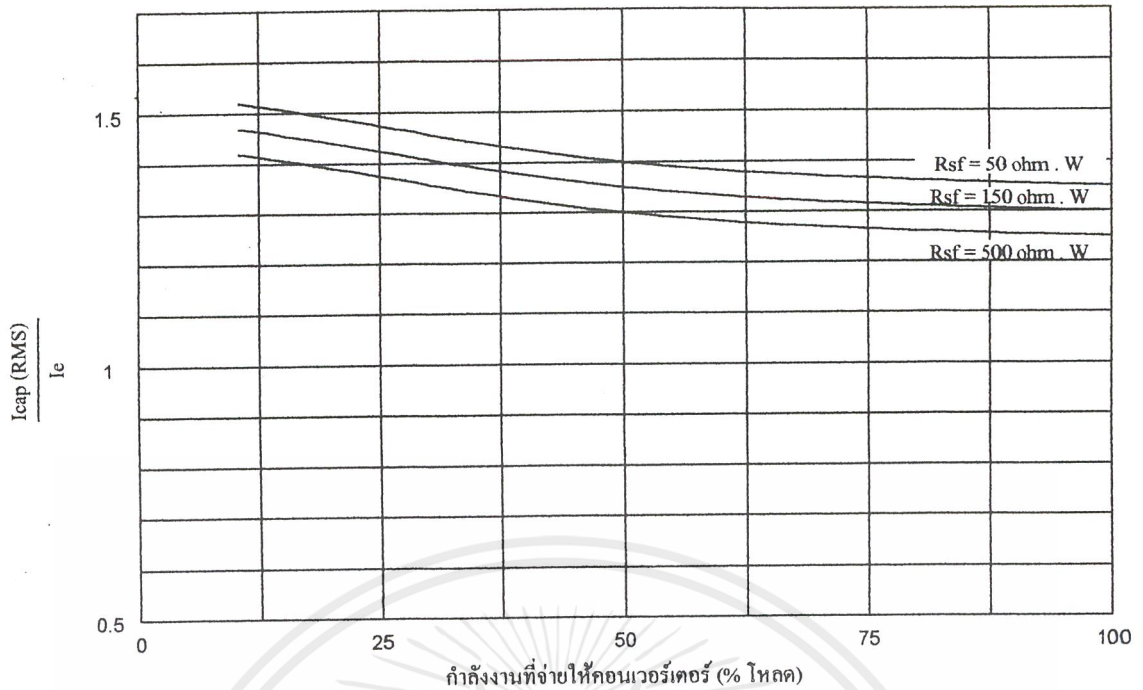
$V_{INrms}$  คือ ค่าแรงดันอาร์เอ็มเอสที่อินพุต เป็นอาร์เอ็มเอสโวลท์

ส่วน  $R_{sf}$  คือค่าแฟกเตอร์ของตัวต้านทาน  $R_s$  หาได้จาก

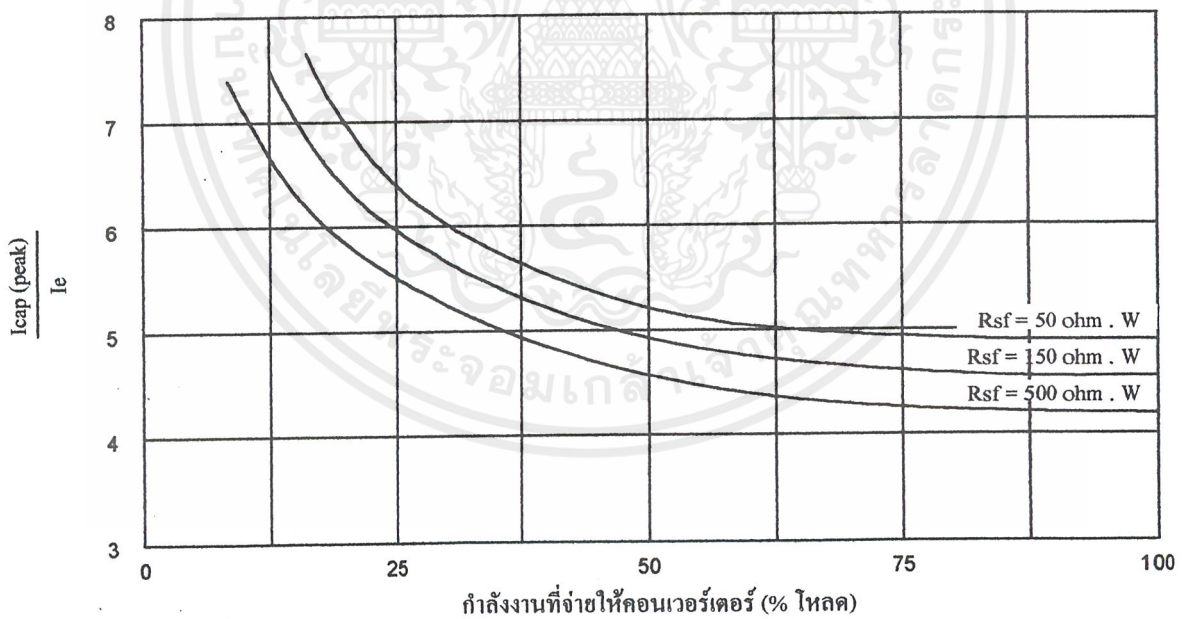
$$R_{sf} = R_s P_{IN} \quad \dots\dots(3.2)$$



รูปที่ 3.3 ก แสดงค่ากระแส RMS ที่ผ่านเรกติไฟเออร์เมื่อเปรียบเทียบกับค่าประสิทธิผล  $I_e$  ต่อกำลังงานที่เรกติไฟเออร์ต้องจ่ายออกไปให้อินเวอร์เตอร์ (คิดเป็นเปอร์เซ็นต์สูงสุด) ที่ค่า  $R_{sf}$  ต่าง ๆ กัน



รูปที่ 3.3 ข ค่ากระแสระลอก (RMS) ที่ตัวเก็บประจุฟิลเตอร์เมื่อเปรียบเทียบกับค่าประสิทธิภาพ  $I_e$  ต่อกำลังงานที่เรกติไฟเออร์ต้องจ่ายออกไปให้อินเวอร์เตอร์ (คิดเป็นเปอร์เซ็นต์สูงสุด) ที่ค่า  $R_{sf}$  ต่าง ๆ กัน



รูปที่ 3.3 ค ค่ากระแสสูงสุดที่ผ่านตัวเก็บประจุฟิลเตอร์เมื่อเปรียบเทียบกับค่าประสิทธิภาพ  $I_e$  ต่อกำลังงานที่เรกติไฟเออร์ต้องจ่ายออกไปให้อินเวอร์เตอร์ (คิดเป็นเปอร์เซ็นต์สูงสุด) ที่ค่า  $R_{sf}$  ต่าง ๆ กัน

กระแสแรงดันในตัวเก็บประจุจะทำให้ตัวเก็บประจุร้อนและลดอายุการใช้งานของตัวเก็บประจุลงได้ ตัวอย่างค่าอัตราทนกระแสแรงดันของตัวเก็บประจุได้ในตารางที่ 3.1

VDC UF	63	80	100	160	200	250	315	350	400	450
0.1										
0.22										
0.33										
0.47			9							
0.68			13							
1.0			17		20		23	24	26	29
1.5			22							
2.2			27		30	32	38	38	43	48
3.3			44	45	47	47	53	57	65	71
4.7	35		50	55	55	55	61	71	80	88
6.8	48		75	72	70	78	77	88	105	121
10	60		100	89	90	100	107	124	153	175
15	90	120	135	132	125	145	143	161	196	220
22	120		170	175	175	180	200	225	262	288
33	155	160	210	220	220	235	265	296	315	
47	210	220	320	295	300	330	343	357		
68	275	290	400	400	380	440				
100	340	360	470	505	520	550				

ตาราง 3.1 ตัวอย่างอัตราทนกระแสแรงดันสูงสุดของตัวเก็บประจุชนิดอิเล็กโทรไลต์ที่ค่าความจุและอัตราทนแรงดันขนาดต่างๆ

## 2. แรงดันกระแสที่เอาต์พุตของเรกติไฟเออร์

การกระแสที่เอาต์พุตของเรกติไฟเออร์จะมีผลโดยตรงต่อการทำงานของบัลลาสต์อิเล็กโทรนิคส์ ในส่วนของอินเวอร์เตอร์จะลดความสามารถในการคงค่าแรงดันที่เอาต์พุตของอินเวอร์เตอร์ลงไป และทำให้ช่วงแรงดันไฟสลับแคบลง ปกติการออกแบบบัลลาสต์

อิเล็กทรอนิกส์จะยอมให้เรกติไฟเออร์มีค่าแรงดันกระเพื่อมได้ไม่เกิน 10% ของค่าแรงดันเอาต์พุตที่ได้จากรูปที่ 3.2

ค่าของตัวเก็บประจุฟิลเตอร์ C คำนวณได้โดย

$$C = \frac{I_o \Delta t_{ms}}{\Delta V_{ripple}} \quad \dots\dots(3.3)$$

- เมื่อ  $I_o$  คือ ค่ากระแสประสิทธิผลของวงจรเรกติไฟเออร์
- $\Delta t$  คือ ช่วงเวลาที่ C คายประจุ
- $\Delta V_{ripple}$  คือ ค่ายอดถึงยอดของแรงดันกระเพื่อมที่เอาต์พุต

### 3. ช่วงเวลาโฮลด์อัฟ

ช่วงเวลาโฮลด์อัฟ เป็นช่วงเวลาที่บัลลาสต์อิเล็กทรอนิกส์ยังสามารถคงค่าแรงดันที่เอาต์พุตได้ตามปกติที่โหลดสูงสุดเมื่อมีการหยุดจ่ายแรงดันไฟสลับต่ำกว่ากำหนด และเพื่อให้บัลลาสต์อิเล็กทรอนิกส์มีค่าเวลาโฮลด์อัฟ ตัวเก็บประจุฟิลเตอร์จะต้องมีค่ามากพอเพื่อจ่ายกระแสให้กับอินเวอร์เตอร์เมื่อมีการหยุดจ่ายแรงดันไฟสลับ ค่าของ C เพื่อให้เกิดช่วงเวลาโฮลด์อัฟหาได้จาก

$$C = \frac{2P_o t_H}{\eta(V_s^2 - V_f^2)} \quad \dots\dots(3.4)$$

- เมื่อ  $P_o$  คือ ค่ากำลังงานสูงสุดที่เอาต์พุตของอินเวอร์เตอร์
- $\eta$  คือ ค่าประสิทธิภาพของอินเวอร์เตอร์
- $V_s$  คือ ค่าแรงดันที่ตัวเก็บประจุฟิลเตอร์ก่อนหยุดจ่ายแรงดันไฟสลับ
- $V_f$  คือ ค่าแรงดันที่ตัวเก็บประจุฟิลเตอร์หลังหยุดจ่ายแรงดันไฟสลับ
- $t_H$  คือ ค่าช่วงเวลา โฮลด์อัฟที่ต้องการ (โดยทั่วไปจะมีค่าประมาณ  $20 \times 10^{-3}$  วินาที ถึง  $50 \times 10^{-3}$  วินาที)

### 4. อัตราทนแรงดัน

ตัวเก็บประจุฟิลเตอร์ต้องทนแรงดันได้อย่างต่ำที่ค่าแรงดันไฟตรงเอาต์พุตของเรกติไฟเออร์ แต่เพื่อความปลอดภัยควรเผื่อค่าอัตราทนแรงดันของตัวเก็บประจุฟิลเตอร์ไว้อย่างน้อยที่ค่าแรงดันไฟตรงสูงสุดที่เป็นไปได้ของอินเวอร์เตอร์ เช่น บัลลาสต์อิเล็กทรอนิกส์ที่มีแรงดันไฟสลับอินพุต 187-264 โวลท์ ตัวเก็บประจุฟิลเตอร์ควรมีอัตราทนแรงดันอย่างต่ำที่ 385 โวลท์ หรือ 400 โวลท์ เป็นต้น

### 3.1.3. ไดโอดเรกติไฟเออร์

การเลือกใช้ไดโอดเรกติไฟเออร์มีข้อควรพิจารณาดังต่อไปนี้

#### 1. ค่ากระแสกระชาก $I_{SFM}$ (Maximum Surge Current)

กระแสกระชากสูงสุดที่ผ่านไดโอดจะเกิดขึ้นขณะเปิดเครื่องเมื่อตัวเก็บประจุฟิลเตอร์ยังไม่มีประจุสะสมอยู่ ค่ากระแสกระชากสูงสุดคำนวณได้จาก

$$I_{SFM} = \frac{V_{peak}}{R_s + ESR} \quad \dots\dots(3.5)$$

เมื่อ  $V_{peak}$  คือ แรงดันยอดสูงสุดของไฟสลับอินพุต

ESR คือ ค่าความต้านทานแฝงในตัวเก็บประจุค่าต่ำสุด

$R_s$  ค่าของตัวต้านทานจำกัดกระแส

โดยทั่วไปแล้วไดโอดเรกติไฟเออร์จะมีค่าอัตราทนกระแสกระชาก  $I_{FSM}$  ประมาณ 20-30 เท่าของอัตราทนกระแสเฉลี่ยขณะถูกไบอัสตรงของมัน ไดโอดเรกติไฟเออร์ที่ใช้จะต้องมีอัตราทนกระแสกระชากมากกว่าที่คำนวณได้จากสมการที่ 3.5

#### 2. ค่ากระแสสูงสุดเมื่อถูกไบอัสตรง $I_{FRM}$ (Maximum Forward Current)

ค่ากระแสสูงสุดที่เกิดขึ้นในวงจรเรกติไฟ์ จะเกิดขึ้นในจังหวะที่ตัวเก็บประจุฟิลเตอร์มีการเก็บประจุอีกครั้งหลังจากคายประจุออกไปให้ไหลค ค่ากระแสสูงสุดเมื่อถูกไบอัสตรงของไดโอดเรกติไฟ์  $I_{FRM}$  จึงหาได้จากค่ากระแสสูงสุดของตัวเก็บประจุฟิลเตอร์จากกราฟในรูปที่ 3.3(ค) นั้นเอง

#### 3. ค่ากระแสเฉลี่ยเมื่อถูกไบอัสตรง $I_{FM}$ (Maximum Average Forward Current)

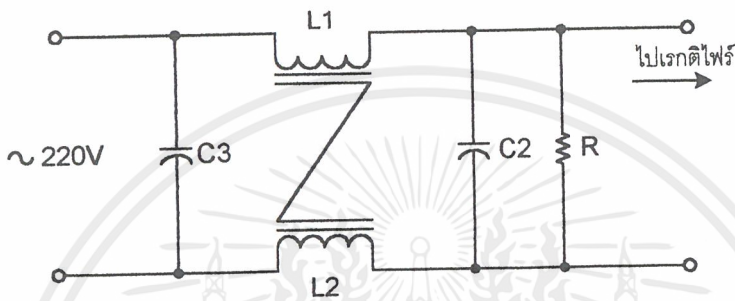
เป็นค่ากระแสเฉลี่ยสูงสุดที่ไดโอดเรกติไฟ์จะได้รับขณะทำงาน การพิจารณาค่า  $I_{FM}$  อาจทำได้โดยใช้กราฟในรูปที่ 3.3(ก) ในการปฏิบัติควรเผื่อค่ากระแสเฉลี่ยสูงสุด  $I_{FM}$  ของไดโอดไว้ที่ประมาณ 1.5-2 เท่า จากที่คำนวณได้ เพื่อเพิ่มความปลอดภัยและเพิ่มอายุการใช้งาน

#### 4. อัตราทนแรงดันไบอัสกลับสูงสุด $V_{RRM}$

ในบัลลาสต์อิเล็กทรอนิกส์ ปกติเรกติไฟเออร์ต้องต่อเข้ากับแรงดันไฟสลับ 220 โวลท์ ดังนั้นอัตราทนแรงดันไบอัสกลับสูงสุดของไดโอด  $V_{RRM}$  จึงต้องมีค่าไม่ต่ำกว่าค่ายอดสูงสุดของแรงดันไฟสลับ อย่างไรก็ตาม ควรพิจารณาเผื่อค่าแรงดันไบอัสกลับ ให้มากกว่าแรงดันยอดสูงสุดของแรงดันไฟสลับเอาไว้ด้วย สำหรับกรณีที่อาจเกิดทรานเซียนต์ขึ้นได้ในสายไฟสลับ

### 3.2 RFI อินพุตฟิลเตอร์

การทำงานของบัสลาสต์อิเล็คทรอนิกส์เป็นการทำงานในลักษณะ การการเปลี่ยนแปลงของกระแสอย่างฉับพลันที่ค่ากระแสสูงๆ บัสลาสต์อิเล็คทรอนิกส์จึงเป็นแหล่งกำเนิดสัญญาณรบกวน RFI ได้เป็นอย่างดี ดังนั้นบัสลาสต์อิเล็คทรอนิกส์จำเป็นต้องมีวงจรฟิลเตอร์เพื่อลดสัญญาณรบกวนที่จะออกไปภายนอก ให้อยู่ในระดับที่ยอมรับได้ วิธีการลดสัญญาณรบกวน RFI ที่ใช้กันโดยทั่วไปในบัสลาสต์อิเล็คทรอนิกส์ก็คือ การต่อ LC ฟิลเตอร์คั่นที่อินพุตกับระบบแรงดันไฟสลับเพื่อลดสัญญาณ RFI การต่อวงจร LC ฟิลเตอร์อาจทำได้ดังรูปที่ 3.4



รูปที่ 3.4 การต่อวงจร LC ฟิลเตอร์เพื่อลดสัญญาณรบกวน RFI

วงจร RFI ฟิลเตอร์ในรูปที่ 2.4 ควรกำหนดค่าของตัวเก็บประจุและค่าของตัวเหนี่ยวนำให้มีค่าดังต่อไปนี้

$$C_1, C_2 = 0.1 \text{ ถึง } 2 \mu\text{F}$$

$$L_1, L_2 = 1.8\text{mH ที่ } 25\text{mA ถึง } 47\text{mA ที่ } 0.3\text{A}$$

การกำหนดค่าอุปกรณ์ต้องให้แน่ใจว่า ความถี่เรโซแนนซ์ต้องมีค่าน้อยกว่าค่าความถี่การทำงานของบัสลาสต์อิเล็คทรอนิกส์

ประสิทธิภาพในการลดสัญญาณรบกวนของวงจร LC ฟิลเตอร์จะขึ้นอยู่กับค่าความแตกต่างของอิมพีแดนซ์ระหว่างอินพุตของฟิลเตอร์และแหล่งจ่ายไฟสลับ และค่าความแตกต่างของอิมพีแดนซ์ระหว่างเอาต์พุตของฟิลเตอร์กับอินพุตของอินเวอร์เตอร์ โดยค่าความแตกต่างของอิมพีแดนซ์มีค่ามาก อัตราลดทอนสัญญาณรบกวน RFI จะเป็นไปได้มากด้วย

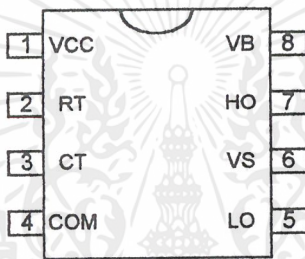
ปกติอินเวอร์เตอร์จะมีอิมพีแดนซ์ต่ำ ส่วนแหล่งจ่ายแรงดันไฟสลับมักมีค่าอิมพีแดนซ์สูง ดังนั้นค่าอิมพีแดนซ์ของวงจร RFI ฟิลเตอร์ที่อินพุตต้องมีอิมพีแดนซ์ต่ำๆ และเอาต์พุตของวงจร RFI ฟิลเตอร์ต้องมีอิมพีแดนซ์สูงๆ การต่อ L1 และ L2 จะทำให้อิมพีแดนซ์ที่เอาต์พุตของวงจร RFI ฟิลเตอร์ C ที่อยู่ในวงจรจะมีผลในการลดทอนเรโซแนนซ์ โดย C1 จะลดทอนเรโซแนนซ์ที่เกิดในสายไฟ



สลับไม่ให้อินเวอร์เตอร์ ส่วน C2 จะลดทรานเซียนต์ที่เกิดจากอินเวอร์เตอร์ไม่ให้อินเวอร์เตอร์ยังสายไฟสลับได้

### 3.3 วงจรกำเนิดสัญญาณพิก้า

ในบัลลาสต์อิเล็กทรอนิกส์มีความจำเป็นต้องใช้วงจรอินเวอร์เตอร์เพื่อแปลงไฟตรงให้เป็นความถี่สูงประมาณ 60KHz ที่มีแรงดันสูง เพื่อที่จะนำไปใช้ในการป้อนให้กับหลอดฟลูออเรสเซนต์ จึงต้องการวงจรออสซิลเลตที่มีความเที่ยงตรงและสามารถกำหนดค่าความถี่ออสซิลเลตได้ , ค่าระดับแรงดันออฟเซตของไอซีที่สูงและความสามารถในการขับอุปกรณ์เพาเวอร์สวิตซ์ซึ่งภายนอกได้อย่างมีประสิทธิภาพ , อัตราการสูญเสียไอซีที่ต่ำ และค่าเวลาหน่วงของสัญญาณเอาต์พุตทั้งด้านบวกและด้านลบที่เป็นพัลส์จะต้องน้อยมาก เราจึงได้นำเอาไอซีเบอร์ IR2155 เป็นไอซีกำเนิดสัญญาณพิก้า



รูปที่ 3.5 ลักษณะรูปร่างและการจัดขาของ IR2155

คุณสมบัติเด่นของ IR2155 ที่พอจะกล่าวถึงมีดังนี้

- ในเอาต์พุตแต่ละขา (ที่เอาต์พุตขา High และ Low) ถูกออกแบบมาให้สามารถทำงานได้ในลักษณะบัสต์แตรีปที่มีความกว้างในการทำงานทางด้านแรงดัน เต็มที่ถึง +600 โวลต์ โดยยอมให้มีระดับแรงดันทรานเซียนต์ด้านลบ (dv/dt) ที่อยู่ในย่านปลอดภัย
- จะทำการหยุดการทำงานหากแรงดันไฟเลี้ยงลดต่ำกว่าระดับที่สามารถทำงานได้
- สามารถเลือกค่าและกำหนดค่าความถี่ในการออสซิลเลตได้จากสมการ

$$f = \frac{1}{1.4 \times (R_T + 150\Omega) \times C_T} \quad \dots\dots(3.6)$$

- ค่าการหน่วงเวลาของสัญญาณทางเอาต์พุตทั้งด้าน High และ Low มีความสมดุลกัน
- ที่เอาต์พุตด้าน Low จะมีเฟสสัญญาณเดียวกันกับที่ตำแหน่งของ RT
- ค่าแรงดันออฟเซตสูงสุด 600 โวลต์
- ค่าคิวตี้ไซเกิล 50%

## สำนักหอสมุดกลาง พระจอมเกล้าลาดกระบัง วิทยาเขตระยอง

- ค่ากระแสเอาต์พุตทางด้านบวก 100 มิลลิแอมป์และด้านลบ 210 มิลลิแอมป์
- ค่าแรงดันขั้วเอาต์พุตสำหรับ ไบอัสเกตของเพาเวอร์มอสเฟตเท่ากับ 10-20 โวลต์

ลักษณะและหน้าที่ของขาใช้งานแต่ละขามีหน้าที่ดังต่อไปนี้

ขา VCC (ขา 1) เป็นขารับแรงดันไฟเลี้ยงวงจรภายในตัวไอซี และเป็นขารับแรงดันสำหรับขั้วออกทางเอาต์พุตด้านต่ำ(Low) และจะต้องมีแรงดันที่คงที่

ขา RT (ขา 2) เป็นขาอินพุตสำหรับตัวต้านทาน เพื่อกำหนดค่าเวลาในการออสซิลเลต ซึ่งมีเฟดสัญญาณที่เหมือนกันกับขา HO (ขา 7) เมื่อ ไอซีถูกจัดการทำงานในรูปแบบปกติ

ขา CT (ขา 3) เป็นขาอินพุตสำหรับต่อตัวเก็บประจุเพื่อกำหนดค่าเวลาในการออสซิลเลต

$$f = \frac{1}{1.4 \times (R_T + 150\Omega) \times C_T}$$

โดยที่ค่าความถี่ในการออสซิลเลตสามารถกำหนดค่าได้ตามการคำนวณในสมการ

โดยที่ค่า 150  $\Omega$  เป็นค่าอิมพีแดนซ์ประสิทธิภาพของ  $R_T$  ในส่วนของเอาต์พุต

ขา COM (ขา 4) เป็นขารับแรงดันย้อนกลับด้านต่ำของชุดสัญญาณเอาต์พุต(LO)

ขา LO (ขา 5) เป็นขาเอาต์พุตสำหรับจ่ายสัญญาณพัลส์ออกไปกระตุ้นหรือขั้วเกตของเพาเวอร์มอสเฟตและ IGBT

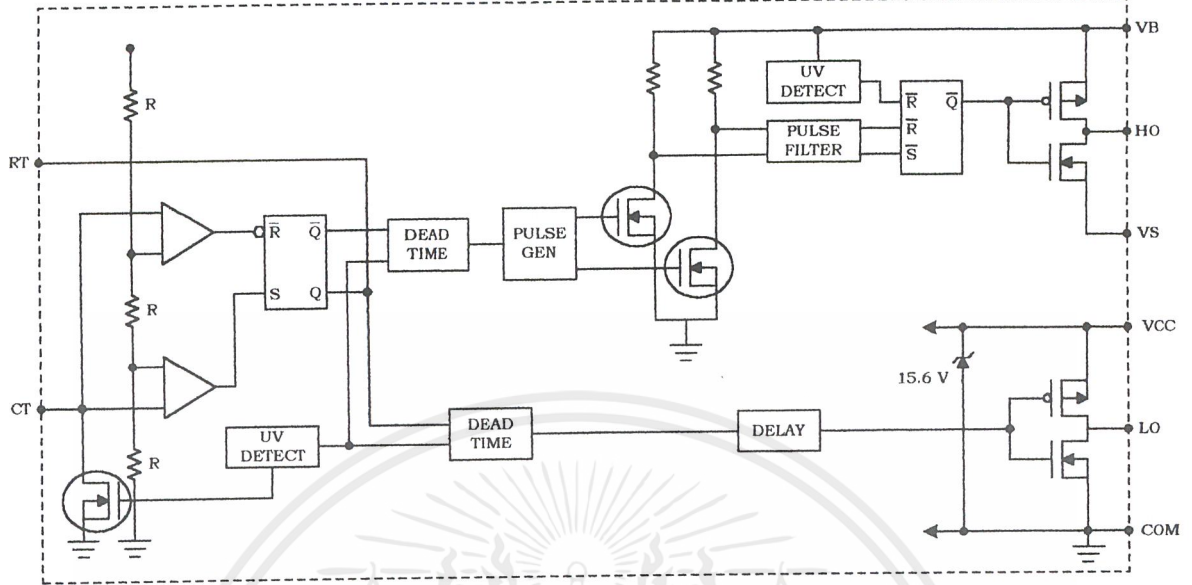
ขา VS (ขา 6) เป็นขารับแรงดันย้อนกลับด้านสูงของชุดสัญญาณเอาต์พุตด้านสูง (HO)

ขา HO (ขา 7) เป็นขาเอาต์พุตสำหรับจ่ายสัญญาณพัลส์ออกไปกระตุ้นหรือขั้วเกตของเพาเวอร์มอสเฟตและ IGBT

ขา VB (ขา 8) เป็นขารับแรงดันสำหรับขั้วออกเอาต์พุตด้านสูง ซึ่งสามารถรองรับแรงดันได้สูง แต่ต้องผ่านตัวต้านทานลดแรงดันร่วมกับไดโอด

## การทำงานของ IR2155

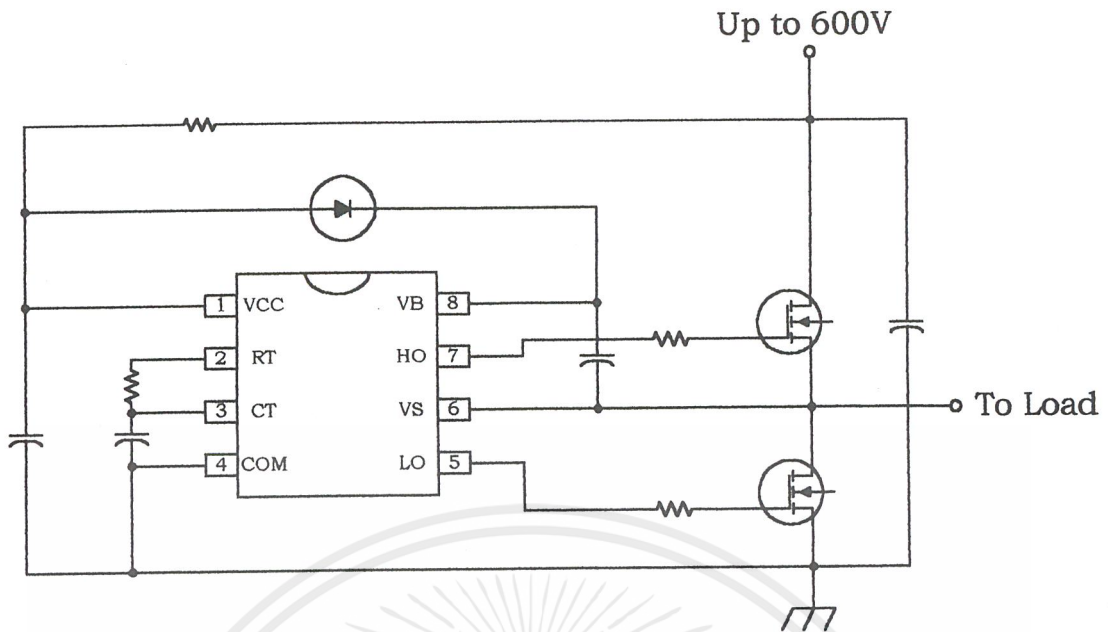
Functional Block Diagram



รูปที่ 3.6 บล็อกไดอะแกรมภายในของ IR2155

ในส่วนแรกคือส่วนที่ทำหน้าที่กำเนิดความถี่ออสซิลเลเตอร์ มีลักษณะและการทำงานคล้ายกับไอซี 555 ในส่วนของวงจรจับทางเอาต์พุตจะให้พัลส์ที่มีค่ากระแสสูงพอที่จะขับมอเตอร์หรือ IGBT ได้อย่างสบาย โดยยังมีวงจรบัฟเฟอร์เป็นตัวผ่านพัลส์ที่จะขับออกจากเอาต์พุตก่อน มีส่วนการทำงานภายในที่กำหนดจุดเริ่มต้นและจุดสิ้นสุดของคาบเวลาพัลส์เอาต์พุตได้อย่างเที่ยงตรงและแน่นอนยิ่งขึ้น เพื่อเป็นการป้องกันไม่ให้วงจรขับเพาเวอร์มอเตอร์ทางเอาต์พุตทำงานพร้อมกันในช่วงจังหวะจุดสิ้นสุดกับจุดเริ่มต้นระหว่างพัลส์ขั้วด้าน High กับ Low ซึ่งอาจมีช่วงคาบเวลาที่คาบเกี่ยวกันอยู่ หรือหากมีก็ให้น้อยที่สุด ซึ่งการหน่วงเวลาของพัลส์เอาต์พุตของทั้งสองเอาต์พุตจะสมดุลกัน โดยกำหนดค่าควิต์ไทม์ที่ 50%

เนื่องจากการประยุกต์ใช้งานของ IR2155 จะถูกใช้งานในระบบแหล่งจ่ายที่เป็นไลน์หรือมีแรงดันไฟในระบบที่มีค่าสูง ดังนั้นไฟเลี้ยงวงจรภายในตัวไอซีจึงจำเป็นต้องอาศัยซีเนอร์ไดโอดเพื่อเรกูเลตแรงดันให้คงที่และลดแรงดันให้ต่ำลง ซึ่งไดโอดเคลมปิ้งนี้ก็ถูกต่อไว้เรียบร้อยแล้วภายในตัวไอซีซึ่งจะตกคร่อมอยู่ระหว่างขา Vcc กับ COM ภายใน ค่าแรงดันเบรคดาวน์ของซีเนอร์ไดโอดจะเท่ากับ 15.6 โวลท์ ในกรณีที่ใช้แรงดันไฟเลี้ยงไอซีจากไลน์ไฟเมนของระบบจะต้องมีตัวต้านทานค่าสูงๆต่ออนุกรมมาจากชุดเรกติไฟเออร์ โดยมีตัวเก็บประจุทำหน้าที่กรองแรงดันและลดแรงดันริปเปิล ก่อนที่แรงดันจะถูกจ่ายเข้าขา Vcc เพื่อใช้เลี้ยงตัว ไอซีเทียบกับขา COM ลักษณะการต่อของอุปกรณ์ดังกล่าวเป็นดังรูปที่ 3.7 ซึ่งเป็นรูปการต่อวงจรเบื้องต้นและเป็นพื้นฐานที่จะนำไปใช้งานจริงต่อไป



รูปที่ 3.7 พื้นฐานวงจรประยุกต์ใช้งานเบื้องต้น

### 3.4 วงจรสแน็บเบอร์ (Snubber)

เมื่อมอสเฟตถูกประกอบลงในวงจรเรียบร้อยแล้ว สิ่งที่ต้องระวังก็คือ แรงดันสไปค์ (Spike) ที่จะเข้ามาตกคร่อมเกตและซอร์ส ถ้าสูงเกินไปจะทำให้ผนังที่กั้นระหว่างเกตและซอร์ส ทะลุและเสียหายได้ แต่นอกจากมอสเฟตจะเสียหายได้โดยตรงจากแรงดันทางเกต-ซอร์สแล้ว การเปลี่ยนแปลงแรงดันตกคร่อมทรานซิสเตอร์อย่างกะทันหัน ก็ยังเป็นสาเหตุให้เกิดแรงดันสไปค์ขึ้นที่เกต-ซอร์สด้วย และวงจรสแน็บเบอร์เป็นวงจรที่เป็นส่วนสำคัญอย่างหนึ่งในการสวิทชิงความถี่สูง เนื่องจากการสวิทชิงที่ความถี่สูงในช่วงแรงดันสูงจะเกิด สไปค์ โวลต์เตจ (Spike Voltage) หรือ กระแสสไปค์ (Spike Current) ทำให้อัตราการเพิ่มแรงดันต่อเวลา ( $dv/dt$ ) และอัตราการเพิ่มของ กระแสต่อเวลา ( $di/dt$ ) เพิ่มขึ้นสูงอย่างมาก ซึ่งอาจจะก่อให้เกิดความเสียหายให้แก่มอสเฟตในวงจร ได้ จึงได้มีการนำเอาวงจรสแน็บเบอร์มาใช้เพื่อที่จะลดค่าของ ( $dv/dt$ ) และ ( $di/dt$ ) ให้มีค่าน้อยลงพอที่ วงจรจะทำงานได้โดยมอสเฟตไม่เกิดความเสียหาย ซึ่งสามารถคำนวณได้จากสูตร

$$C_1 = \frac{I_{p(PK)} \times t_{OFF}}{2V_{in}} \quad \dots\dots(3.7)$$

$$R_1 = \frac{t_{ON(min)}}{2.3C_1} \quad \dots\dots(3.8)$$

$$P_D = \frac{C_1(2V_{in})^2}{2T} \quad \dots\dots(3.9)$$

- เมื่อ  $I_{p(PK)}$  คือ ค่ากระแสสูงสุดขณะเริ่มหยุดนำกระแส  
 $V_{in}$  คือ ค่าแรงดันอินพุตของอินเวอร์เตอร์  
 $T_{ON}$  คือ ช่วงเวลานำกระแสของมอสเฟต  
 $T_{OFF}$  คือ ช่วงเวลาหยุดนำกระแสของมอสเฟต  
 $P_D$  คือ กำลังสูญเสียในตัวต้านทาน  
 $T$  คือ คาบเวลาการทำงานของมอสเฟต

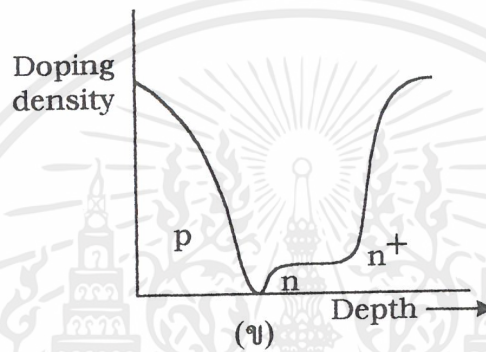
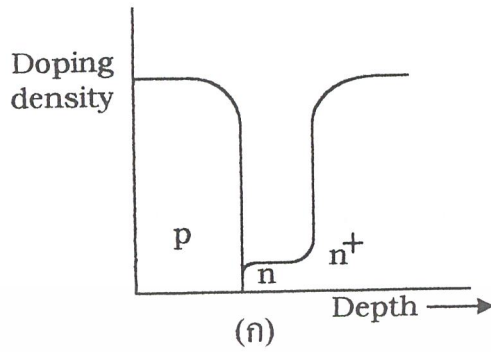


รูปที่ 3.8 วงจรสับเบรที่ประกอบด้วยตัวต้านทานและตัวเก็บประจุ

### 3.5 ฟาสต์-รีกัฟเวอร์รีโอด

ไดโอดเป็นอุปกรณ์ตัวหนึ่งที่มีจำกัดประสิทธิภาพของบัลลาสต์อิเล็กทรอนิกส์ ข้อแรกก็คือความเร็ว ไดโอดที่ใช้งานประเภทนี้ต้องมีความเร็วสูง วงจรบัลลาสต์อิเล็กทรอนิกส์นี้ทำงานที่ความถี่สูงประมาณ 25-60 KHz ข้อที่สองก็คือ แรงดันตกคร่อมไดโอดขณะนำกระแสจะต้องต่ำ เพราะกระแสไฟฟ้าที่ไหลผ่านไดโอดขณะนำกระแสมีค่าสูงมาก ถ้าแรงดันตกคร่อมไดโอดมีค่าสูงจะทำให้มีการสูญเสียสูงตามไปด้วย ดังนั้นเพื่อประสิทธิภาพที่ดีของภาคสวิทชิง การศึกษาในเรื่องของไดโอดจึงเป็นสิ่งสำคัญ ในรูปที่ 3.9 เป็นกราฟเปรียบเทียบการโต้ปสารกึ่งตัวนำระหว่าง ฟาสต์-รีกัฟเวอร์รีโอดชนิดเอปิตาเซียล และ ไดโอดชนิด ดับเบิ้ล-ดิฟฟิวส์ ไดโอดที่ใช้เทคโนโลยีแบบเอปิตาเซียลในการสร้าง ซึ่งมีข้อดีกว่าวิธีการสร้างไดโอด ด้วยกรรมวิธี ดับเบิ้ล-ดิฟฟิวส์ (Double-Diffused) โดยเทคโนโลยีแบบเอปิตาเซียลจะควบคุมวัสดุที่ใช้้อย่างละเอียด โดยเฉพาะตรงรอยต่อ

ของสาร ความลึกและความหนาของสารชั้นรองจะถูกควบคุมเพื่อให้ได้ไดโอดที่มีประสิทธิภาพ และมีความเร็วสูงด้วย



รูป 3.9 การเปรียบเทียบการได้ปสารกึ่งตัวนำระหว่าง

ก. ฟอสต์-รีคัฟเวอร์รีไดโอดชนิด เอปิตาเซียล

ข. ไดโอดชนิดดับเบิล-คิฟิวส์

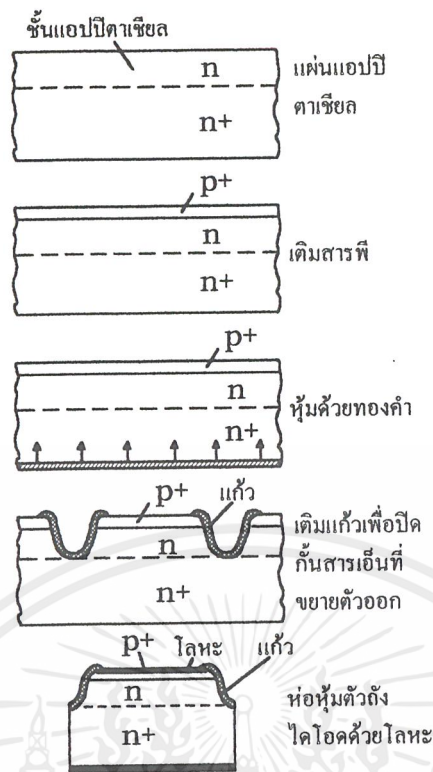
จากรูปที่ 3.10 เป็นขั้นตอนการผลิตฟอสต์-รีคัฟเวอร์รีไดโอดชนิดเอปิตาเซียล ที่รอยต่อของไดโอดจะเติมแก้วเพื่อปิดสารเอ็นที่ซึมขยายออก แก้วที่เติมลงไปนี้มีข้อดีคือ

ประการแรก ขอบรอยต่อจะถูกป้องกัน ไม่ให้มีผลกระทบจากรอยต่อที่ติดกัน

ประการที่สอง สามารถที่จะนำอุปกรณ์นี้ไปทดสอบได้โดยไม่ต้องไปห่อหุ้มก่อน

ประการสุดท้ายก็คือจากการทดสอบเป็นเวลานานพบว่าอุปกรณ์ที่เติมแก้วลงไปให้ผลคง

ที่มาก



รูปที่ 3.10 ขั้นตอนการสร้างฟอสต์-รีคิฟเวอร์รีไดโอดชนิดเอปปีคาเซิล

ฟอสต์-รีคิฟเวอร์รีไดโอดชนิดเอปปีคาเซิล ยังมีลักษณะเด่นคือ โลหะที่ห่อหุ้มตัวถังซึ่งต่อกับสารตัวนำภายนอก จะไม่ห่อหุ้มสารซิลิกอนโดยตรง แต่จะมีทองคำห่อหุ้มผสมกับซิลิกอนชั้นหนึ่งก่อน ข้อดีของวิธีนี้คือ ทำให้ความต้านทานระหว่างโลหะตัวนำกับซิลิกอนลดลง

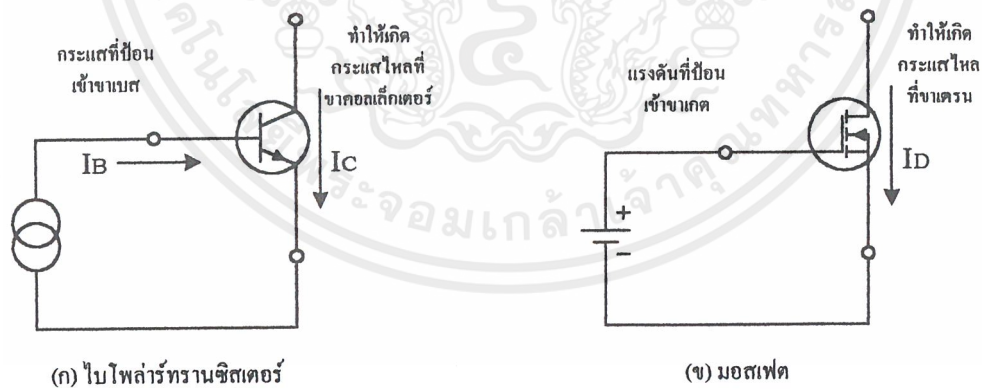
ความต้านทานนี้จะเป็นตัวกำเนิดความร้อน (Thermal Resistance) แต่เนื่องจากทองคำที่ห่อหุ้มซิลิกอนมีสมรรถภาพการนำความร้อนดีกว่าการใช้ตัวนำดีบุกหลอมที่ใช้กับไดโอดทั่วไป เมื่อผลจากอุณหภูมิลดลงจะทำให้การทำงานของอุปกรณ์มีประสิทธิภาพและอายุการใช้งานสูงขึ้น

	11DF1 11DF2	11DF3 11DF4	31DF1 31DF2	Units
$I_o$	1.0		3.0	A
$I_{FSM}$ @50Hz @60Hz	30 31.4		60 62.8	A
$I^2 t$ @50Hz @60Hz	4.5 4.1		18 16.4	A <sup>2</sup> S
trr Range	35	30	35	nS
Tj Range	-40~+150		-40~+150	°C
VRRM Range	100 & 200	300 & 400	100 & 200 300 & 400	V

ตาราง 3.2 คุณสมบัติทางไฟฟ้าของฟอสต์-รีคัพเวอร์รี ไดโอด

### 3.6 วงจรขับด้วยมอสเฟต(Mosfet)

มอสเฟตเป็นอุปกรณ์อิเล็กทรอนิกส์ที่มีการไบอัสและขับแตกต่างไปจากไบโพลาร์ทรานซิสเตอร์มากดังแสดงความแตกต่างนี้ดังรูปที่ 3.11

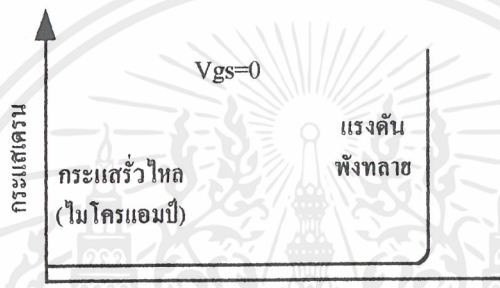


รูปที่ 3.11 การเปรียบเทียบวิธีการขับทรานซิสเตอร์และมอสเฟต



ถ้าต้องการให้กระแสไหลในชาคอลลีเกเตอร์ ต้องป้อนกระแสเข้าทางขาเบสของทรานซิสเตอร์ แต่ถ้าต้องการให้มีกระแสในชาครนต้องป้อนแรงดันเข้าทางขาเกต โดยที่ปริมาณของกระแสที่ไหลทางเอาท์พุทเป็นสัดส่วนกับกระแสและแรงดันทางอินพุทตามลำดับและที่สำคัญก็ยังขึ้นกับอัตราขยายของวงจรทั้งสองด้วย สำหรับมอสเฟต แรงดันที่ป้อนเข้าทางขาเกตและซอร์สจะมีกระแสไหลน้อยมาก เพราะมีฉนวนออกไซด์ที่หนามาก จึงมีกระแสไหลผ่านชั้นฉนวนเพียงไม่กี่นาโนแอมป์เท่านั้น แต่ทำให้ได้กระแสทรนหลายๆแอมแปร์ ดังนั้นอัตราขยายกระแสจึงสูงมากๆ

และในขณะที่ไม่มีแรงดันป้อนให้กับขั้วเกตและซอร์ส อิมพีแดนซ์ระหว่างซอร์สและเดรนก็สูงมาก จะมีกระแสรั่วไหลเป็นไมโครแอมป์เท่านั้น จากรูปที่ 2.12 เป็นกราฟแสดงแรงดันพ้งทลยของมอสเฟต



รูปที่ 3.12 คุณสมบัติการสัดกันกระแสของเดรนและซอร์ส

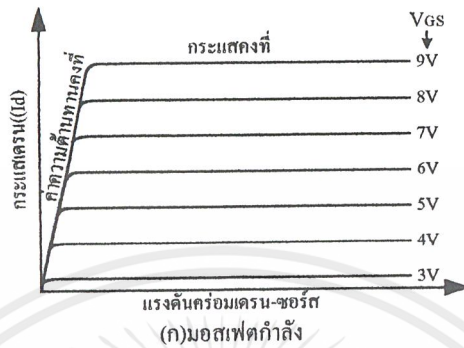
เมื่อป้อนแรงดันให้กับขาเกตและซอร์สจะเกิดสนามไฟฟ้าขึ้นในตัวมอสเฟต สนามไฟฟ้านี้จะไปเปลี่ยนค่าความต้านทานระหว่างเดรนและซอร์ส ดังนั้นกระแสที่ไหลผ่านเดรนและซอร์สจึงขึ้นอยู่กับค่าแรงดันที่ตกคร่อมเกตและซอร์ส

เนื่องจากมอสเฟตกินกระแสทางเกตต่ำมาก ดังนั้นอัตราขยายกระแสจึงสูงมากประมาณ  $10^9$  จึงทำให้พารามิเตอร์ตัวนี้ไม่มีความหมายสำหรับมอสเฟต แต่พารามิเตอร์ที่สำคัญเป็นค่าทรานสคอนดักแตนซ์ (Transconductance) คืออัตราการเปลี่ยนแปลงของกระแสเดรนเมื่อแรงดันเกตเปลี่ยนไป 1 โวลท์

ด้วยคุณสมบัติที่ดีในด้านอัตราการขยายนี้เอง ทำให้เราสามารถขับมอสเฟตกำลังได้โดยตรงจากไอซีชนิดทีทีแอลหรือซีมอส

### คุณสมบัติทางสแตติก

คุณสมบัติในการทำงานด้านแควน-ซอร์สของมอสเฟต แสดงดังรูปที่ 3.13 โดยรูปที่ 3.13 (ก) เป็นของมอสเฟต และรูปที่ 3.13(ข) เป็นคุณสมบัติทางคอลลีกเตอร์-อิมิตเตอร์ของทรานซิสเตอร์



รูปที่ 3.13 การเปรียบเทียบคุณสมบัติทางเอาท์พุทของมอสเฟตกำลังและไบโพลาร์ทรานซิสเตอร์

จากรูปที่ 3.13(ก) จะเห็นว่าคุณสมบัติทางเอาท์พุทของมอสเฟตเหมือนกับความต้านทานคงที่ เพราะเมื่อเราเพิ่มแรงดันคร่อมแควน-ซอร์สและซอร์ส กระแสขงก็จะเพิ่มขึ้นอย่างงนึ่งสัดส่วนกัน

ในการทำงานด้านสวิทชิงของมอสเฟต ค่าความต้านทานขณะนำกระแสหรือ  $R_{DS(ON)}$  ของมอสเฟตกำลังเป็นค่าที่สำคัญมาก เพราะจะเป็นตัวบอกถึงกำลังงานการสูญเสียที่ทนได้ในขณะจ่ายกระแสขง มอสเฟตที่มีความต้านทานขณะนำกระแสต่ำจะสามารถจ่ายกระแสได้สูง

### คุณลักษณะเฉพาะของมอสเฟต

	Data Sheet PD9.302				Data Sheet PD9.304				Data Sheet PD9.303				Data Sheet PD9.305			
	IRF 330	IRF 331	IRF 332	IRF 333	IRF 350	IRF 351	IRF 352	IRF 353	IRF 130	IRF 131	IRF 132	IRF 133	IRF 150	IRF 151	IRF 152	IRF 153
VDS แรงดันครน-ซอร์ส (สูงสุด) V	400	350	400	350	400	350	400	350	100	60	100	60	100	60	100	60
ID กระแสครนต่อเนื่อง (สูงสุด) A	4		3.5		11		10		12		10		28		24	
IDM กระแสพัลส์ครน (สูงสุด) A	8		7		25		20		30		25		70		60	
RDS(on) ค่าความต้านทานครน-ซอร์ส (สูงสุด) ohm	1		1.5		0.3		0.4		0.18		0.25		0.055		0.08	
PD การกระจายกำลัง (สูงสุด) W		75			150				75				150			
gfs ค่าฟอร์เวิร์ดทรานคอนดักแตนซ์ (ปกติ) mo		3.5			9				5				10			
Td(on) ค่าของการหน่วงเวลาก่อนนำกระแส (ปกติ) ns		50			60				50				60			
Tr เวลาขาขึ้น (ปกติ) ns		100			150				150				200			
Td(off) การหน่วงเวลาก่อนหยุดนำกระแส (ปกติ) ns		100			400				100				300			
Tr เวลาขาลง (ปกติ) ns		100			150				150				200			
Ciss ค่าความจุอินพุต (สูงสุด) pf		1000			4000				1000				4000			

### ตารางที่ 3.3 คุณสมบัติของมอสเฟตเบอร์ต่างๆ

กระแสครนจะไหลได้ที่แรงดันครน-ซอร์สต่ำกว่า 10 โวลท์ แรงดัน  $V_{GS(th)}$  คือแรงดันเทรคโวลต์ซึ่งจะสูงกว่า 1 โวลท์เสมอ ในการหยุดการนำกระแสก็กระทำได้โดยไม่ต้องไบอัสกลับ และยังทำงานได้ดีที่อุณหภูมิ ฌ รอยต่อภายใน (Junction) สูงสุด 150 องศาเซลเซียส

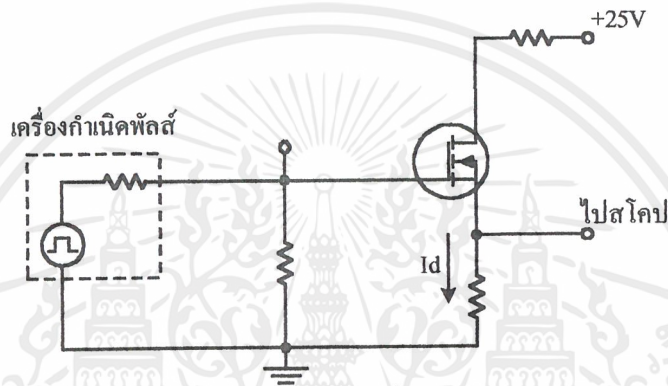
ตัวอย่างเช่น IRF150 ขนาด 100 โวลท์, 28 แอมป์ต่อเนื่อง, 70 แอมป์พัลส์ มีค่าความต้านทานขณะนำกระแสต่ำเพียง 0.055 โอห์ม (สูงสุด) แสดงว่าจะมีแรงดันตกครนและซอร์ส 0.1 โวลท์ ที่กระแส 20 แอมป์

จากตาราง 2.3 IRF350 เป็นชนิดแรงดันสูง ซึ่งมีขนาดของจิ้นซิลิกอนเท่ากับเบอร์ IRF150 (รุ่นแรงดันต่ำ) โดย IRF350 มีอัตราทนแรงดัน 400 โวลท์ และทนกระแสต่อเนื่อง 11 แอมป์, 25 แอมป์พัลส์ มีความต้านทานขณะนำกระแสสูงสุด 0.3 โอห์ม ดังนั้น IRF350 จึงสามารถสวิทชิงวงจรที่ใช้กำลังสูงถึง 4.4 กิโลวัตต์ต่อเนื่อง

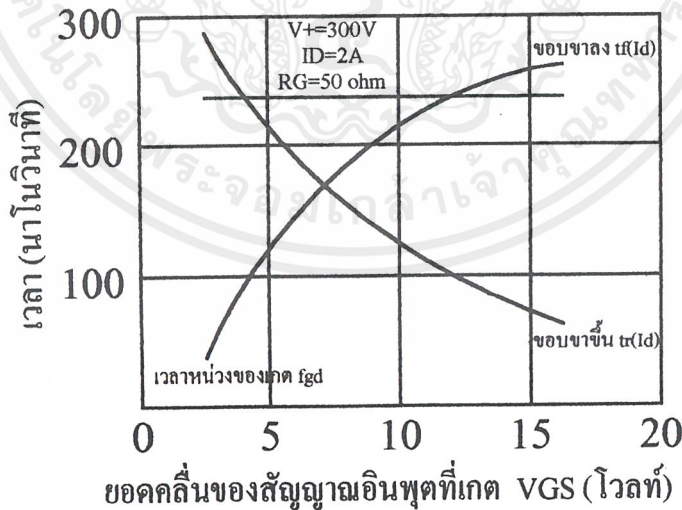
### เวลาที่ใช้ในการสวิตช์

มอสเฟตกำลังมีความเร็วสูงกว่าทรานซิสเตอร์กำลังในขนาดเดียวกัน เพราะมอสเฟตไม่มีเวลาหน่วงของพาหะอิเล็กตรอนภายใน ความเร็วของมอสเฟตจึงขึ้นอยู่กับค่าความจุภายในและเวลาในการเคลื่อนย้ายอิเล็กตรอนข้ามชั้นซิลิกอน

ค่าความจุอินพุตหรือ  $C_{iss}$  เป็นตัวการสำคัญในการทำให้มอสเฟตมีความเร็วมากน้อยแค่ไหน แม้ว่ามอสเฟตจะใช้กระแสจำนวนน้อยมาก ๆ เพื่อขับเคลื่อน แต่ช่วงเวลาในการประจุและคายประจุของตัวเก็บประจุ  $C_{iss}$  ที่ยาวนานก็จะเป็นผลให้ความเร็วในการสวิตช์ลดลง ดังนั้นจึงต้องพิจารณาค่าความจุนี้กับค่าความต้านทานภายในของแหล่งจ่ายสัญญาณเพื่อให้รู้ค่าคงที่เวลา (Times Constant)



รูปที่ 3.14 วงจรทดสอบเวลาในการสวิตช์

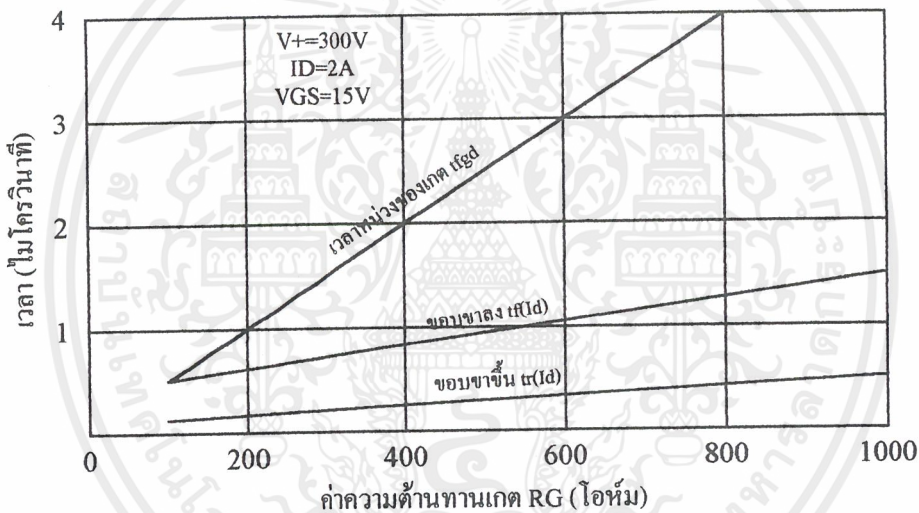


รูปที่ 3.15 ความสัมพันธ์ระหว่างเวลาที่ใช้ในการสวิตช์และแรงดันเกต(IRF 330)

รูปที่ 3.15 แสดงความสัมพันธ์ของขอยอดคลื่นแรงดันที่ป้อนให้เกิด, ช่วงเวลาหน่วงการหยุดนำกระแส, เวลาขอบขาตลงและขอบขาขึ้นของกระแสเดรน โดยมีส่วนรับวงจรขับเป็นตัวต้านทาน ดังรูปที่ 3.14

ช่วงเวลาหน่วงการหยุดนำกระแสจะเพิ่มขึ้นเมื่อเพิ่มแรงดันเกต แต่ช่วงเวลาขอบขาขึ้นจะลดลงเมื่อเพิ่มแรงดันเกตเพราะสัญญาณที่เข้ามาขับเกตยิ่งสูงยิ่งทำให้แรงดันคร่อมเกตและซอร์สถึงจุดควบคุมกระแสเดรนได้เร็วขึ้น แต่ขอบขาตลงของกระแสเดรนจะไม่ได้รับผลจากการเปลี่ยนแปลงแรงดันเกตเลย เพราะการลดลงของแรงดันเกตลงเร็วกว่ากระแสเดรน ณ บริเวณที่แรงดันเกตควบคุมกระแสเดรนได้(ช่วง  $t_p$ )

ตัวอย่างความสัมพันธ์ระหว่างช่วงเวลาการสวิตช์และความต้านทานของวงจรถูกแสดงในรูปที่ 3.16 จะเห็นว่าความต้านทานของวงจรถูกที่สูงขึ้นจะได้เวลาการสวิตช์ที่นานขึ้น เนื่องจากค่าคงที่เวลาของ  $R_G C_{iss}$



รูปที่ 3.16 ความสัมพันธ์ระหว่างเวลาการสวิตช์และความต้านทานของวงจรถูก(IRF

330)

### หลักการทํางานของบัลลาสต์อิเล็กทรอนิกส์

ในวงจรประกอบด้วยส่วนหลัก ๆ คือ ส่วนเรกติไฟเออร์และฟิลเตอร์ ซึ่งทำหน้าที่กรองกระแสและฮาโมนิกส์ โดยการต่อพาสส์ฟิลเตอร์แบบ LC ตัววงจรเรกติไฟเออร์เป็นวงจรเรียงกระแสแบบฟูลเวฟทำหน้าที่โดย D1-D4 ไฟลด์ที่แรงดันสูงจะผ่านเข้าไปยังตัวเก็บประจุฟิลเตอร์ C4,C5 แรงดันไฟตรงที่ได้จะถูกส่งไปยังส่วนออสซิลเลเตอร์ความถี่สูงเพื่อขับหลอดฟลูออเรสเซนต์ ซึ่งถือว่าเป็นหัวใจของบัลลาสต์นี้ โดยใช้ไอซีทำหน้าที่เฉพาะงานจาก IR เบอร์ IR2155 ซึ่งไอซีตัวนี้

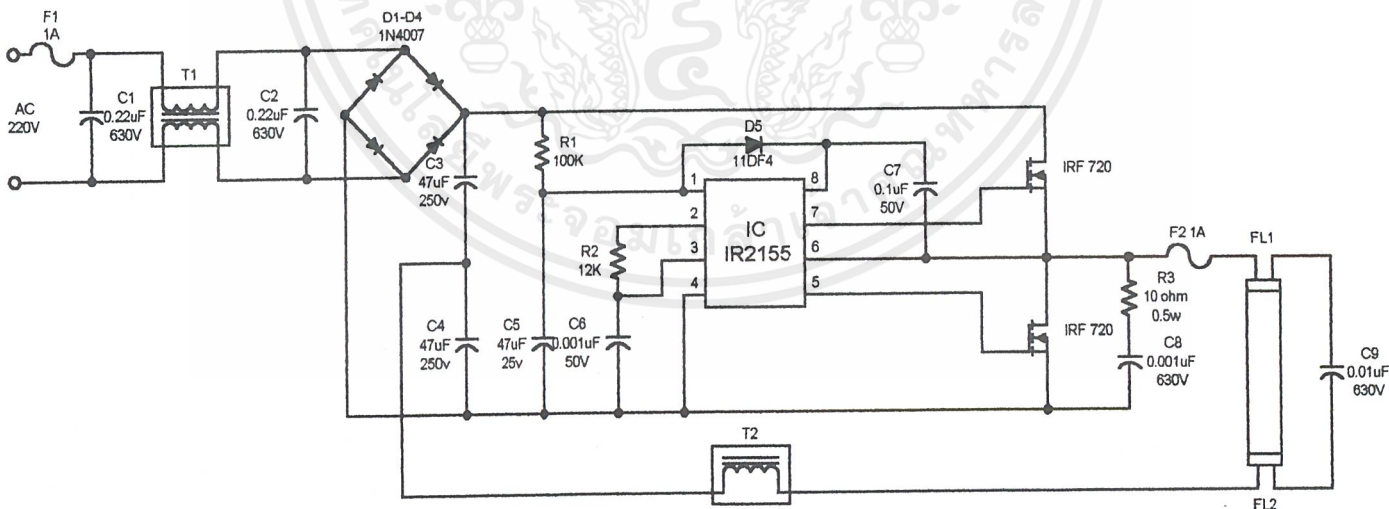
มีคุณสมบัติเด่น ๆ คือ รวบรวมจذبด้านแรงดันสูงซึ่งสามารถที่จะจับเกิดของมอสเฟตได้โดยตรง บล็อกไคอะแกรมวงจรภายในของตัวไอซีแสดงในรูป 3.6

ซึ่งวงจรภายในจะมีวงจรเรกูเลเตอร์แบบชั้ตต์ ซึ่งจะควบคุมแรงดันเพื่อเลี้ยงตัว ไอซีให้มีค่าประมาณ 15 โวลต์ จากแหล่งจ่ายแรงดันสูงโดยตรง ตัวต้านทานที่ต่ออนุกรมกับตัว ไอซีเพื่อควบคุมแรงดันสามารถใช้ตัวต้านทานที่ท่หน่วยค้ต่ำ ๆ ได้ เพราะ ไอซีภายในเป็นซิมอส ซึ่งกินกระแสไฟน้อย อีกทั้งให้แรงดันเอาต์พุตเพื่อจับเกิดของมอสเฟตเป็นคลื่นสี่เหลี่ยมที่สมบูรณ์ มีเวลาขาขึ้นและขาลงของพัลส์เร็ว ทำให้กำลังงานสูญเสียเนื่องจากการสวิตช์น้อยลง จึงทำให้สามารถที่จะลดขนาดอัตราการทำงนกำลังของมอสเฟต หรือลดขนาดของแผ่นระบายความร้อนให้มีขนาดเล็กกลงได้

ความถี่ในการทำงานนอกแบบไว้ที่ 60 KHz คิวตี้ไซเคิล 50 % ซึ่งความถี่นี้สามารถกำหนดได้ โดยค่าคงที่เวลาของ RC ซึ่งตัวไอซีนี้มีการจัดวงจรของส่วนออสซิลเลเตอร์ภายในคล้ายการจัดวงจรของไอซี 555 ที่รู้จักตีความถี่ทางเอาต์พุตสามารถคำนวณได้ จากวงจรมีค่าเท่ากับ

$$f = \frac{1}{1.4(R_2 + 150\Omega)C_6}$$

วงจรจริงได้ความถี่เอาต์พุตออกมาประมาณ 57 KHz ที่สวิตช์ส่งแรงดันไปยังเกิดของ Q1,Q2 เพาเวอร์มอสเฟตเบอร์ IRF720 ก่อนที่จะขับไปสู่หลอดต่อไป โดยผ่านทางตัวเก็บประจุเรโซแนนซ์ C9 0.01 ไมโครฟารัดร่วมกับหม้อแปลงเพาเวอร์ไซค์ T2 โดยวงจรรูปที่ 3.17 จะให้ค่าเพาเวอร์แฟกเตอร์มากกว่า 0.95



รูปที่3.17 วงจรสมบูรณ์ของบัลลาสต์อิเล็กทรอนิกส์

## บทที่ 4

### การทดลอง

#### 4.1 การเปรียบเทียบบัลลาสต์แมกเนติกส์ กับ บัลลาสต์อิเล็กทรอนิกส์

ในการนำเอาบัลลาสต์แมกเนติกส์ กับ บัลลาสต์อิเล็กทรอนิกส์มาใช้งานนั้นเราจะต้องรู้ถึงคุณสมบัติของบัลลาสต์แต่ละชนิดว่ามีความเหมาะสมกับงานมากน้อยเพียงใด เพราะบัลลาสต์แต่ละชนิดมีการกินกระแสที่ไม่เท่ากัน ดังนั้นการเลือกใช้จึงมีความจำเป็นอย่างยิ่ง เราจึงต้องมีการศึกษาทดลองเปรียบเทียบบัลลาสต์แต่ละชนิดกัน

#### ลำดับขั้นการทดลอง

##### 1. ทำการต่อวงจรตามรูป



รูปที่ 4.1 วงจรทดสอบบัลลาสต์

##### 2. ทำการวัดค่าต่าง ๆ

ค่าที่ทำกรวัด	บัลลาสต์แมกเนติกส์	บัลลาสต์อิเล็กทรอนิกส์
$V_i$	220 V	220 V
$V_o$	125 V	120 V
W	45 W	27 W
I	205 mA	122 mA
ลักซ์มิเตอร์	950 lm/ฟุต	934 lm/ฟุต

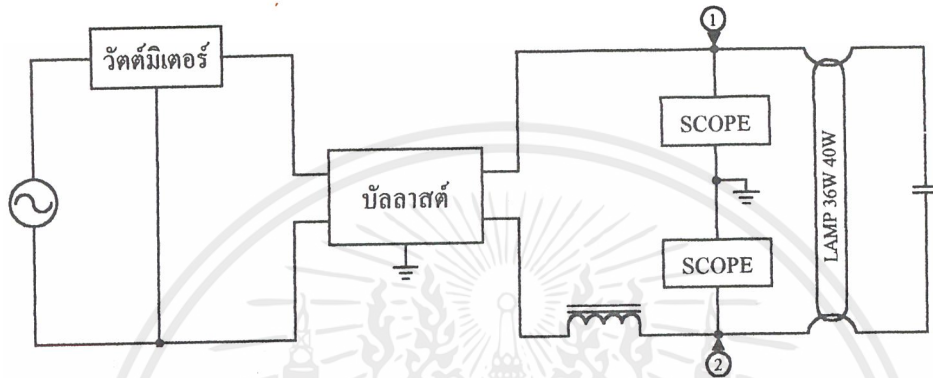
ตารางที่ 4.1 แสดงการวัดค่าต่าง ๆ

#### 4.2 การทดลองโดยการเปลี่ยนค่าความถี่

ในการทดลองเปลี่ยนค่าความถี่นี้ จุดประสงค์คือต้องการรู้การเปลี่ยนแปลงของตัวบัสลาสต์ อิเล็กทรอนิกส์ว่าจะมีความเปลี่ยนแปลงเป็นเช่นไร โดยเปลี่ยนความถี่ได้ที่ค่าความต้านทาน  $R_T$  ซึ่งเป็นไปตามคุณสมบัติของตัวไอซี IR 2155 ซึ่งมีสมการดังนี้

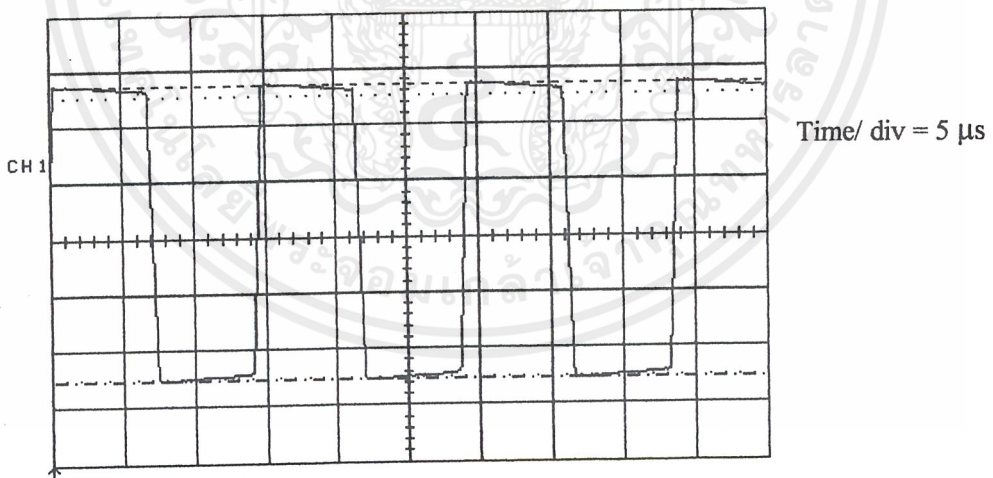
$$f = \frac{1}{1.4 \times (R_T + 150\Omega) \times C_T}$$

1. ทำการต่อวงจรตามรูปที่ 4.2



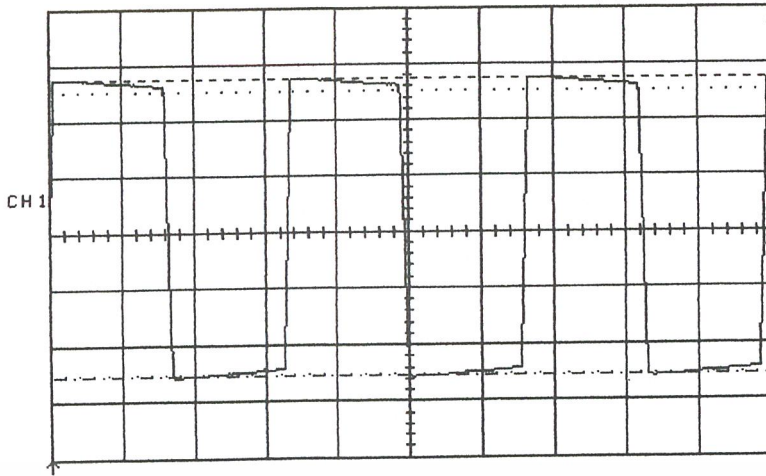
รูปที่ 4.2 วงจรทดสอบบัลลาสต์อิเล็กทรอนิกส์ที่ค่าความถี่ต่างๆ

เมื่อต่อวงจรตามรูปแล้ว จากนั้นทำการวัดค่าต่างๆ จะได้ดังนี้



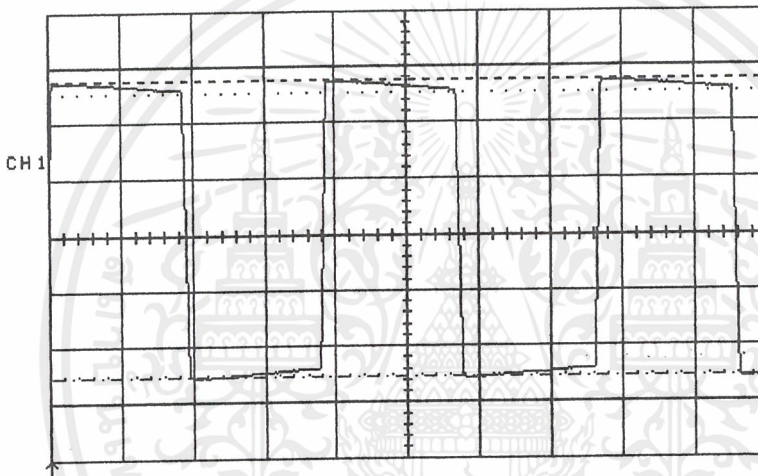
รูปที่ 4.3 สัญญาณแรงดันเอาต์พุตจุด 1 ที่ความถี่ 85.543 kHz





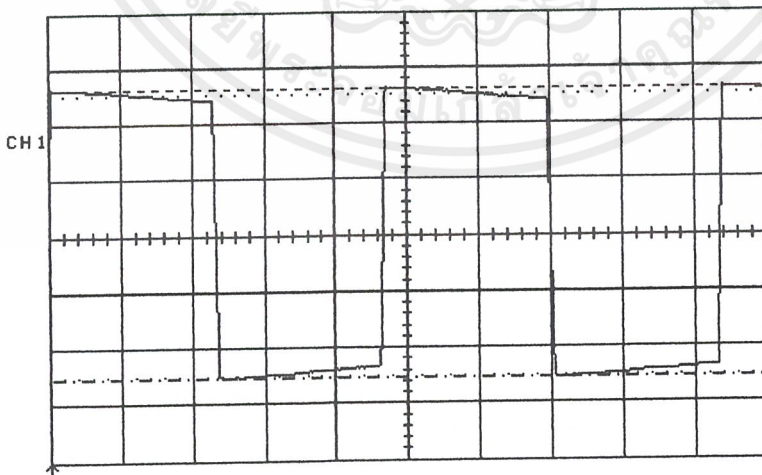
Time/ div = 5  $\mu$ s

รูปที่ 4.4 สัญญาณแรงดันไฟฟ้าพัลส์ 1 ที่ความถี่ 70.372 kHz



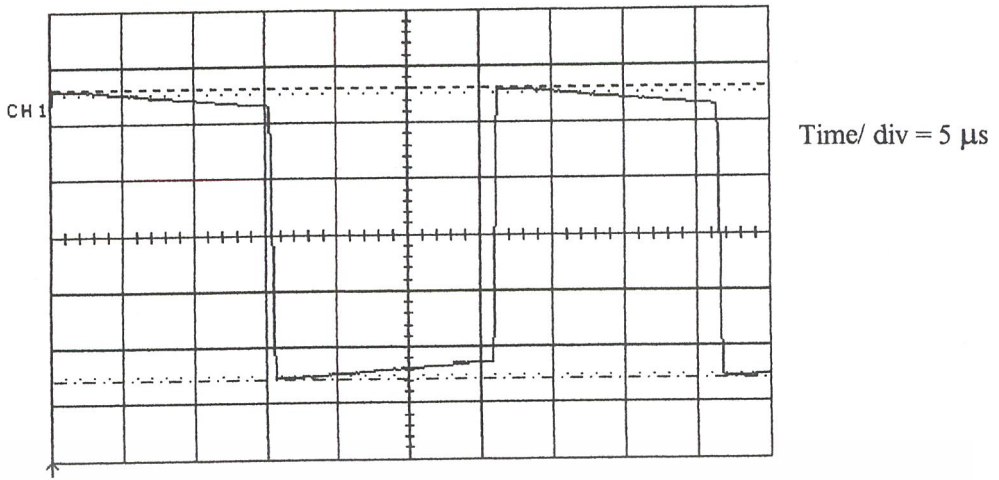
Time/ div = 5  $\mu$ s

รูปที่ 4.5 สัญญาณแรงดันไฟฟ้าพัลส์ 1 ที่ความถี่ 58.783 kHz

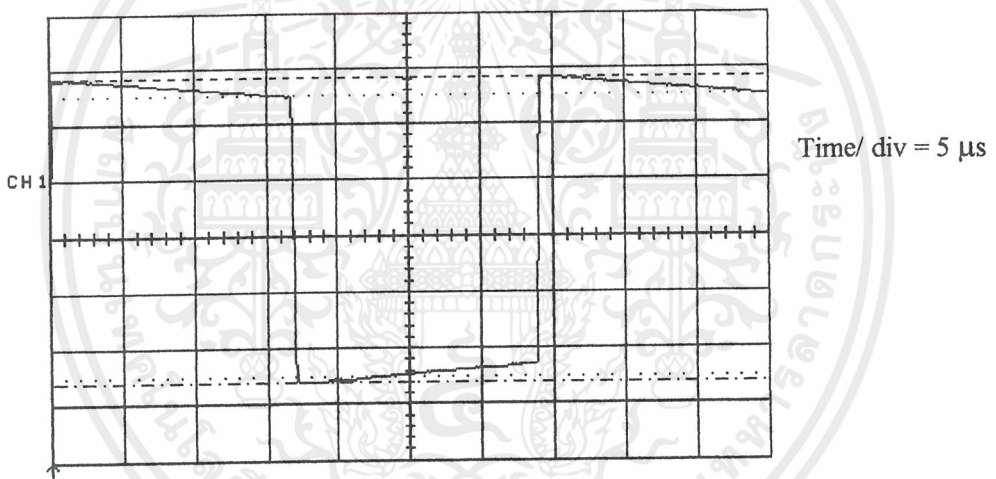


Time/ div = 5  $\mu$ s

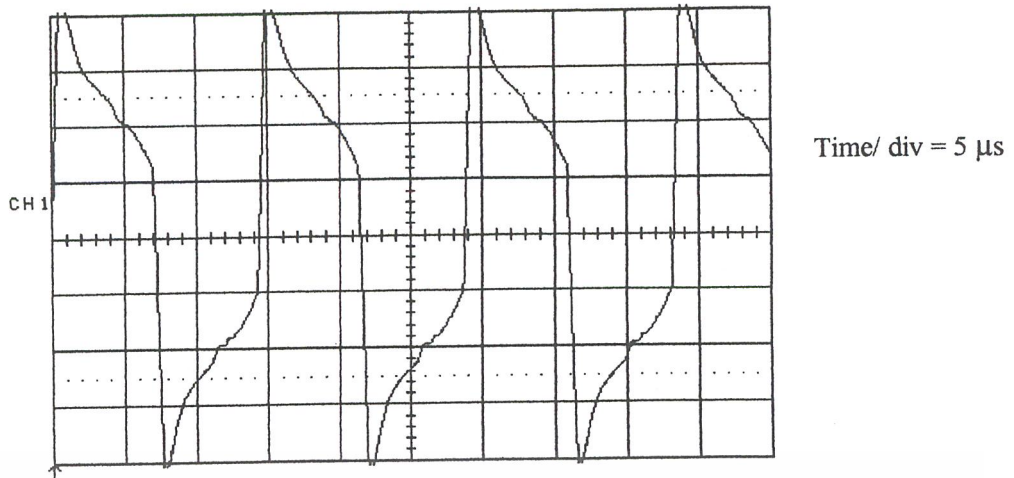
รูปที่ 4.6 สัญญาณแรงดันไฟฟ้าพัลส์ 1 ที่ความถี่ 47.147 kHz



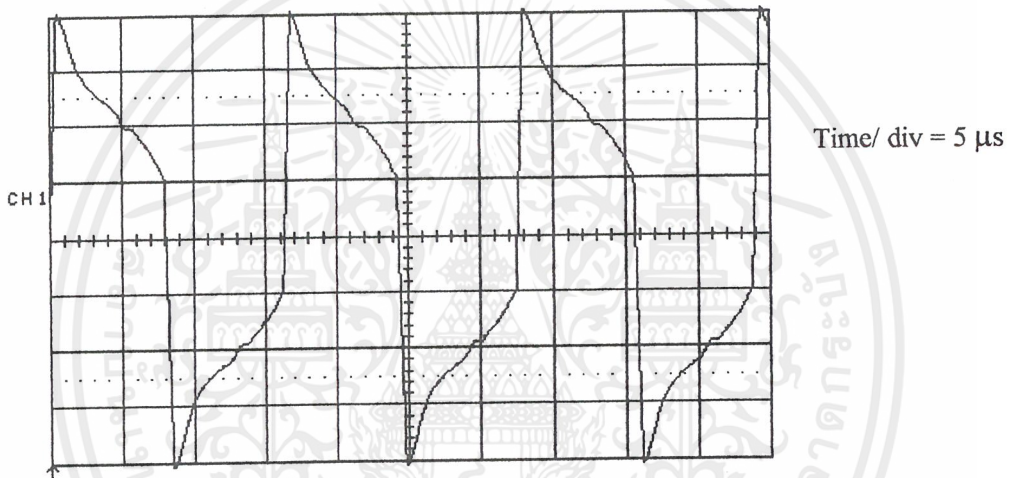
รูปที่ 4.7 สัญญาณแรงดันเอาต์พุตจุด 1 ที่ความถี่ 35.448 kHz



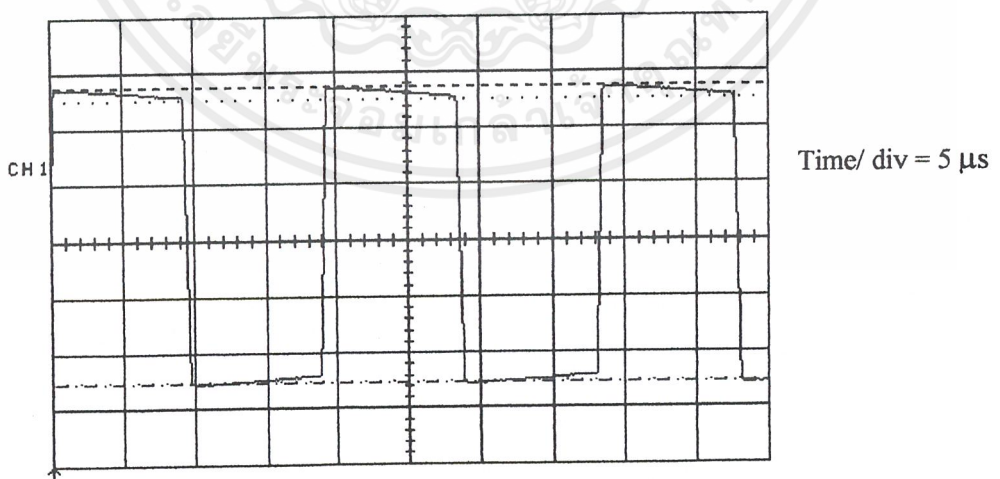
รูปที่ 4.8 สัญญาณแรงดันเอาต์พุตจุด 1 ที่ความถี่ 32.247 kHz



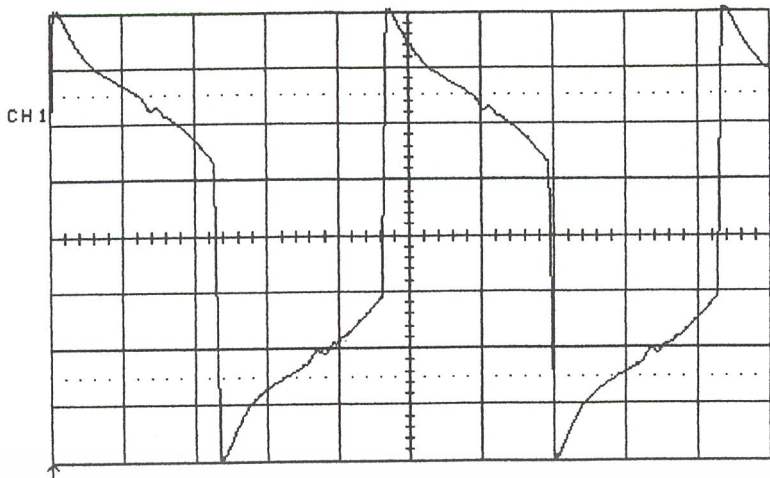
รูปที่ 4.9 สัญญาณแรงดันอินพุตที่พุดจุด 2 ที่ความถี่ 85.543 kHz



รูปที่ 4.10 สัญญาณแรงดันอินพุตที่พุดจุด 2 ที่ความถี่ 70.372 kHz

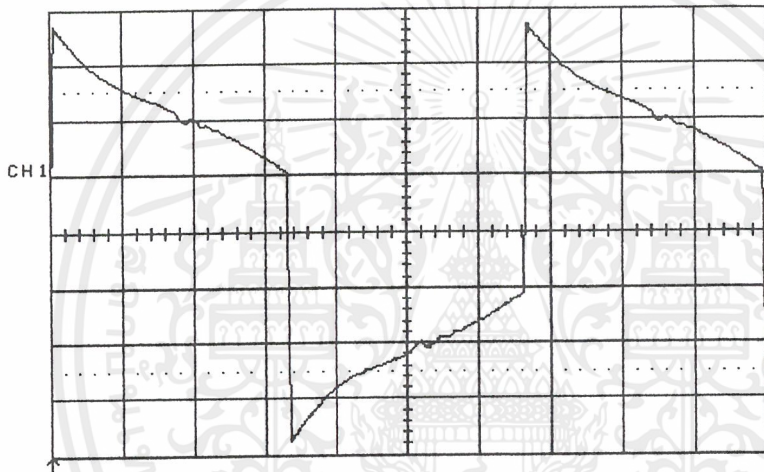


รูปที่ 4.11 สัญญาณแรงดันอินพุตที่พุดจุด 2 ที่ความถี่ 58.783 kHz



Time/ div = 5  $\mu$ s

รูปที่ 4.12 สัญญาณแรงดันอินพุตที่จุด 2 ที่ความถี่ 47.147 kHz



Time/ div = 5  $\mu$ s

รูปที่ 4.13 สัญญาณแรงดันอินพุตที่จุด 2 ที่ความถี่ 32.247 kHz

ค่า R (K)	ความถี่ที่คำนวณ (kHz)	ความถี่ที่วัดได้ (kHz)	$V_o$ (V)	ลักซ์มิเตอร์ (lm/ฟุต)	W (w)
8.2	85.543	68	150	819	24
10	70.372	60.60	139	867	26
12	58.783	52.13	120	934	27
15	47.147	42.69	103	1023	30
20	35.448	32.12	82	1140	34
22	32.247	29.45	68	1165	36

ตารางที่ 4.2 แสดงถึงค่าต่าง ๆ เมื่อได้เปลี่ยนความถี่

### สรุปผลการทดลอง

จากผลการทดลองจะเห็นว่าบัลลาสต์อิเล็กทรอนิกส์กินกำลังงานน้อยกว่า บัลลาสต์แมกเนติกส์นั้นก็หมายถึงการกินกระแสต่ำกว่าด้วย และยังทำให้ประหยัดพลังงานลงไปได้อีกทั้งยังประหยัดค่าไฟฟ้าลงไปด้วย ส่วนการที่เราทำการเปลี่ยนค่าความถี่จะทำให้เห็นว่าเมื่อความถี่สูงขึ้นจะทำให้กำลังวัตต์ลดลงไป ส่วนความถี่ต่ำจะทำให้กำลังวัตต์เพิ่มมากขึ้น แต่ในวงจรที่เราใช้อยู่ นั้นจะใช้ความถี่ที่ 58.783 kHz ซึ่งเป็นความถี่ที่เหมาะสมที่สุด ถึงแม้ว่าจะได้วัตต์เพียง 27 W ก็ตาม ส่วนความถี่ที่สูงกว่านี้ถึงแม้จะให้วัตต์ที่น้อยลงแต่ก็มีข้อเสียอยู่บ้างคือ หลอดจะติดช้ากว่าส่วนความถี่ที่ต่ำกว่า 58.783 kHz จะติดช้ามาก ยิ่งความถี่ต่ำลงเท่าไรหลอดไฟก็จะยิ่งติดได้ช้า

### ข้อดี ข้อเสียของบัลลาสต์อิเล็กทรอนิกส์และบัลลาสต์แมกเนติกส์

#### ข้อดีของบัลลาสต์แมกเนติกส์

1. ใช้ทนนาน บัลลาสต์แมกเนติกส์ได้รับการยอมรับถึงการทำงานที่เชื่อถือได้ อายุการใช้งานยาวนาน
2. ราคาถูก หาซื้อง่าย
3. สามารถใช้งานได้ในสถานที่ต่าง ๆ เช่น
  - ในสถานที่ที่มีอุณหภูมิสูง
  - ในสถานที่ที่มีความชื้นสูง

#### ข้อเสียของบัลลาสต์แมกเนติกส์

1. แสงสว่างไม่สม่ำเสมอ หลอดฟลูออเรสเซนต์มีการกระพริบของแสง
2. ตัวบัลลาสต์แมกเนติกส์มีน้ำหนักมาก
3. ประสิทธิภาพการส่องสว่างของหลอดมีค่าต่ำ
4. ขณะใช้งาน บัลลาสต์แมกเนติกส์จะร้อนมากซึ่งจะทำให้เครื่องปรับอากาศต้องทำงานมากขึ้น
5. ใช้เวลาจุดหลอดนาน

#### ข้อดีของบัลลาสต์อิเล็กทรอนิกส์

1. แสงมีความสม่ำเสมอมากขึ้น
2. การจุดหลอดไม่ต้องใช้สตาร์ทเตอร์และไม่มีปัญหาเรื่องสตาร์ทเตอร์เสีย เพราะไม่ต้องใช้สตาร์ทเตอร์
3. ยืดอายุการใช้งานของหลอดให้ยาวนานขึ้น
4. การใช้ความถี่สูงจะลดการเกิดแสงกระพริบ

5. มีน้ำหนักเบา
6. ช่วยประหยัดพลังงานได้ เพราะพลังงานที่สูญเสียในบัลลาสต์มีค่าลดลง
7. หลอดจุดติดเร็ว
8. ลดภาระของเครื่องปรับอากาศ ช่วยประหยัดค่าไฟฟ้าของเครื่องปรับอากาศได้เพราะบัลลาสต์อิเล็กทรอนิกส์มีการสูญเสียในตัวบัลลาสต์น้อยกว่า

#### ข้อเสียของบัลลาสต์อิเล็กทรอนิกส์

1. บัลลาสต์อิเล็กทรอนิกส์จะสร้างแรงดันสูงหากไม่มีการป้องกันที่ดีผู้ใช้อาจถูกไฟดูดได้
2. บัลลาสต์อิเล็กทรอนิกส์อาจรบกวนการทำงานของเครื่องใช้ไฟฟ้าชนิดอื่นได้ เช่น เครื่องคอมพิวเตอร์ วิทยุ การรบกวนอาจเกิดขึ้นได้ 3 ทางคือ
  - การแผ่คลื่นผ่านอากาศสู่อุปกรณ์
  - การแผ่คลื่นผ่านอากาศจากสายไฟที่ติดกับอุปกรณ์
  - การย้อนกลับจากอุปกรณ์กลับเข้าไปยังแหล่งจ่ายโดยผ่านสายไฟ
3. บัลลาสต์อิเล็กทรอนิกส์มีอายุการใช้งานสั้นกว่าบัลลาสต์แมกเนติกส์ เพราะต้องขึ้นอยู่กับความชื้น อุณหภูมิ
4. บัลลาสต์อิเล็กทรอนิกส์จะมีความร้อนและอายุการใช้งานที่ไวต่อแรงดันที่ไม่คงที่มากกว่า บัลลาสต์แมกเนติกส์
5. บัลลาสต์อิเล็กทรอนิกส์ใช้ได้บางสถานที่

#### สรุปผล

จากข้อดีข้อเสียของบัลลาสต์ทั้งสองแบบ ท่านสามารถพิจารณาตัดสินใจเลือกใช้บัลลาสต์ โดยดูจากลักษณะการใช้งานของท่านเป็นหลัก บัลลาสต์อิเล็กทรอนิกส์มีคุณสมบัติที่ดีแต่มีปัญหาราคาแพงจะใช้เวลาานกว่าจะคุ้มทุนและก็มีความเสี่ยงว่าบัลลาสต์อิเล็กทรอนิกส์อาจจะเสียก่อนคุ้มทุนก็ได้ หรือหากบัลลาสต์อิเล็กทรอนิกส์มีคุณภาพที่ไม่ดีอาจจะรบกวนการทำงานของเครื่องใช้ไฟฟ้าชนิดอื่น ๆ อย่างไรก็ตามบัลลาสต์อิเล็กทรอนิกส์ที่ได้คุณภาพก็มีคุณสมบัติเด่นเหมาะกับการใช้งาน

สำหรับผู้ใช้งานรายที่ไม่ใส่ใจถึงระยะเวลาคืนทุนอาจจะเลือกซื้อบัลลาสต์อิเล็กทรอนิกส์มาใช้แม้ว่าจะไม่คุ้มทุนหรือระยะคืนทุนอาจจะนานเกินไป แต่ก็ด้วยเจตนาที่ดีที่ต้องการช่วยประหยัดพลังงาน พลังงานไฟฟ้าที่ช่วยกันประหยัดได้จะมีค่าเสมือนมีโรงไฟฟ้าเพิ่มขึ้นเพราะพลังงานไฟฟ้าที่เราประหยัดได้นั้นผู้อื่นสามารถนำไปใช้ประโยชน์ได้

### เอกสารอ้างอิง

1. การออกแบบระบบแสงสว่าง, พิบูลย์ ดิษฐ์อุคม
2. การออกแบบแสงสว่าง, ธนบุลย์ ศศิภาณุเดช
3. ทฤษฎีวงจรไฟฟ้า เล่ม 3, ไมตรี วรวิมล จรรยากุล
4. เรื่องน่ารู้เกี่ยวกับบัลลาสต์, บริษัท แอดวานซ์ อิเล็กทริก แอนด์ อิเล็กทรอนิกส์ จำกัด
5. 51 เรื่องน่ารู้เทคนิคไฟฟ้า, วารสารเทคนิค
6. แหล่งจ่ายไฟสำหรับนักอิเล็กทรอนิกส์ชุดสวิตชิงซ์พหลาย, บริษัทซีเอ็ดยูเคชั่นจำกัด
7. เทคนิคและการออกแบบสวิตชิงซ์ เพาเวอร์ซัพพหลาย, สุวัฒน์ คั่น
8. แหล่งจ่ายไฟแบบสวิตชิงซ์, สมบูรณ์ มาลานนท์ สมคิด วิริยประสิทธิ์ชัย
9. IR 2155, เสกสิทธิ์ คำชมภู
10. ฟาสต์-รีคัพเวอรีไดโอด, ชูเกียรติ วัฒนากุล
11. หีบมอสเฟตมาใช้งาน ตอนที่ 1 และ 2, วิโรจน์ แซ่โซว



เอกสารนี้เป็นเอกสารที่สงวนไว้สำหรับการใช้งานเพื่อการศึกษาเท่านั้น ไม่อนุญาตให้นำไปใช้ประโยชน์ด้านการค้า  
ไม่ว่ากรณีใดๆ ทั้งสิ้น อีกทั้งห้ามมิให้ดัดแปลงเนื้อหาและต้องอ้างอิงถึงเจ้าของเอกสารทุกครั้งที่มีการนำไปใช้



## ภาคผนวก

เอกสารนี้เป็นเอกสารที่สงวนไว้สำหรับการใช้งานเพื่อการศึกษาเท่านั้น ไม่อนุญาตให้นำไปใช้ประโยชน์ด้านการค้า  
ไม่ว่ากรณีใดๆ ทั้งสิ้น อีกทั้งห้ามมิให้ดัดแปลงเนื้อหาและต้องอ้างอิงถึงเจ้าของเอกสารทุกครั้งที่มีการนำไปใช้



มาตรฐานผลิตภัณฑ์อุตสาหกรรม  
แบตเตอรี่อิเล็กทรอนิกส์  
ใช้กับไฟฟ้ากระแสสลับ  
สำหรับหลอดฟลูออเรสเซนต์  
เฉพาะด้านความปลอดภัย

มอก.885-2532

พิมพ์เพิ่มเติมครั้งที่ 2 พ.ศ.2536 จำนวน 300 เล่ม

สำนักงานมาตรฐานผลิตภัณฑ์อุตสาหกรรม  
กระทรวงอุตสาหกรรม ถนนพระรามที่ 6 กรุงเทพฯ 10400  
โทรศัพท์ 2461175

ประกาศในราชกิจจานุเบกษา เล่ม 106 ตอนที่ 159

วันที่ 21 กันยายน พุทธศักราช 2532

## คณะกรรมการวิชาการคณะที่ 12

### มาตรฐานผลิตภัณฑ์อุตสาหกรรมบัตลาสต์สำหรับหลอดฟลูออเรสเซนต์

#### ประธานคณะกรรมการ

นาย ประโมทย์ อุณหวัทยะ ผู้แทนคณะวิศวกรรมศาสตร์ จุฬาลงกรณ์มหาวิทยาลัย

#### กรรมการ

นาย ทอง หล่อพุ่มกลิ่น ผู้แทนสำนักงานพลังงานแห่งชาติ

ร.อ.หิรัญ บริบูรณ์หิรัญสาร ผู้แทนกรมโยธาธิการ

นาย สุรพล วัฒนวงศ์ ผู้แทนสถาบันวิจัยวิทยาศาสตร์  
และเทคโนโลยีแห่งประเทศไทย

นาย สมบัติ โสภวานิตย์ ผู้แทนการไฟฟ้านครหลวง

นาย ประโมช ศิริบุญย์ ผู้แทนการไฟฟ้าส่วนภูมิภาค

นางสาว อารมย์ ไชยโชติ

นาย วัฒนะ เจ้าเจริญกุล ผู้แทนการเคหะแห่งชาติ

นาย บุญจิตร โล่ห์ วงศ์วัฒน

นาย ชีวิน จิตตินันท์ ผู้แทนสภาอุตสาหกรรมแห่งประเทศไทย

นาย พัลลภ นวพันธ์พิพัฒน์ ผู้แทนบริษัท ไฟฟ้าฟิลิปส์แห่งประเทศไทยจำกัด

นาย ทรงศักดิ์ วรรณนิธิกุล

นาย บุญเลิศ รุจิเรขเสวีกุล ผู้แทนบริษัทพี.อี.ดับบลิวจำกัด

นาย พิทักษ์ สุขุดมตันติ ผู้แทนห้างหุ้นส่วนสามัญนิติบุคคลบี.กริมแอนโก

นาย พิรัช เบญจพัฒน์มงคล ผู้แทนห้างหุ้นส่วนจำกัดเบญจมงคลอิเล็กทรอนิกส์

#### กรรมการและเลขานุการ

นาย ศิริชัย คัทธมาศ ผู้แทนสำนักงานมาตรฐานผลิตภัณฑ์อุตสาหกรรม

ปัจจุบันได้มีการนำวงจรอิเล็กทรอนิกส์มาใช้แทนบัลลาสต์สำหรับหลอดฟลูออเรสเซนต์ในระบบไฟฟ้ากระแสสลับทำให้สามารถประหยัดพลังงานไฟฟ้าลงไปได้ ดังนั้นเพื่อประโยชน์ของผู้ใช้และเพื่อส่งเสริมอุตสาหกรรมประเภทนี้จึงกำหนดมาตรฐานผลิตภัณฑ์อุตสาหกรรมบัลลาสต์อิเล็กทรอนิกส์ใช้กับไฟฟ้ากระแสสลับสำหรับหลอดฟลูออเรสเซนต์เฉพาะด้านความปลอดภัยขึ้น มาตรฐานผลิตภัณฑ์อุตสาหกรรมเฉพาะด้านความปลอดภัยนี้กำหนดขึ้นโดยอาศัยเอกสารต่อไปนี้เป็นแนวทาง

DRAFT IEC Publication 000 AC Supplied Electronic Ballasts for  
tubular Fluorescent Lamps General  
and Safety Requirements

คณะกรรมการมาตรฐานผลิตภัณฑ์อุตสาหกรรม ได้พิจารณามาตรฐานนี้แล้ว เห็นสมควรเสนอรัฐมนตรีประกาศตามมาตรา 15 แห่งพระราชบัญญัติมาตรฐานผลิตภัณฑ์อุตสาหกรรม พ.ศ. 2511

ปลอดภัย มาตรฐานเลขที่ มอก. 885-2532 ไว้ดังมีรายละเอียดต่อท้ายประกาศนี้

ประกาศ ณ วันที่ 1 กันยายน พ.ศ. 2532

บรรหาร ศิลปอาชา

รัฐมนตรีว่าการกระทรวงอุตสาหกรรม

มาตรฐานผลิตภัณฑ์อุตสาหกรรม  
แบตเตอรี่อิเล็กทรอนิกส์  
ใช้กับไฟฟ้ากระแสสลับ  
สำหรับหลอดฟลูออเรสเซนต์  
เฉพาะด้านความปลอดภัย

1. ขอบข่าย

- 1.1 มาตรฐานผลิตภัณฑ์อุตสาหกรรมเฉพาะด้านความปลอดภัยนี้กำหนดประเภทคุณลักษณะที่ต้องการเครื่องหมายและฉลากการชกตัวอย่างและเกณฑ์ตัดสินและการทดสอบแบตเตอรี่อิเล็กทรอนิกส์ที่ใช้กับกระแสไฟฟ้าสลับสำหรับหลอดฟลูออเรสเซนต์
- 1.2 มาตรฐานผลิตภัณฑ์อุตสาหกรรมเฉพาะด้านความปลอดภัยนี้ครอบคลุมเฉพาะแบตเตอรี่อิเล็กทรอนิกส์ใช้กับไฟฟ้ากระแสสลับสำหรับหลอดฟลูออเรสเซนต์ซึ่งใช้กับระบบแรงดันไฟฟ้ากระแสสลับไม่เกิน 1000 โวลต์ความถี่ 50 เฮิร์ตซ์ หรือ 60 เฮิร์ตซ์ และหลอดฟลูออเรสเซนต์ที่กำหนดในมาตรฐานผลิตภัณฑ์อุตสาหกรรมหลอดฟลูออเรสเซนต์มาตรฐานเลขที่มอก.236
- 1.3 มาตรฐานผลิตภัณฑ์อุตสาหกรรมนี้ไม่ครอบคลุมถึงแบตเตอรี่สำหรับหลอดฟลูออเรสเซนต์ซึ่งมีประกาศกำหนดมาตรฐานผลิตภัณฑ์อุตสาหกรรมไว้ต่างหากโดยเฉพาะ

## 2. บทนิยาม

- ความหมายที่ใช้ในมาตรฐานผลิตภัณฑ์อุตสาหกรรมนี้ มีดังต่อไปนี้
- 2.1 บัลลาสต์ (ballast) หมายถึงอุปกรณ์ซึ่งอยู่ระหว่างแหล่งจ่าย (supply) กับหลอดฟลูออเรสเซนต์หลอดเดี่ยว หรือหลายหลอด และอาจมีส่วนประกอบส่วนเดียวหรือหลายส่วน โดยมีจุดประสงค์หลักเพื่อควบคุมกระแสไฟฟ้าผ่านหลอดให้มีค่าตามที่ต้องการและอาจรวมจุดประสงค์ดังต่อไปนี้คือ
- (1) เพื่อแปลงแรงดันไฟฟ้าตกแหล่งจ่ายให้พอที่จะจุดและเผาไส้ให้หลอดติดได้
  - (2) เพื่อป้องกันมิให้หลอดทำงานก่อนมีการเผาไส้ (cold starting)
  - (3) เพื่อลดผลทางสโตรโบสโกปิก (stroboscopic effect)
  - (4) เพื่อปรับตัวประกอบกำลังและ/หรือลดการรบกวนคลื่นวิทยุ
- 2.2 บัลลาสต์อิเล็กทรอนิกส์ใช้กับไฟฟ้ากระแสสลับสำหรับหลอดฟลูออเรสเซนต์ซึ่งต่อไปนี้มีมาตรฐานนี้จะเรียกว่า "บัลลาสต์" หมายถึงอุปกรณ์ที่ประกอบด้วยอินเวอร์เตอร์ไฟฟ้ากระแสสลับ (a.c.inverter) กับอุปกรณ์ทำให้เสถียร (stabilizing element) เพื่อจุดหลอดฟลูออเรสเซนต์หลอดเดี่ยวหรือหลายหลอดซึ่งปกติทำงานที่ความถี่สูง
- 2.3 บัลลาสต์ติดภายในหมายถึงบัลลาสต์ที่ถูกออกแบบโดยเฉพาะสำหรับติดตั้งภายในดวงโคมกล่องเปลือกหุ้มหรือสิ่งอื่นที่คล้ายกัน
- 2.4 แรงดันไฟฟ้าของแหล่งจ่าย (supply voltage) หมายถึงแรงดันไฟฟ้าที่จ่ายให้กับวงจรหลอดและบัลลาสต์
- 2.5 แรงดันไฟฟ้าใช้งาน (working voltage) หมายถึงแรงดันไฟฟ้าค่ารากของกำลังสองเฉลี่ยค่าสูงสุดคร่อมระหว่างฉนวนที่จุดใดๆ ซึ่งอาจเกิดขึ้นขณะวงจรเปิดหรือขณะหลอดทำงานตามปกติแต่ไม่รวมภาวะขณะชั่วคราว (transient)
- 2.6 กระแสไฟฟ้าของแหล่งจ่าย (supply current) หมายถึงกระแสไฟฟ้าที่จ่ายให้กับวงจรหลอดและบัลลาสต์
- 2.7 ส่วนที่มีไฟฟ้า (live part) หมายถึงส่วนที่นำไฟฟ้าที่อาจก่อให้เกิดไฟฟ้าช็อตในการใช้งานตามปกติ

- 2.8 ปรากฏการณ์การเกิดกระแสตรง (rectifying effect) หมายถึงปรากฏการณ์ที่เกิดขึ้นเมื่อกระแสอาร์ก (arc current) ในเครื่องจักรที่ต่อเนื่องกันของรูปคลื่นกระแสไฟฟ้ามีปริมาณไม่เท่ากันเนื่องจากได้หลอดข้างใดข้างหนึ่งขาดหรือเสื่อมประสิทธิภาพในการปล่อยประจุอิเล็กตรอน ปรากฏการณ์นี้อาจเกิดขึ้นแก่หลอดเมื่อจะหมดอายุการใช้งาน
- 2.9 อุณหภูมิใช้งานสูงสุดที่กำหนดของฝวอกของบัลลาสต์ (rated maximum operating temperature of a ballast case, to) หมายถึงอุณหภูมิสูงสุดที่ยอมให้เกิดขึ้นที่ฝวอกของบัลลาสต์หรือจุดใดจุดหนึ่งที่แสดงไว้ (ถ้ามี) ในภาวะการทำงานปกติที่แรงดันไฟฟ้าที่กำหนดหรือค่าสูงสุดของช่วงแรงดันไฟฟ้าที่กำหนด

### 3. ประเภท

- 3.1 บัลลาสต์มีประเภทเดียวคือบัลลาสต์ชนิดภายใน

### 4. คุณลักษณะที่ต้องการ

- 4.1 ความคงทนของเครื่องหมาย  
เครื่องหมายตามข้อ 5. ต้องคงทนและเห็น ได้ชัดเจน  
การทดสอบให้ปฏิบัติตามข้อ 7.2
- 4.2 ขั้วต่อสาย  
ถ้ามีขั้วต่อสายต้องเป็นไปตามข้อกำหนดดังนี้
- 4.2.1 ขั้วต่อสายต้องมีขนาดเหมาะสมสำหรับต่อกับสายไฟฟ้าที่ตัวนำมีพื้นที่หน้าตัดตามตารางที่ 1  
การทดสอบให้ทำโดยการตรวจพินิจการวัดและ โดยการต่อสายที่มีพื้นที่หน้าตัดเล็กสุดและใหญ่สุดตามที่กำหนดในตารางที่ 1 เข้ากับขั้วต่อสาย


## ตารางที่ 1 พื้นที่หน้าตัด

(ข้อ 4.2.1)

กระแสไฟฟ้าที่กำหนด แอมแปร์	พื้นที่หน้าตัดของตัวนำ ตารางมิลลิเมตร
ไม่เกิน 3	0.5 ถึง 1.0
เกิน 3 ถึง 6	0.75 ถึง 1.75
เกิน 6 ถึง 10	1.0 ถึง 2.5
เกิน 10 ถึง 16	2.5 ถึง 4.0

4.2.2 ขั้วต่อสายแบบต่อด้วยหมุดเกลียวและแบบไม่ใช่หมุดเกลียวให้เป็นไปตามมาตรฐานผลิตภัณฑ์อุตสาหกรรมควม โคม ไฟฟ้าติดประจำที่สำหรับจุดประสงค์ทั่วไป (ในกรณีที่ยังไม่มีการประกาศกำหนดมาตรฐานดังกล่าวให้เป็นไปตาม IEC 598-1)

4.3 การต่อลงดิน

4.3.1 การต่อลงดินเพื่อความปลอดภัยให้แสดงด้วยสัญลักษณ์  ขั้วต่อสายดินให้เป็นไปตามข้อ 4.2 และต้องมีตัวจับยึดเพื่อป้องกันไม่ให้ตัวนำหลวมคลอนและต้องไม่สามารถคลายออกโดยไม่ใช้เครื่องมือถ้าเป็นขั้วต่อสายที่ไม่มีหมุดเกลียวจะต้องไม่หลุดหลวมโดยไม่ตั้งใจกระทำการต่อบัสลาสต์ลงดินโดยการติดตั้งบัสลาสต์เข้ากับส่วนโลหะที่มีการต่อลงดินไว้แล้ว ถือว่าเป็นการต่อบัสลาสต์ลงดิน ถ้าบัสลาสต์มีขั้วต่อสายดินให้ใช้ขั้วต่อสายดินนี้สำหรับต่อบัสลาสต์ลงดินเท่านั้น

ทุกส่วนของขั้วต่อสายดินจะต้องมีลักษณะที่มีการกักกร่อนน้อยซึ่งเป็นผลมาจากการสัมผัสระหว่างโลหะต่างชนิดกัน หมุดเกลียวหรือส่วนของขั้วต่อสายดินควรทำด้วยทองเหลืองหรือวัสดุที่มีผิวหน้าไม่เกิดสนิมและผิวสัมผัสต้องเป็นเนื้อโลหะ

การทดสอบให้ทำโดยการตรวจพินิจและโดยการทดสอบเช่นเดียวที่กำหนดในข้อ 4.2.2

- 4.3.2 การต่อลงดินตามหน้าที่ให้แสดงด้วยสัญลักษณ์  $\equiv$  ขั้วต่อสายดินตามหน้าที่เป็นขั้วสำหรับต่อส่วนต่างๆที่อาจจำเป็นต้องต่อลงดินด้วยเหตุผลอื่นนอกเหนือจากความปลอดภัย

หมายเหตุ ในกรณีส่วนที่ช่วยในการจุลหอดที่อยู่ประชิดกับหลอดต่อเข้ากับขั้ว หนึ่งของขั้วต่อสายด้านจ่ายไฟออก แต่ไม่จำเป็นต้องต่อลงดินด้านเดียวกับแหล่งจ่ายไฟ

- 4.4 ตัวโครง (frame or chassis) ให้แสดงด้วยสัญลักษณ์ 
- 4.5 ระยะห่างตามพิวฉนวนและระยะห่างในอากาศ ต้องไม่ต่ำกว่าค่าที่กำหนดในตารางที่ 2

การทดสอบให้ปฏิบัติโดยการวัด ด้วยเครื่องมือที่วัดได้ละเอียดถึง 0.5 มิลลิเมตร

สำหรับบัลลาสต์ที่ปิดหุ้มอย่างสนิทจนไม่มีระยะห่างในอากาศ เช่น โดยการบรรจุสารประกอบที่แข็งตัวเองให้เต็ม ไม่ต้องทดสอบตามข้อนี้

แผ่นฉนวนของแผงสำหรับวงจรพิมพ์ ไม่ต้องทดสอบตามข้อนี้

ระยะห่างตามพิวฉนวนของร่องใดๆ ซึ่งมีความกว้างน้อยกว่า 1 มิลลิเมตร ให้ถือความกว้างของร่องเป็นระยะห่างตามพิวฉนวน โดยไม่ต้องคำนึงถึงความลึกของร่องนั้น

ตารางที่ 2 ระยะห่างตามพิวฉนวนและระยะห่างในอากาศ

(ข้อ 4.5 ข้อ 7.5.1.1(1) และข้อ 7.5.1.1(3))

แรงดันไฟฟ้าใช้งาน	ไม่เกิน 34 โวลต์	เกิน 34 โวลต์ แต่ไม่เกิน 250 โวลต์	เกิน 250 โวลต์ แต่ไม่เกิน 500 โวลต์	เกิน 500 โวลต์ แต่ไม่เกิน 750 โวลต์	เกิน 750 โวลต์ แต่ไม่เกิน 1000 โวลต์
1. ระยะห่างตามพิวฉนวนและระยะห่างในอากาศ					
1.1 ระหว่างส่วนที่มีไฟฟ้าที่มีศักย์ต่างกัน	2	3(2)	4(2)	5(3)	6(4)
1.2 ระหว่างส่วนที่มีไฟฟ้ากับส่วนที่เป็นโลหะที่แตะถึงซึ่งยึดกับบัลลาสต์อย่างถาวรรวมทั้งหมุดเกลียวหรือเครื่องยึดฝาครอบหรือเครื่องยึดบัลลาสต์กับที่รองรับ	2	4(2)	5(3)	6(4)	6(4)
2. ระยะห่างในอากาศ					
2.1 ระหว่างส่วนที่มีไฟฟ้ากับผิวของรองรับที่มีลักษณะแบนหรือฝาครอบที่เป็นโลหะซึ่งถอดได้ (ถ้ามี) ในเมื่อไม่แน่ใจว่าการทำจะตามารดคงค่าในข้อ 1.2 ข้างต้นได้ในกรณีที่ให้ผลแล้วที่สุด	2	6	8	10	10

หมายเหตุ ค่าที่กำหนดในวงเล็บ ใช้กับกรณีที่มีการป้องกันฝุ่นหรือน้ำเป็นอย่างดี

เอกสารนี้เป็นเอกสารที่สงวนไว้สำหรับการใช้งานเพื่อการศึกษาเท่านั้น ไม่อนุญาตให้นำไปใช้ประโยชน์ด้านการค้าไม่ว่ากรณีใดๆ ทั้งสิ้น อีกทั้งห้ามมิให้ดัดแปลงเนื้อหาและต้องอ้างอิงถึงเจ้าของเอกสารทุกครั้งที่มีการนำไปใช้



ช่องว่างใดที่มีระยะห่างในอากาศน้อยกว่า 1 มิลลิเมตร ไม่ต้องนำมาใช้ ในการหาผลรวมของระยะห่างในอากาศ ถ้าระยะห่างตามผิวฉนวนหรือ ระยะห่างในอากาศ ระหว่างส่วนที่มีไฟฟ้ากับเปลือกนอกที่เป็นโลหะ มี ระยะน้อยกว่าที่ได้กำหนดไว้ในตารางที่ 2 ให้นำด้านในของเปลือกนอก ที่เป็นโลหะนั้นด้วยฉนวน

หมายเหตุ ระยะห่างตามผิวฉนวน ให้วัดตามผิวนอกของฉนวน

#### 4.6 การป้องกันการสัมผัสโดยบังเอิญกับส่วนที่มีไฟฟ้า

4.6.1 บัลลาสต์ติดภายใน ที่เชื่อถือไม่ได้ว่ามีการป้องกันไฟฟ้าช็อตเมื่อติดตั้ง ในการใช้งานปกติ จะต้องมี การป้องกันการสัมผัสโดยบังเอิญกับส่วนที่มี ไฟฟ้า การเคลือบด้วยแล็กเกอร์หรือสีเคลือบ ไม่ถือว่าเป็นการป้องกัน หรือเป็นฉนวนที่เพียงพอ

การทดสอบให้ปฏิบัติตามข้อ 7.3

4.6.2 ส่วนต่างๆ ที่ใช้ป้องกันการสัมผัสโดยบังเอิญ ต้องมีความแข็งแรงตาม กลเพียงพอ ไม่หลุดหลวมได้ง่ายในขณะที่ใช้งานตามปกติ และถอดไม่ ออกถ้าไม่ใช่เครื่องมือ

การทดสอบให้ปฏิบัติตามมาตรฐานผลิตภัณฑ์อุตสาหกรรม บัลลาสต์ สำหรับหลอดฟลูออเรสเซนต์ มาตรฐานเลขที่ มอก.23



4.6.3 บัลลาสต์ที่ตัวเก็บประจุซึ่งมีค่าความจุเกิน 0.5 ไมโครฟา รัดติดตั้งอยู่ด้วย เมื่อตัดแหล่งจ่ายที่มีแรงดันไฟฟ้าที่กำหนดของบัล ลาสต์แล้วเป็นเวลา 1 นาที แรงดันไฟฟ้าที่ขั้วต่อสายสัมผัสได้ด้วยนิ้ว ทดสอบ ต้องไม่เกิน 50 โวลต์

การทดสอบให้ปฏิบัติโดยการวัดด้วยโวลต์มิเตอร์ที่มีความแม่นยำที่ผิด พลาดไม่เกินร้อยละ 0.5 ของค่าเต็มสเกล

#### 4.7 การป้องกันไฟฟ้าช็อก

4.7.1 แรงดันไฟฟ้าที่วัดได้ขณะวงจรเปิด ที่ขั้วต่อสายของบัลลาสต์ด้านจ่าย ไฟฟ้าให้หลุด ทั้งที่มีและไม่มีตัวต้านทานแทนที่ใส่หลอด จะต้องไม่ เกิน 1500 โวลต์ (ค่ายอด)

- 4.7.2 แรงดันไฟฟ้าที่วัดได้ระหว่างขั้วต่อสายด้านจ่ายไฟฟ้าให้ลดลงกับสายกลางหรือกับดิน เมื่อต่อวงจรหรือเริ่มจุดหลอด ต้องลดลงเหลือน้อยกว่า 700 โวลต์ (ค่ายอด) ภายใน 5 วินาที ทั้งในภาวะปกติและผิดปกติ การทดสอบให้ปฏิบัติโดยการวัดด้วย โวลต์มิเตอร์ที่มีความแม่นยำที่ผิดพลาดไม่เกินร้อยละ 0.5 ของค่าเต็มสเกล
- 4.8 ความทนความชื้น ความต้านทานของฉนวน และความทนแรงดันไฟฟ้า
- 4.8.1 บัลลาสต์ต้องมีความทนความชื้น โดยเมื่อทดสอบตาม มอก.23 แล้ว ต้องไม่พบความเสียหายที่ปรากฏชัด
- 4.8.2 บัลลาสต์ต้องมีความต้านทานของฉนวนระหว่างขั้วต่อสายด้านไฟเข้า และขั้วต่อสายด้านไฟออกที่ต่อรวมกัน กับส่วนโลหะที่แตะถึงทั้งหมด ไม่น้อยกว่า 2 เมกะ โอห์ม การทดสอบให้ปฏิบัติตาม มอกก.23 โดยวัดระหว่างขั้วต่อสายด้านไฟเข้าและขั้วต่อสายด้านไฟออกที่ต่อรวมกันกับส่วนโลหะที่แตะถึงทั้งหมด
- 4.8.3 บัลลาสต์ต้องมีความทนแรงดันไฟฟ้า โดยเมื่อทดสอบตาม มอก.23 แล้ว ต้องไม่เกิดการวาบไฟตามผิวหรือเสียหายฉนวนปล้น
- 4.9 ภาวะผิดปกติ (abnormal condition)
- เมื่อทดสอบตามข้อ 7.4 ในภาวะผิดปกติที่แรงดันไฟฟ้าระหว่างร้อยละ 90 กับร้อยละ 110 ของแรงดันไฟฟ้าที่กำหนดของแหล่งจ่าย บัลลาสต์ ต้องไม่เสียหายในลักษณะที่ทำให้ความปลอดภัยลดลง โดยค่าความต้านทานของฉนวนต้องไม่ต่ำกว่า 2 เมกะ โอห์ม และไม่เกิดควัน
- 4.10 ภาวะผิดปกติพร้อม (fault condition)
- 4.10.1 ต้องออกแบบบัลลาสต์ให้ใช้งานในภาวะผิดปกติได้ โดยต้องไม่ติดไฟหรือเกิดก๊าซที่ติดไฟได้ และยังคงมีคุณลักษณะการป้องกันการสัมผัส โดยบังเอิญ การทดสอบให้ปฏิบัติตามข้อ 7.5

4.10.2 ในกรณีที่เป็นบัลลาสต์ติดภายในและมีสัญลักษณ์  ที่ขั้วต่อสาย สำหรับติดตั้งในดวง โคมซึ่งมีสัญลักษณ์  เมื่อทดสอบตามข้อ 7.5 อุณหภูมิที่ผิวนอกบัลลาสต์ที่อยู่ในภาวะเสถียร ต้องไม่เกิน 135 องศาเซลเซียส และเมื่ออุปกรณ์ป้องกันความร้อน (thermal protector) ต้องวงจรอีกครั้ง อุณหภูมิจะต้องไม่เกิน 110 องศาเซลเซียส

ในระหว่างวัฏจักรการทำงาน ของอุปกรณ์ป้องกันความร้อน อุณหภูมิที่ผิวนอกบัลลาสต์อาจเกิน 135 องศาเซลเซียสได้ แต่ระยะเวลาที่ยอมให้อุณหภูมิที่ผิวนอกบัลลาสต์ขึ้นถึงค่าสูงสุด ต้องไม่เกินเวลาที่กำหนดในตารางที่ 3

หมายเหตุ ความหมายของสัญลักษณ์  และสัญลักษณ์  ให้เป็นไปตาม IEC 82 และ IEC 598-1

ตารางที่ 3 ระยะเวลาที่ยอมให้อุณหภูมิที่ผิวนอกบัลลาสต์ขึ้นถึงค่าสูงสุด (ข้อ 10.4.2)

อุณหภูมิสูงสุดที่ผิวนอกบัลลาสต์ องศาเซลเซียส	ระยะเวลาที่ยอมให้อุณหภูมิที่ผิวนอกบัลลาสต์ขึ้นถึงค่าสูงสุด (เริ่มจาก 135 องศาเซลเซียส) นาที
เกิน 180	
175 ถึง 180	15
170 ถึง 175	20
165 ถึง 170	25
160 ถึง 165	30
155 ถึง 160	40
150 ถึง 155	50
145 ถึง 150	60
140 ถึง 145	90
135 ถึง 140	12

- 4.11 ส่วนที่มีไฟฟ้าและการต่อสาย
- 4.11.1 การต่อทางไฟฟ้า ต้องออกแบบให้แรงกดสัมผัสไม่ส่งผ่านไปยังวัสดุฉนวนที่ไม่ใช่เซรามิก หรือไมกา หรือวัสดุอื่นที่มีสมบัติเหมาะสม ทัดเทียมกัน เว้นแต่จะมีส่วนโลหะซึ่งมีความหยุ่นตัว(resilience) เพียงพอเพื่อชดเชยการหดตัวหรือการเสียรูปของวัสดุฉนวน
- การทดสอบให้ทำโดยการตรวจพินิจ
- 4.11.2 หมุนเกลียวหยาบ (spaced threaded screw) ต้องไม่ใช่สำหรับส่วนที่มีการต่อกระแสไฟฟ้า นอกจากใช้ส่วนที่มีไฟฟ้านั้นโดยตรง และมีวิธีการล็อกที่เหมาะสมเพื่อป้องกันการคลายตัวของหมุด
- หมุดเกลียวหยาบอาจใช้เพื่อการต่อลงดินได้ ถ้าไม่ถูกรบกวนในการใช้งานตามปกติ และต้องใช้หมุดเกลียวหยาบอย่างน้อย 2 ตัว ในการต่อแต่ละจุดเพื่อความปลอดภัย
- หมุดเกลียวปล้อย (thread-cutting screw) อาจใช้ต่อส่วนที่มีกระแสไฟฟ้าที่ต่อถึงกันได้ถ้าส่วนนั้นไม่เป็นโลหะ เช่น สังกะสี หรืออลูมิเนียม ซึ่งอ่อนหรือครากได้
- การทดสอบให้ทำโดยการตรวจพินิจ
- 4.11.3 หมุดเกลียวและหมุดยั่วที่ใช้ต่อทั้งทางไฟฟ้าและทางกล ต้องยึดแน่นเพื่อป้องกันการคลายตัว อาจใช้แหวนรองแบบสปริง (spring washer) เพื่อป้องกันการคลายตัวของหมุดเกลียว ส่วนหมุดยั่วอาจใช้หมุดยั่วที่มีก้านคอ (shank) ไม่กลมหรือมีร่องบาก (notch) เพื่อป้องกันการหลวม ส่วนที่มีต่อด้วยหมุดเกลียวที่ไม่ได้รับแรงบิดในการใช้งานตามปกติ อาจบิดผกด้วยสารบิดผกซึ่งอ่อนตัวเมื่อได้รับความร้อน เพื่อป้องกันการคลายตัวของหมุดเกลียว
- การทดสอบให้ทำโดยการตรวจพินิจและ/หรือด้วยมือ
- 4.11.4 ส่วนที่สีกกระแสไฟฟ้าไหลผ่านต้องทำด้วยทองแดง ถ้าเป็นโลหะเจือต้องมีทองแดงอย่างน้อยร้อยละ 50 หากเป็นโลหะอื่นต้องมีความทนทานต่อการกัดกร่อนและมีสมบัติทางกลเทียบเท่าโลหะดังกล่าว
- คุณลักษณะที่ต้องการนี้ไม่ใช้กับหมุดเกลียวที่ไม่เป็นส่วนนำกระแสไฟฟ้าที่สำคัญ เช่น หมุดเกลียวข้อต่อสาย
- การทดสอบให้ทำโดยการตรวจพินิจ และ/หรือการวิเคราะห์ทางเคมี

เอกสารนี้เป็นเอกสารที่สงวนไว้สำหรับการใช้งานเพื่อการศึกษาเท่านั้น ไม่อนุญาตให้นำไปใช้ประโยชน์ด้านการค้าไม่ว่ากรณีใดๆ ทั้งสิ้น อีกทั้งห้ามมิให้ดัดแปลงเนื้อหาและต้องอ้างอิงถึงเจ้าของเอกสารทุกครั้งที่มีการนำไปใช้

4.11.5 หมุดเกลียวและส่วนที่ต่อทางกลใดๆ ซึ่งหากชำรุดแล้วจะทำให้บัลลาสต์ไม่ปลอดภัย ต้องทนความเค้นทางกลซึ่งเกิดขึ้นในการใช้งานปกติได้

หมุดเกลียวที่ส่งแรงกดสัมผัสซึ่งมีขนาดเส้นผ่านศูนย์กลางระบุน้อยกว่า 3 มิลลิเมตร ต้องขันเข้าหากับโลหะ

การทดสอบให้ทำโดยการตรวจพินิจ และทดสอบตาม มอก.23 การส่งแรงกดสัมผัสของหมุดเกลียว

4.12 ความทนความร้อนและไฟ

4.12.1 ส่วนต่างๆที่ทำด้วยวัสดุฉนวนที่ใช้ยึดส่วนที่มีกระแสไฟฟ้าให้อยู่กับที่ ต้องทนความร้อนได้อย่างเพียงพอ

การทดสอบให้ปฏิบัติตามมาตรฐานผลิตภัณฑ์อุตสาหกรรม แผ่นอัดทองแดงสำหรับวงจรพิมพ์ : กระดาษเซลลูโลส - อีพอกไซค์เรซิ่น มาตรฐานเลขที่ มอก.704 ยกเว้นเซรามิก ไม่ต้องทดสอบ

4.12.2 ส่วนภายนอกที่ทำด้วยวัสดุฉนวนที่ใช้ป้องกันไฟฟ้าช็อกและส่วนต่างๆของวัสดุฉนวนที่ยึดส่วนที่มีไฟฟ้า ต้องทนไฟได้อย่างเพียงพอ

การทดสอบให้ปฏิบัติตาม IEC 695-1 ใช้วิธีทดสอบด้วยลวดความร้อน (glow wire) ที่อุณหภูมิ 650 องศาเซลเซียส โดยใช้บัลลาสต์ตัวอย่าง 1 ตัว ยกเว้นเซรามิก ไม่ต้องทดสอบ

ส่วนแผ่นอัดทองแดงสำหรับวงจรพิมพ์ไม่ต้องทดสอบตามข้อกำหนดนี้ แต่ให้ทดสอบการติดไฟตาม มอก.704

4.12.3 ส่วนต่างๆที่ทำด้วยวัสดุฉนวนที่ใช้ยึดส่วนที่มีไฟฟ้าให้อยู่กับที่ ต้องทนไฟได้

การทดสอบให้ปฏิบัติตาม IEC 695-2 โดยใช้วิธีทดสอบแบบเปลวไฟรูปเข็ม (needle flame) และมีข้อกำหนดการทดสอบตามข้อต่อไปนี้อยกเว้นเซรามิกไม่ต้องทดสอบ

(1) ตัวอย่างทดสอบต้องเป็นบัลลาสต์ที่สมบูรณ์ 1 ตัวอย่าง ถ้าจำเป็นต้องถอดชิ้นส่วนของบัลลาสต์เพื่อการทดสอบ ต้องแน่ใจว่าภาวะการทดสอบจะไม่แตกต่างตามภาวะการใช้งานตามปกติมากนักอย่างน้อยสำคัญ

- (2) การทดสอบเปลวไฟ (flame test) ให้จ่อเปลวไฟทดสอบที่ตรงกลางพื้นผิวทดสอบ
- (3) ระยะเวลาทดสอบ 10 วินาที
- (4) หลังจากเอาเปลวไฟทดสอบออกแล้ว เปลวไฟที่ติดวัสดุควมวต้องดับได้เองภายใน 30 วินาที ลูกไฟที่ตกบนกระดาษทิชชู ซึ่งวางซ้อนกัน 5 ชั้น และวางอยู่ใต้ตัวอย่างทดสอบ ต้องไม่ทำให้เกิดเผาไหม้ลุกลามไปตามแนวราบเป็นระยะเกิน 200 มิลลิเมตร

#### 4.13 การป้องกันสนิม

ส่วนที่เป็นเหล็ก ซึ่งเมื่อเกิดสนิมแล้วอาจเป็นสาเหตุให้บัลลาสต์ไม่ปลอดภัย ต้องมีการป้องกันการเป็นสนิมอย่างเพียงพอ การป้องกันสนิมของผิวนอกของบัลลาสต์ โดยการหาวารันิชถือว่าเพียงพอแล้ว การทดสอบทำโดยการตรวจพินิจ

### 5. เครื่องหมายและฉลาก

5.1 ที่บัลลาสต์ทุกตัว อย่างน้อยต้องมีเลข อักษร หรือเครื่องหมายแจ้งรายละเอียดต่อไปนี้ ให้เห็นได้ง่าย ชัดเจน และถาวร

- (1) แรงดันไฟฟ้าที่กำหนด
- (2) ใช้งานสูงสุดที่กำหนดของผิวนอกกระแสไฟฟ้าที่กำหนด และความถี่ที่กำหนด
- (3) กำลังไฟฟ้าที่กำหนด และถ้าจำเป็น ต้องแจ้งแบบของหลอดซึ่งเหมาะกับบัลลาสต์นั้นด้วย หากบัลลาสต์สามารถใช้กับหลอดได้หลายหลอด ต้องแจ้งจำนวนหลอดและกำลังไฟฟ้าของหลอดแต่ละหลอดด้วย
- (4) ระบุรุ่นที่ทำหรือเดือน ปีที่ทำ
- (5) แผนวงจรไฟฟ้า ที่แสดงตำแหน่งการต่อสายอย่างสมบูรณ์ในกรณีที่บัลลาสต์ไม่มีขั้วต่อสาย ต้องแสดงเครื่องหมายสำหรับการต่อสายให้เห็นชัดเจนในแผนวงจรไฟฟ้า
- (6) ถ้ามีขั้วต่อสายดิน ต้องมีสัญลักษณ์  $\perp$
- (7) อุณหภูมิของบัลลาสต์ (tc)

เอกสารนี้เป็นเอกสารที่สงวนไว้สำหรับการใช้งานเพื่อการศึกษาเท่านั้น ไม่อนุญาตให้นำไปใช้ประโยชน์ด้านการค้าไม่ว่ากรณีใดๆ ทั้งสิ้น อีกทั้งห้ามมิให้ดัดแปลงเนื้อหาและต้องอ้างอิงถึงเจ้าของเอกสารทุกครั้งที่มีการนำไปใช้

หมายเหตุ ให้ระบุตำแหน่งที่วัด ที่ตัวบัลลาสต์หรือแสดงไว้ใน เอกสารแนะนำของผู้ทำ

- (8) ระดับการป้องกันฝุ่นและน้ำ
  - (9) ชื่อผู้ทำหรือโรงงานที่ทำ หรือเครื่องหมายการค้าที่จดทะเบียน
  - (10) ประเทศที่ทำ
- 5.2 ผู้ทำผลิตภัณฑ์อุตสาหกรรมที่เป็นไปตามมาตรฐานนี้ จะแสดงเครื่องหมายมาตรฐานเฉพาะด้านความปลอดภัย กับผลิตภัณฑ์อุตสาหกรรมนั้นได้ ต่อเมื่อได้รับใบอนุญาตจากคณะกรรมการมาตรฐานผลิตภัณฑ์อุตสาหกรรมแล้ว

#### 6. การชักตัวอย่างและเกณฑ์การตัดสิน

- 6.1 รุ่น ในที่นี้ หมายถึง บัลลาสต์ที่ทำขึ้นในภาวะเดียวกัน ช่วงเวลาเดียวกัน และจากโรงงานเดียวกัน หรือที่ซื้อขายหรือส่งมอบในระยะเวลาเดียวกัน
- 6.2 การชักตัวอย่างและเกณฑ์ตัดสิน ให้เป็นไปตามแผนการชักตัวอย่างที่กำหนดต่อไปนี้ หรืออาจใช้แผนการชักตัวอย่างที่กำหนดต่อไปนี้ หรืออาจใช้แผนการชักตัวอย่างอื่นที่เทียบเท่ากันทางวิชาการกับแผนที่กำหนดไว้
- 6.2.1 การชักตัวอย่าง  
ให้ชักตัวอย่างโดยวิธีสุ่มจากรุ่นเดียวกัน 1 ตัว
  - 6.2.2 เกณฑ์ตัดสิน  
ตัวอย่างบัลลาสต์ต้องเป็นไปตามข้อ 4. ทุกรายการ จึงจะถือว่าบัลลาสต์รุ่นนั้น เป็นไปตามมาตรฐานผลิตภัณฑ์อุตสาหกรรมเฉพาะด้านความปลอดภัยนี้

## 7.การทดสอบ

## 7.1 ข้อกำหนดทั่วไป

## 7.1.1 ลำดับการทดสอบ

ให้ทดสอบบัลลาสต์ตัวอย่างตามลำดับรายการที่กำหนดดังนี้

- (1) ความคงทนของเครื่องหมาย
- (2) ขั้วต่อสาย
- (3) การต่อลงดิน
- (4) ระยะห่างตามผิวฉนวนและระยะห่างในอากาศ
- (5) การป้องกันการสัมผัสโดยบังเอิญกับส่วนที่มีไฟฟ้า
- (6) การป้องกันไฟฟ้าช็อก
- (7) ความทนความชื้น ความต้านทานของฉนวน และความทนแรงดันไฟฟ้า
- (8) ภาวะผิดปกติ

## 7.1.2 ภาวะทดสอบ

หากมิได้กำหนดไว้เป็นอย่างอื่น การทดสอบให้กระทำที่อุณหภูมิโดยรอบในช่วง 20 ถึง 40 องศาเซลเซียส

## 7.1.3 เครื่องวัดทางไฟฟ้า

ให้ใช้เครื่องวัดทางไฟฟ้า แรงดันไฟฟ้า และกระแสไฟฟ้าที่มีความคลาดเคลื่อนไม่เกินร้อยละ 0.5 ของค่าเต็มสเกล

## 7.2 การทดสอบความคงทนของเครื่องหมาย

ให้ทดสอบโดยใช้ผ้าชุ่มน้ำถูเครื่องหมายบนบัลลาสต์ตัวอย่างเบาๆ เป็นเวลา 15 วินาทีทิ้งไว้ให้แห้ง แล้วใช้ผ้าที่ชุ่มด้วยปิโตรเลียมสปิริต เช่น เฮกเซน ถูซ้ำเป็นเวลาอีก 15 วินาที

## 7.3 การทดสอบการป้องกันการสัมผัสโดยบังเอิญกับส่วนที่มีไฟฟ้าที่อาจก่อให้เกิดไฟฟ้าช็อก



- 7.3.1 ป้อนแรงดันไฟฟ้าที่กำหนดและเวลาที่กำหนดให้บัลลาสต์ วัตต์กระแสไฟฟ้าที่ไหลผ่านระหว่างส่วนที่กำหนดกับดิน โดยใช้วงจรทดสอบที่มีความต้านทานซึ่งไม่มีความเหนี่ยวนำ 2000 โอห์ม ถ้ามีกระแสไฟฟ้ามากกว่า 0.7 มิลลิแอมแปร์ (ค่ายอด) แล้วแต่ค่าใดจะน้อยกว่า ให้ใช้ค่านั้นเป็นค่าจำกัด
- 7.3.2 วัตต์แรงดันไฟฟ้าระหว่างส่วนที่ทดสอบกับส่วนที่แตะถึงได้ โดยใช้วงจรทดสอบที่มีความต้านทาน ซึ่งไม่มีความเหนี่ยวนำ 50000 โอห์ม ถ้าค่าของแรงดันไฟฟ้าสูงกว่า 34 โวลต์ (ค่ายอด) แสดงว่าส่วนที่ทดสอบนั้นเป็นส่วนที่มีไฟฟ้า

หมายเหตุ ในการทดสอบดังกล่าวข้างต้น ให้ต่อขั้วใดขั้วหนึ่งของแหล่งจ่ายไฟฟ้าลงดินเพื่อความปลอดภัย

- 7.4 การทดสอบภาวะผิดปกติ
- ให้ทดสอบทีละภาวะ ภาวะละ 1 ชั่วโมง ดังแสดงในข้อ (1) ถึง ข้อ (4) ในการทดสอบให้ติดตั้งใช้งานตามที่ผู้ทำระบุ
- (1) ไม่ได้ต่อหลอด หรือต่อหลอดไม่ครบทุกหลอด
  - (2) ใส่หลอดข้างใดข้างหนึ่งขาด
  - (3) หลอดไม่ติดสว่างถึงแม้ว่าวงจร ใส่หลอดเป็นปกติ แต่ใส่หลอดเสื่อมคุณภาพ
  - (4) หลอดติดสว่าง แต่ใส่หลอดข้างใดข้างหนึ่งขาดหรือเสื่อมคุณภาพ ทำให้มีปรากฏการณ์การเกิดกระแสตรง
  - (5) เกิดการลัดวงจรที่สตาร์ทเตอร์ (ถ้ามี)

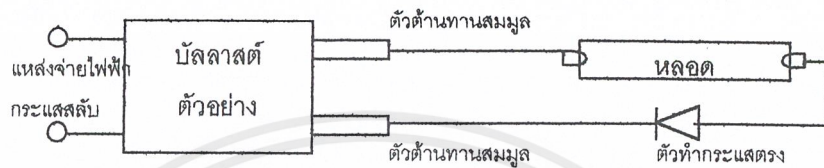
- 7.4.1 ในกรณีของการทดสอบกับหลอดที่เสื่อมคุณภาพ ให้ใช้ตัวต้านทานต่อแทนใส่หลอดแต่ละใส่ ค่าความต้านทาน (R) หาได้จากกระแสไฟฟ้าผ่านหลอดที่ระบุใน มอก.236 แล้วแทนค่าลงในสูตร

$$R = \frac{11.0}{2.1 I_n}$$

เมื่อ  $I_n$  คือกระแสไฟฟ้าผ่านหลอดที่ระบุ

หมายเหตุ ส่วนหลอดที่ไม่เป็นไปตาม มอก.236 ให้ใช้กระแสไฟฟ้าผ่านหลอดที่ระบุตามที่ผู้ทำกำหนด

7.4.2 ในการทดสอบปรากฏการณ์การเกิดกระแสตรง ให้ใช้วงจรดังตัวอย่าง  
 ในรูปที่ 1 ต่อหลอดเข้ากับจุดกึ่งกลางของตัวต้านทานสมมูลที่เหมาะสม  
 เลือกใช้ขั้วของตัวทำกระแสตรงที่ทำให้เกิดภาวะที่ไม่พึงประสงค์ที่สุด  
 ถ้าจำเป็นให้จุดหลอดด้วยอุปกรณ์จุดหลอดที่เหมาะสม



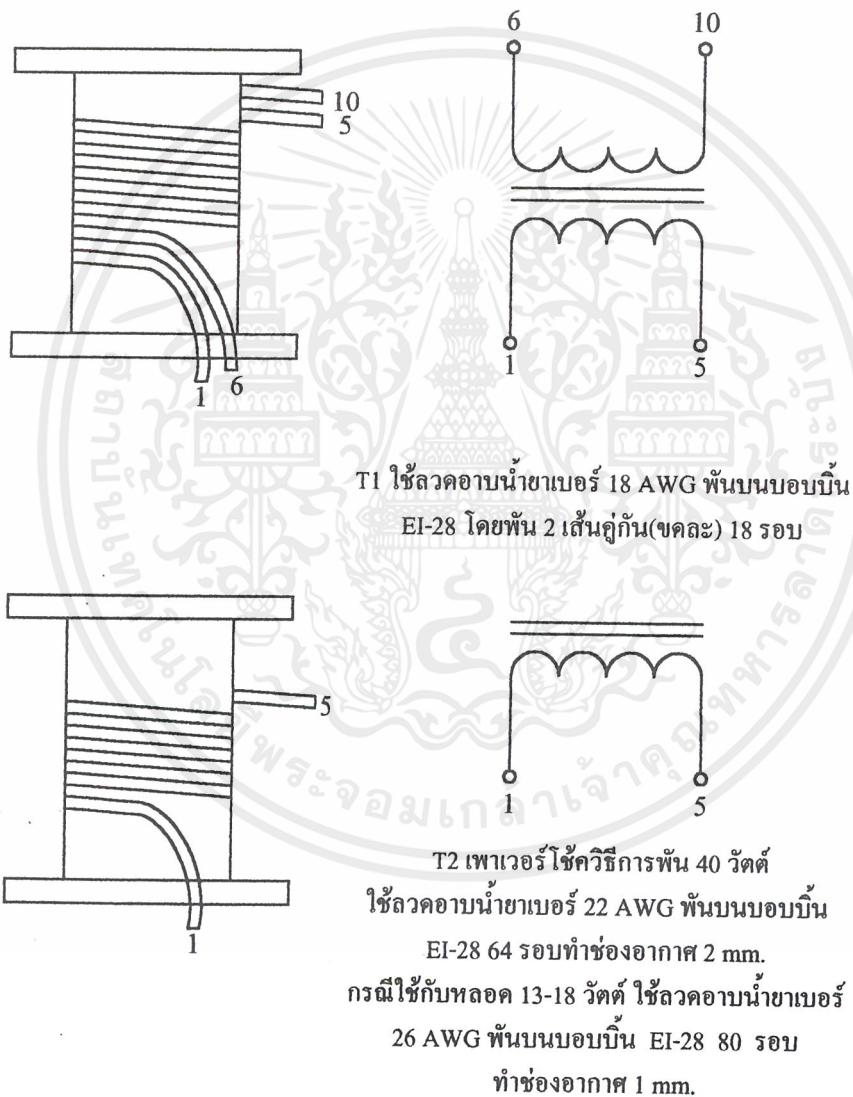
รูปที่ 1 ตัวอย่างวงจรทดสอบของปรากฏการณ์การเกิดกระแสตรง  
 (ข้อ 7.4.2)

คุณลักษณะของตัวทำกระแสตรงต้องเป็นดังนี้

- (1) แรงดันไฟฟ้าผกผันสูงสุด (peak inverse voltage) ไม่น้อยกว่า 3000 โวลต์
- (2) กระแสไฟรั่วผกผัน (reverse leakage current) ไม่เกิน 10 ไมโครแอมแปร์
- (3) กระแสไฟฟ้าไปหน้า (forward current) ไม่น้อยกว่า 3 เท่าของกระแสไฟฟ้าผ่านหลอดระบุ
- (4) เวลาแปรเปลี่ยน (transition time) ไม่เกิน 500 นาโนวินาที

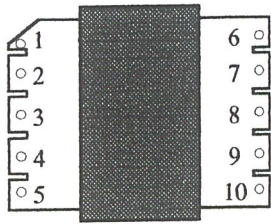
## การพันหม้อแปลง T1,T2

ชุดบอบบิ้นและแกนเฟอร์ไรต์ของหม้อแปลง T1 และ T2 เราใช้ขนาดเดียวกันคือขนาดมาตรฐาน EI-28 T1 ใช้ลวดเบอร์ 18 AWG พันลวด 2 ขดเรียงพร้อมกันไปจำนวน 18 รอบ ก่อนนำไปใช้งานควรวัดค่าขดทั้งสอง มีกระแสรั่วไหลถึงกันหรือเปล่า T2 กรณีใช้กับหลอด 40 วัตต์ ใช้ลวดอาบนํ้าเบอร์ 22 AWG พันเรียงเส้น 64 รอบทำช่องอากาศขนาด 2 มิลลิเมตร และกรณีใช้หลอดไฟ 13-18 วัตต์ ให้ใช้ลวดอาบนํ้าเบอร์ 26 AWG พันเรียงเส้น 80 รอบทำช่องอากาศ 1 มิลลิเมตร การสร้างให้ดูได้ดังรูปต่อไปนี้

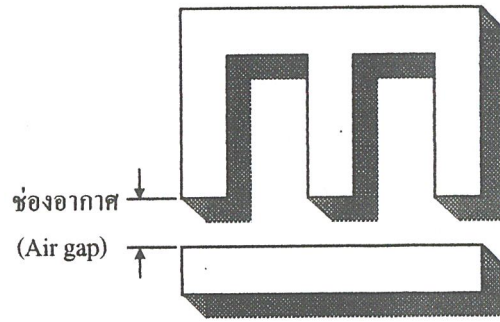


## วิธีการพันหม้อแปลง T1,T2

เอกสารนี้เป็นเอกสารที่สงวนไว้สำหรับการใช้งานเพื่อการศึกษาเท่านั้น ไม่อนุญาตให้นำไปใช้ประโยชน์ด้านการค้า ไม่ว่าจะกรณีใดๆ ทั้งสิ้น อีกทั้งห้ามมิให้ดัดแปลงเนื้อหาและต้องอ้างอิงถึงเจ้าของเอกสารทุกครั้งที่มีการนำไปใช้



การจัดขาด้านบนของบอบบี้ EI-28



### รูปร่างของบอบบี้ EI-28 และวิธีการทำช่องอากาศ



เอกสารนี้เป็นเอกสารที่สงวนไว้สำหรับการใช้งานเพื่อการศึกษาเท่านั้น ไม่อนุญาตให้นำไปใช้ประโยชน์ด้านการค้า  
ไม่ว่ากรณีใดๆ ทั้งสิ้น อีกทั้งห้ามมิให้ดัดแปลงเนื้อหาและต้องอ้างอิงถึงเจ้าของเอกสารทุกครั้งที่มีการนำไปใช้

## SELF-OSCILLATING HALF-BRIDGE DRIVER

### Features

- Floating channel designed for bootstrap operation Fully operational to +600V Tolerant to negative transient voltage dV/dt immune
- Undervoltage lockout
- Programmable oscillator frequency

$$f = \frac{1}{1.4 \times (R_T + 150\Omega) \times C_T}$$

- Matched propagation delay for both channels
- Micropower supply startup current of 125  $\mu$ A typ.
- Low side output in phase with  $R_T$

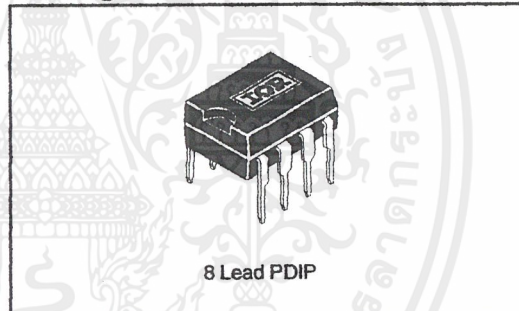
### Description

The IR2155 is a high voltage, high speed, self-oscillating power MOSFET and IGBT driver with both high and low side referenced output channels. Proprietary HVIC and latch immune CMOS technologies enable ruggedized monolithic construction. The front end features a programmable oscillator which is similar to the 555 timer. The output drivers feature a high pulse current buffer stage and an internal deadtime designed for minimum driver cross-conduction. Propagation delays for the two channels are matched to simplify use in 50% duty cycle applications. The floating channel can be used to drive an N-channel power

### Product Summary

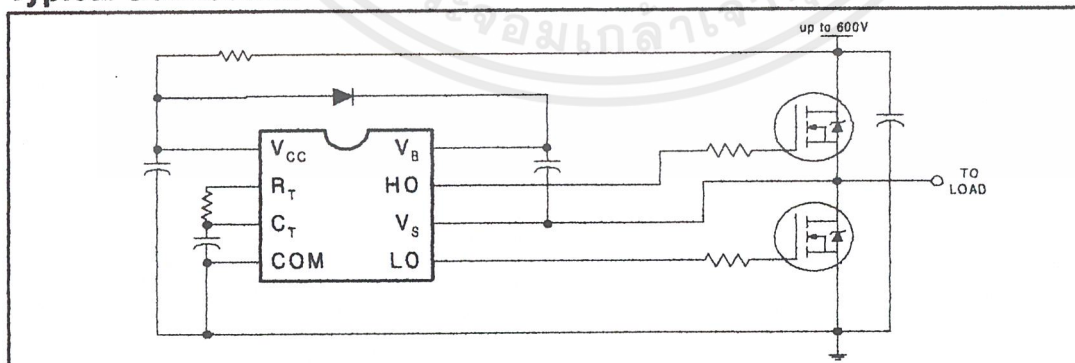
$V_{OFFSET}$	600V max.
Duty Cycle	50%
$I_{O+/-}$	210 mA / 420 mA
$V_{OUT}$	10 - 20V
Deadtime (typ.)	1.2 $\mu$ s

### Package



MOSFET or IGBT in the high side configuration that operates off a high voltage rail up to 600 volts.

### Typical Connection



## Absolute Maximum Ratings

Absolute Maximum Ratings indicate sustained limits beyond which damage to the device may occur. All voltage parameters are absolute voltages referenced to COM. The Thermal Resistance and Power Dissipation ratings are measured under board mounted and still air conditions.

Symbol	Parameter Definition	Value		Units	
		Min.	Max.		
V <sub>B</sub>	High Side Floating Supply Voltage	-0.3	625	V	
V <sub>S</sub>	High Side Floating Supply Offset Voltage	V <sub>B</sub> - 25	V <sub>B</sub> + 0.3		
V <sub>HO</sub>	High Side Floating Output Voltage	V <sub>S</sub> - 0.3	V <sub>B</sub> + 0.3		
V <sub>LO</sub>	Low Side Output Voltage	-0.3	V <sub>CC</sub> + 0.3		
V <sub>RT</sub>	R <sub>T</sub> Voltage	-0.3	V <sub>CC</sub> + 0.3		
V <sub>CT</sub>	C <sub>T</sub> Voltage	-0.3	V <sub>CC</sub> + 0.3		
I <sub>CC</sub>	Supply Current (Note 1)	—	25	mA	
I <sub>RT</sub>	R <sub>T</sub> Output Current	-5	5		
dV <sub>S</sub> /dt	Allowable Offset Supply Voltage Transient	—	50	V/ns	
P <sub>D</sub>	Package Power Dissipation @ T <sub>A</sub> ≤ +25°C	(8 Lead DIP)	—	1.0	W
		(8 Lead SOIC)	—	0.625	
R <sub>θJA</sub>	Thermal Resistance, Junction to Ambient	(8 Lead DIP)	—	125	°C/W
		(8 Lead SOIC)	—	200	
T <sub>J</sub>	Junction Temperature	—	150	°C	
T <sub>S</sub>	Storage Temperature	-55	150		
T <sub>L</sub>	Lead Temperature (Soldering, 10 seconds)	—	300		

## Recommended Operating Conditions

The Input/Output logic timing diagram is shown in Figure 1. For proper operation the device should be used within the recommended conditions. The V<sub>S</sub> offset rating is tested with all supplies biased at 15V differential.

Symbol	Parameter Definition	Value		Units
		Min.	Max.	
V <sub>B</sub>	High Side Floating Supply Absolute Voltage	V <sub>S</sub> + 10	V <sub>S</sub> + 20	V
V <sub>S</sub>	High Side Floating Supply Offset Voltage	—	600	
V <sub>HO</sub>	High Side Floating Output Voltage	V <sub>S</sub>	V <sub>B</sub>	
V <sub>LO</sub>	Low Side Output Voltage	0	V <sub>CC</sub>	
I <sub>CC</sub>	Supply Current (Note 1)	—	5	mA
T <sub>A</sub>	Ambient Temperature	-40	125	°C

Note 1: Because of the IR2155's application specificity toward off-line supply systems, this IC contains a zener clamp structure between the chip V<sub>CC</sub> and COM which has a nominal breakdown voltage of 15.6V. Therefore, the IC supply voltage is normally derived by forcing current into the supply lead (typically by means of a high value resistor connected between the chip V<sub>CC</sub> and the rectified line voltage and a local decoupling capacitor from V<sub>CC</sub> to COM) and allowing the internal zener clamp circuit to determine the nominal supply voltage. Therefore, this circuit should not be driven by a DC, low impedance power source of greater than V<sub>CLAMP</sub>.

**Dynamic Electrical Characteristics**

$V_{BIAS} (V_{CC}, V_{BS}) = 12V$ ,  $C_L = 1000 \text{ pF}$  and  $T_A = 25^\circ\text{C}$  unless otherwise specified.

Symbol	Parameter Definition	Value			Units	Test Conditions
		Min.	Typ.	Max.		
$t_r$	Turn-On Rise Time	—	80	120	ns	
$t_f$	Turn-Off Fall Time	—	40	70		
DT	Deadtime	0.50	1.20	2.25	$\mu\text{s}$	
D	$R_T$ Duty Cycle	48	50	52	%	

**Static Electrical Characteristics**

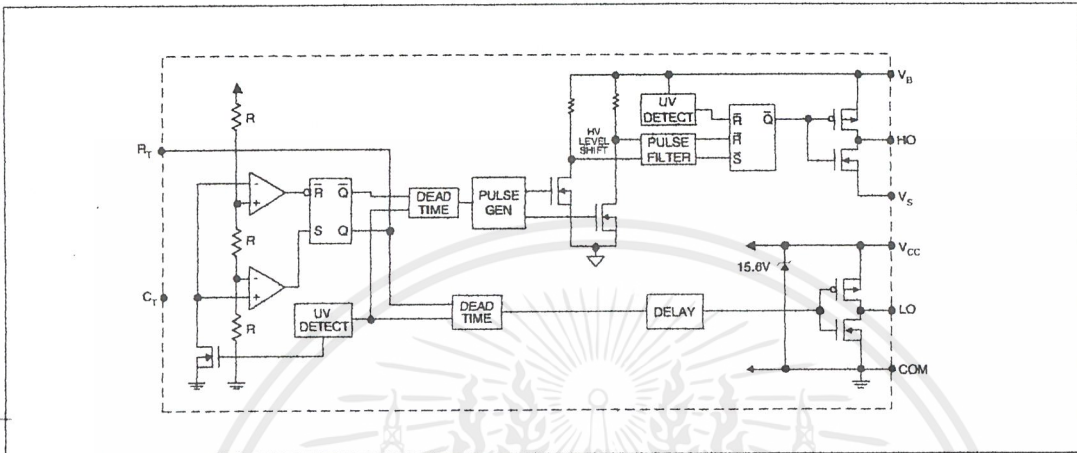
$V_{BIAS} (V_{CC}, V_{BS}) = 12V$ ,  $C_L = 1000 \text{ pF}$ ,  $C_T = 1 \text{ nF}$  and  $T_A = 25^\circ\text{C}$  unless otherwise specified. The  $V_{IN}$ ,  $V_{TH}$  and  $I_{IN}$  parameters are referenced to COM. The  $V_O$  and  $I_O$  parameters are referenced to COM and are applicable to the respective output leads: HO or LO.

Symbol	Parameter Definition	Value			Units	Test Conditions
		Min.	Typ.	Max.		
$f_{OSC}$	Oscillator Frequency	19.4	20.0	20.6	kHz	$R_T = 35.7 \text{ k}\Omega$
		94	100	106		$R_T = 7.04 \text{ k}\Omega$
$V_{CLAMP}$	$V_{CC}$ Zener Shunt Clamp Voltage	14.4	15.6	16.8	V	$I_{CC} = 5 \text{ mA}$
$V_{CT+}$	2/3 $V_{CC}$ Threshold	7.8	8.0	8.2		
$V_{CT-}$	1/3 $V_{CC}$ Threshold	3.8	4.0	4.2		
$V_{CTUV}$	$C_T$ Undervoltage Lockout	—	20	50	mV	$2.5V < V_{CC} < V_{CCUV}$
$V_{RT+}$	$R_T$ High Level Output Voltage, $V_{CC} - R_T$	—	0	100		$I_{RT} = -100 \mu\text{A}$
$V_{RT-}$	$R_T$ Low Level Output Voltage	—	20	50		$I_{RT} = -1 \text{ mA}$
		—	200	300		$I_{RT} = 100 \mu\text{A}$
$V_{RTUV}$	$R_T$ Undervoltage Lockout, $V_{CC} - R_T$	—	0	100		$I_{RT} = 1 \text{ mA}$
$V_{OH}$	High Level Output Voltage, $V_{BIAS} - V_O$	—	—	100		$2.5V < V_{CC} < V_{CCUV}$
$V_{OL}$	Low Level Output Voltage, $V_O$	—	—	100	$I_O = 0\text{A}$	
$I_{LK}$	Offset Supply Leakage Current	—	—	50	$\mu\text{A}$	$V_B = V_S = 600V$
$I_{QBS}$	Quiescent $V_{BS}$ Supply Current	—	70	150		
$I_{QBSUV}$	Micropower $V_{BS}$ Supply Startup Current	—	55	125		
$I_{QCC}$	Quiescent $V_{CC}$ Supply Current	—	500	1000		
$I_{QCCUV}$	Micropower $V_{CC}$ Supply Startup Current	—	70	150		
$I_{CT}$	$C_T$ Input Current	—	0.001	1.0		
$V_{BSUV+}$	$V_{BS}$ Supply Undervoltage Positive Going Threshold	7.7	8.4	9.2		V
$V_{BSUV-}$	$V_{BS}$ Supply Undervoltage Negative Going Threshold	7.3	8.1	8.9		
$V_{BSUVH}$	$V_{BS}$ Supply Undervoltage Lockout Hysteresis	100	400	—		mV
$V_{CCUV+}$	$V_{CC}$ Supply Undervoltage Positive Going Threshold	7.7	8.4	9.2		V
$V_{CCUV-}$	$V_{CC}$ Supply Undervoltage Negative Going Threshold	7.4	8.1	8.9		
$V_{CCUVH}$	$V_{CC}$ Supply Undervoltage Lockout Hysteresis	200	400	—	mV	
$I_{O+}$	Output High Short Circuit Pulsed Current	210	250	—	mA	$V_O = 0V$
$I_{O-}$	Output Low Short Circuit Pulsed Current	420	500	—		$V_O = 15V$

# IR2155

## Functional Block Diagram

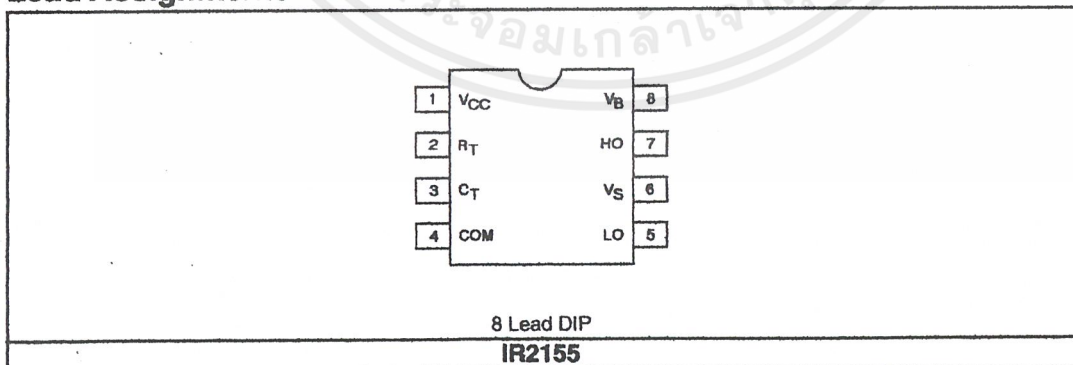
International  
**IR** Rectifier



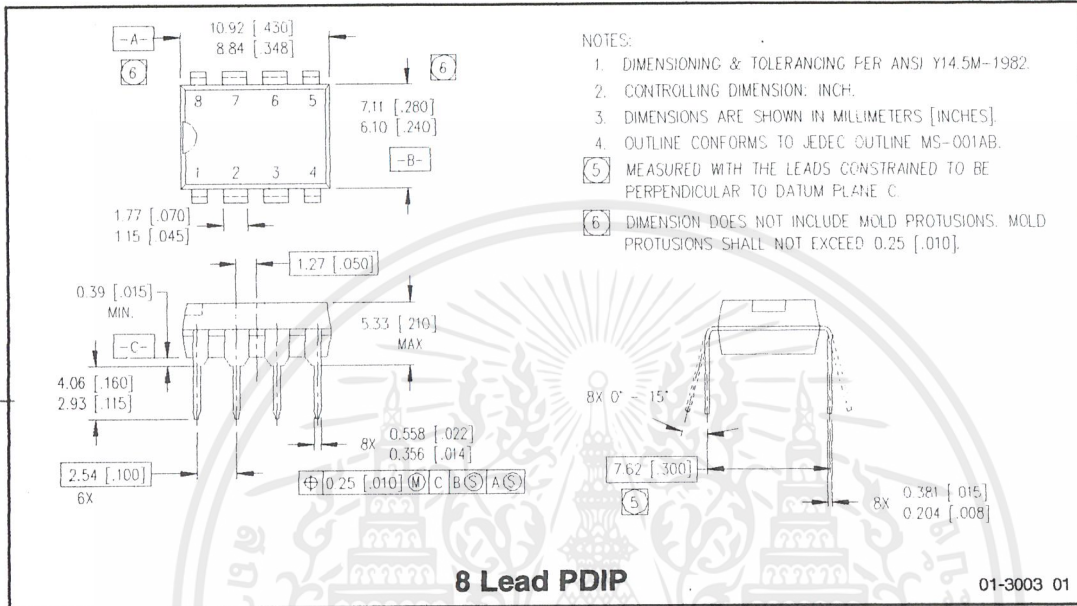
## Lead Definitions

Symbol	Lead Description
R <sub>T</sub>	Oscillator timing resistor input, in phase with LO for normal IC operation
C <sub>T</sub>	Oscillator timing capacitor input, the oscillator frequency according to the following equation: $f = \frac{1}{1.4 \times (R_T + 150\Omega) \times C_T}$ where 150Ω is the effective impedance of the R <sub>T</sub> output stage
V <sub>B</sub>	High side floating supply
HO	High side gate drive output
V <sub>S</sub>	High side floating supply return
V <sub>CC</sub>	Low side and logic fixed supply
LO	Low side gate drive output
COM	Low side return

## Lead Assignments







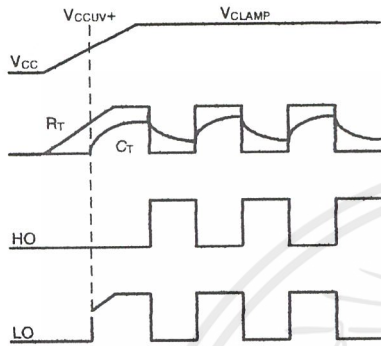


Figure 1. Input/Output Timing Diagram

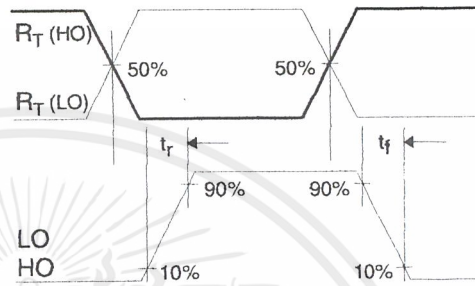


Figure 2. Switching Time Waveform Definitions

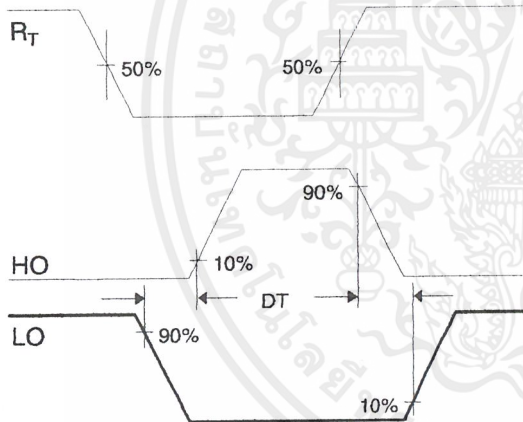


Figure 3. Deadtime Waveform Definitions

**3.3A, 400V, 1.800 Ohm, N-Channel Power MOSFET**

This N-Channel enhancement mode silicon gate power field effect transistor is an advanced power MOSFET designed, tested, and guaranteed to withstand a specified level of energy in the breakdown avalanche mode of operation. All of these power MOSFETs are designed for applications such as switching regulators, switching convertors, motor drivers, relay drivers, and drivers for high power bipolar switching transistors requiring high speed and low gate drive power. These types can be operated directly from integrated circuits.

Formerly developmental type TA17404.

**Ordering Information**

PART NUMBER	PACKAGE	BRAND
IRF720	TO-220AB	IRF720

NOTE: When ordering, use the entire part number.

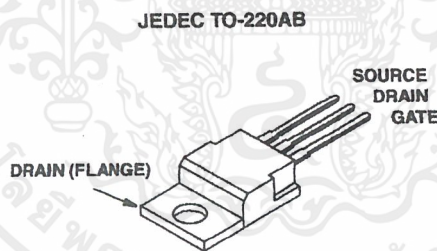
**Features**

- 3.3A, 400V
- $r_{DS(ON)} = 1.800\Omega$
- Single Pulse Avalanche Energy Rated
- SOA is Power Dissipation Limited
- Nanosecond Switching Speeds
- Linear Transfer Characteristics
- High Input Impedance
- Related Literature
  - TB334 "Guidelines for Soldering Surface Mount Components to PC Boards"

**Symbol**



**Packaging**



# IRF720

## Absolute Maximum Ratings $T_C = 25^\circ\text{C}$ , Unless Otherwise Specified

	IRF720	UNITS
Drain to Source Voltage (Note 1) . . . . .	400	V
Drain to Gate Voltage ( $R_{GS} = 20k\Omega$ ) (Note 1) . . . . .	400	V
Continuous Drain Current . . . . .	3.3	A
$T_C = 100^\circ\text{C}$ . . . . .	2.1	A
Pulsed Drain Current (Note 3) . . . . .	13	A
Gate to Source Voltage . . . . .	$\pm 20$	V
Maximum Power Dissipation . . . . .	50	W
Linear Derating Factor . . . . .	0.4	W/ $^\circ\text{C}$
Single Pulse Avalanche Energy Rating (Note 4) . . . . .	190	mJ
Operating and Storage Temperature . . . . .	-55 to 150	$^\circ\text{C}$
Maximum Temperature for Soldering		$^\circ\text{C}$
Leads at 0.063in (1.6mm) from Case for 10s. . . . .	300	$^\circ\text{C}$
Package Body for 10s, See Techbrief 334 . . . . .	260	$^\circ\text{C}$

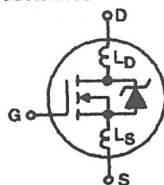
CAUTION: Stresses above those listed in "Absolute Maximum Ratings" may cause permanent damage to the device. This is a stress only rating and operation of the device at these or any other conditions above those indicated in the operational sections of this specification is not implied.

### NOTE:

1.  $T_J = 25^\circ\text{C}$  to  $125^\circ\text{C}$ .

## Electrical Specifications $T_C = 25^\circ\text{C}$ , Unless Otherwise Specified

PARAMETER	SYMBOL	TEST CONDITIONS	MIN	TYP	MAX	UNITS
Drain to Source Breakdown Voltage	$BV_{DSS}$	$I_D = 250\mu\text{A}$ , $V_{GS} = 0\text{V}$ , (Figure 10)	400	-	-	V
Gate Threshold Voltage	$V_{GS(TH)}$	$V_{DS} = V_{GS}$ , $I_D = 250\mu\text{A}$	2.0	-	4.0	V
Zero Gate Voltage Drain Current	$I_{DSS}$	$V_{DS} = \text{Rated } BV_{DSS}$ , $V_{GS} = 0\text{V}$	-	-	25	$\mu\text{A}$
		$V_{DS} = 0.8 \times \text{Rated } BV_{DSS}$ , $V_{GS} = 0\text{V}$ , $T_J = 125^\circ\text{C}$	-	-	250	$\mu\text{A}$
On-State Drain Current (Note 2)	$I_{D(ON)}$	$V_{DS} > I_{D(ON)} \times r_{DS(ON)MAX}$ , $V_{GS} = 10\text{V}$ (Figure 7)	3.3	-	-	A
Gate to Source Leakage Current	$I_{GSS}$	$V_{GS} = \pm 20\text{V}$	-	-	$\pm 100$	nA
Drain to Source On Resistance (Note 2)	$r_{DS(ON)}$	$I_D = 1.8\text{A}$ , $V_{GS} = 10\text{V}$ , (Figures 8, 9)	-	1.5	1.8	$\Omega$
Forward Transconductance (Note 2)	$g_{fs}$	$V_{DS} \geq 10\text{V}$ , $I_D = 2.0\text{A}$ , (Figure 12)	1.7	2.7	-	S
Turn-On Delay Time	$t_{d(ON)}$	$V_{DD} = 200\text{V}$ , $I_D = 3.3\text{A}$ , $R_{GS} = 18\Omega$ , $V_{GS} = 10\text{V}$ , $R_L = 59\Omega$ MOSFET Switching Times are Essentially Independent of Operating Temperature	-	10	15	ns
Rise Time	$t_r$		-	14	21	ns
Turn-Off Delay Time	$t_{d(OFF)}$		-	30	45	ns
Fall Time	$t_f$		-	13	20	ns
Total Gate Charge (Gate to Source + Gate to Drain)	$Q_{g(TOT)}$	$V_{GS} = 10\text{V}$ , $I_D = 3.3\text{A}$ , $V_{DS} = 0.8 \times \text{Rated } BV_{DSS}$ $I_{G(REF)} = 1.5\text{mA}$ , (Figure 14)	-	12	20	nC
Gate to Source Charge	$Q_{gs}$	Gate Charge is Essentially Independent of Operating Temperature	-	2.0	-	nC
Gate to Drain "Miller" Charge	$Q_{gd}$		-	6.0	-	nC
Input Capacitance	$C_{ISS}$	$V_{DS} = 25\text{V}$ , $V_{GS} = 0\text{V}$ , $f = 1\text{MHz}$ , (Figure 10)	-	360	-	pF
Output Capacitance	$C_{OSS}$		-	55	-	pF
Reverse Transfer Capacitance	$C_{RSS}$		-	20	-	pF
Internal Drain Inductance	$L_D$	Measured From the Contact Screw on Tab to Center of Die	-	3.5	-	nH
		Measured From the Drain Lead, 6mm (0.25in) From Package to Center of Die	-	4.5	-	nH
Internal Source Inductance	$L_S$	Measured From the Source Lead, 6mm (0.25in) from Header to Source Bonding Pad	-	7.5	-	nH
Thermal Resistance, Junction to Case	$R_{\theta JC}$		-	-	2.5	$^\circ\text{C/W}$
Thermal Resistance, Junction to Ambient	$R_{\theta JA}$	Free Air Operation	-	-	80	$^\circ\text{C/W}$



เอกสารนี้เป็นเอกสารที่สงวนไว้สำหรับการใช้งานเพื่อการศึกษาเท่านั้น ไม่อนุญาตให้นำไปใช้ประโยชน์ด้านการค้า  
ไม่ว่ากรณีใดๆ ทั้งสิ้น อีกทั้งห้ามมิให้ดัดแปลงเนื้อหาและต้องอ้างอิงถึงเจ้าของเอกสารทุกครั้งที่มีการนำไปใช้

# IRF720

## Source to Drain Diode Specifications

PARAMETER	SYMBOL	TEST CONDITIONS	MIN	TYP	MAX	UNITS
Continuous Source to Drain Current	$I_{SD}$	Modified MOSFET Symbol Showing the Integral Reverse P-N Junction Rectifier	-	-	3.3	A
Pulse Source to Drain Current (Note 3)	$I_{SDM}$		-	-	13	A
Source to Drain Diode Voltage (Note 2)	$V_{SD}$	$T_J = 25^\circ\text{C}$ , $I_{SD} = 3.3\text{A}$ , $V_{GS} = 0\text{V}$ , (Figure 13)	-	-	1.6	V
Reverse Recovery Time	$t_{rr}$	$T_J = 25^\circ\text{C}$ , $I_{SD} = 3.3\text{A}$ , $dI_{SD}/dt = 100\text{A}/\mu\text{s}$	120	-	600	ns
Reverse Recovery Charge	$Q_{RR}$	$T_J = 25^\circ\text{C}$ , $I_{SD} = 3.3\text{A}$ , $dI_{SD}/dt = 100\text{A}/\mu\text{s}$	0.64	-	3.0	$\mu\text{C}$

### NOTES:

- Pulse test: pulse width  $\leq 300\mu\text{s}$ , duty cycle  $\leq 2\%$ .
- Repetitive rating: pulse width limited by maximum junction temperature. See Transient Thermal Impedance curve (Figure 3).
- $V_{DD} = 50\text{V}$ , starting  $T_J = 25^\circ\text{C}$ ,  $L = 31\mu\text{H}$ ,  $R_{GS} = 25\Omega$ , peak  $I_{AS} = 3.3\text{A}$ .

## Typical Performance Curves Unless Otherwise Specified

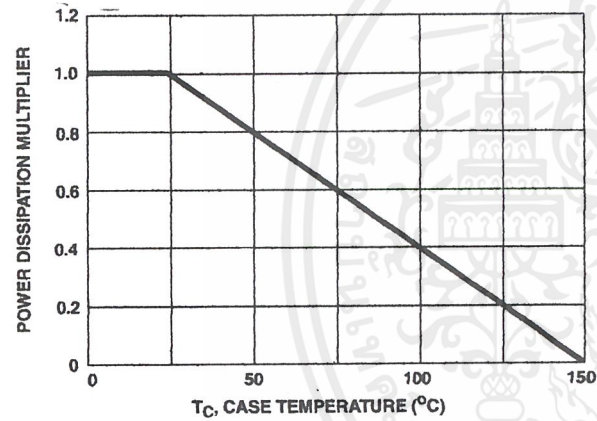


FIGURE 1. NORMALIZED POWER DISSIPATION vs CASE TEMPERATURE

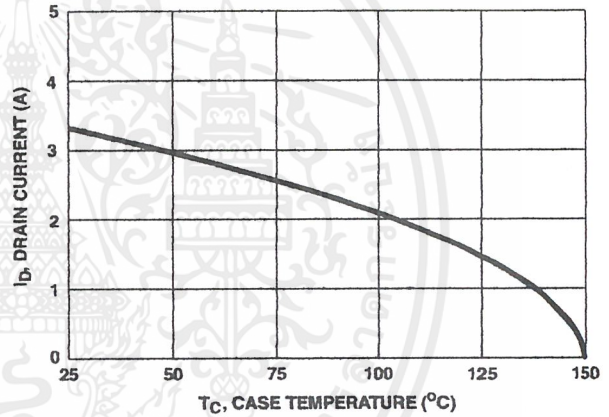


FIGURE 2. MAXIMUM CONTINUOUS DRAIN CURRENT vs CASE TEMPERATURE

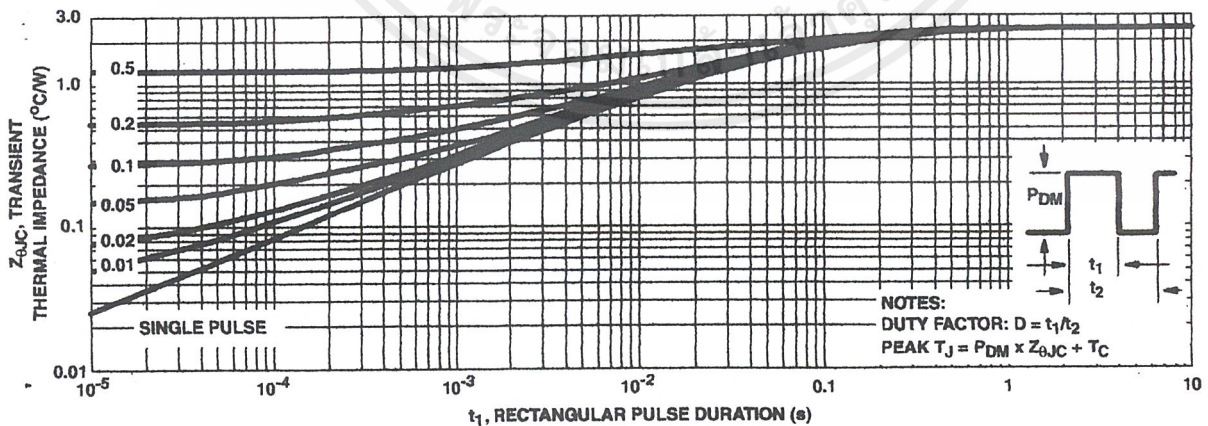


FIGURE 3. MAXIMUM TRANSIENT THERMAL IMPEDANCE

Typical Performance Curves Unless Otherwise Specified (Continued)

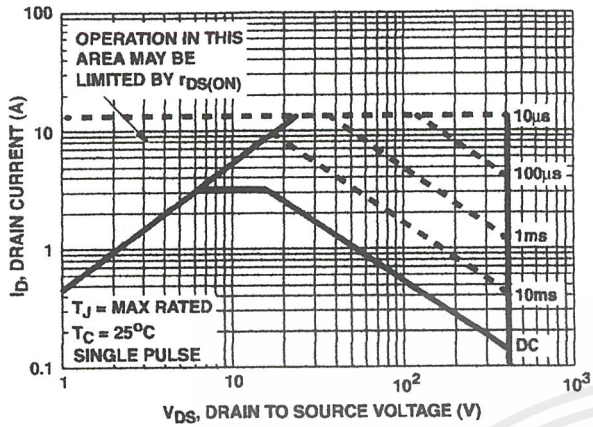


FIGURE 4. FORWARD BIAS SAFE OPERATING AREA

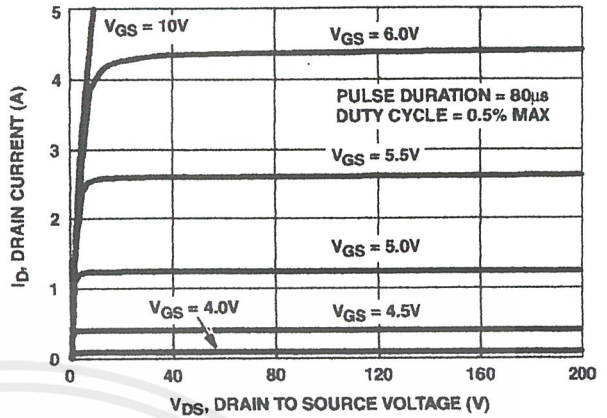


FIGURE 5. OUTPUT CHARACTERISTICS

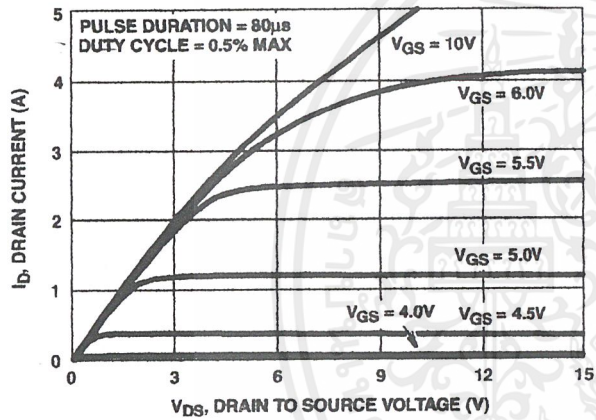


FIGURE 6. SATURATION CHARACTERISTICS

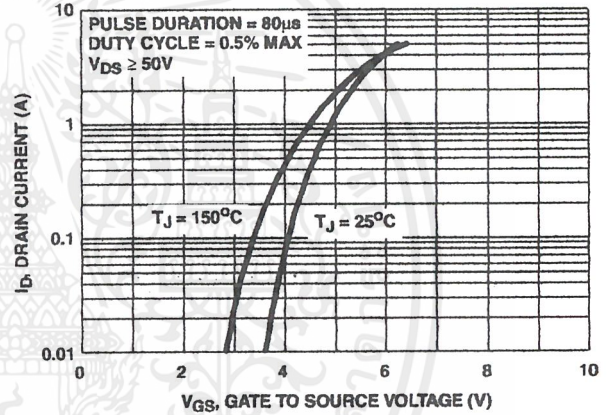


FIGURE 7. TRANSFER CHARACTERISTICS

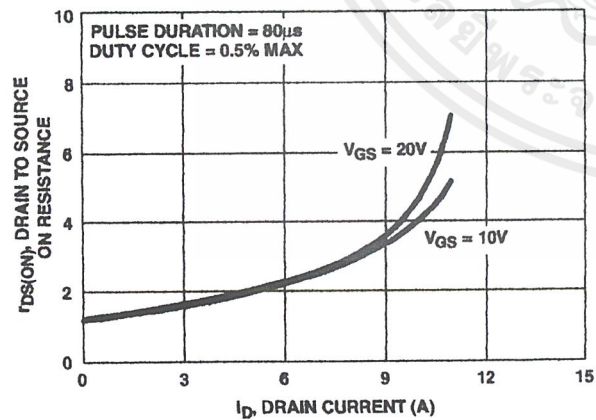


FIGURE 8. DRAIN TO SOURCE ON RESISTANCE vs GATE VOLTAGE AND DRAIN CURRENT

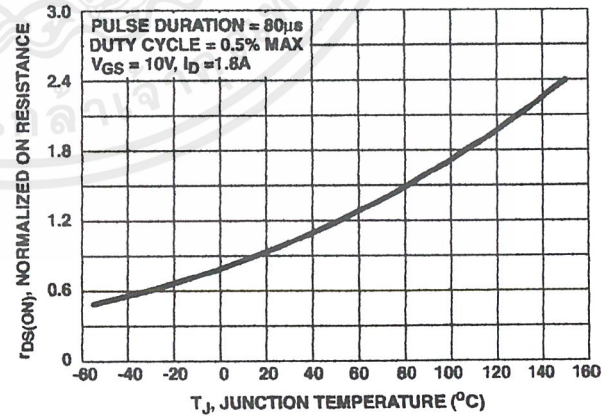


FIGURE 9. NORMALIZED DRAIN TO SOURCE ON RESISTANCE vs JUNCTION TEMPERATURE

Typical Performance Curves Unless Otherwise Specified (Continued)

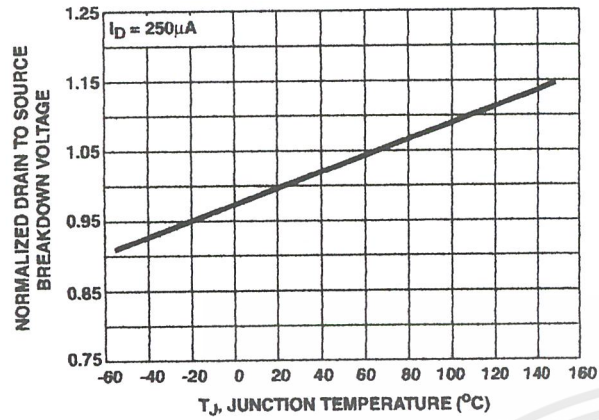


FIGURE 10. NORMALIZED DRAIN TO SOURCE BREAKDOWN VOLTAGE vs JUNCTION TEMPERATURE

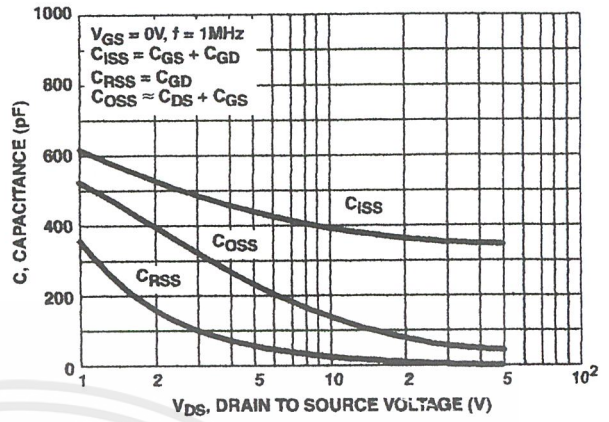


FIGURE 11. CAPACITANCE vs DRAIN TO SOURCE VOLTAGE

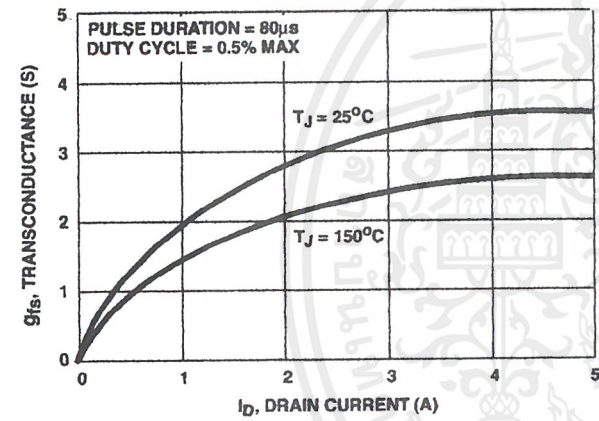


FIGURE 12. TRANSCONDUCTANCE vs DRAIN CURRENT

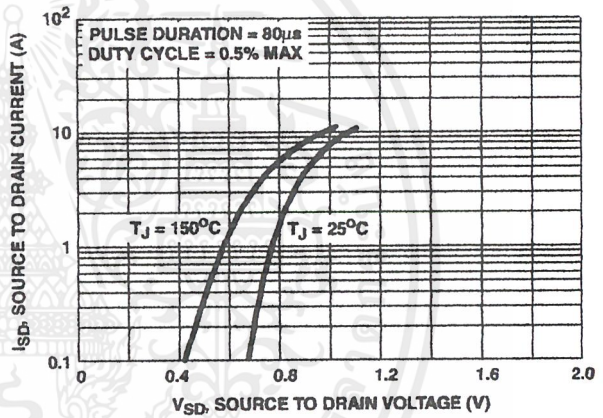


FIGURE 13. SOURCE TO DRAIN DIODE VOLTAGE

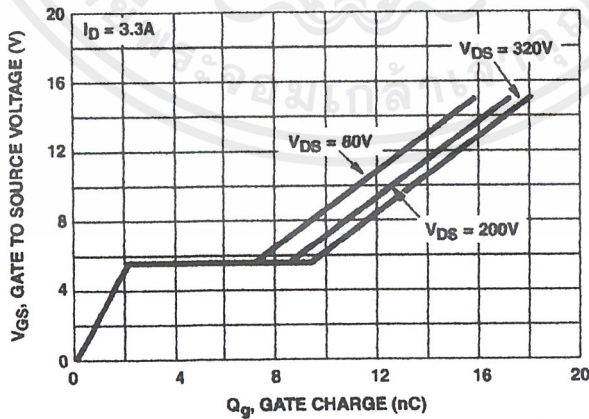


FIGURE 14. GATE TO SOURCE VOLTAGE vs GATE CHARGE

Test Circuits and Waveforms

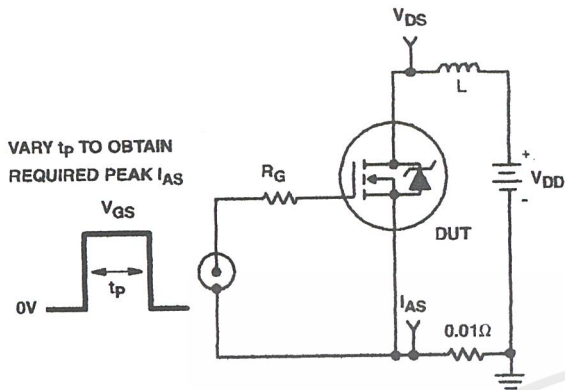


FIGURE 15. UNCLAMPED ENERGY TEST CIRCUIT

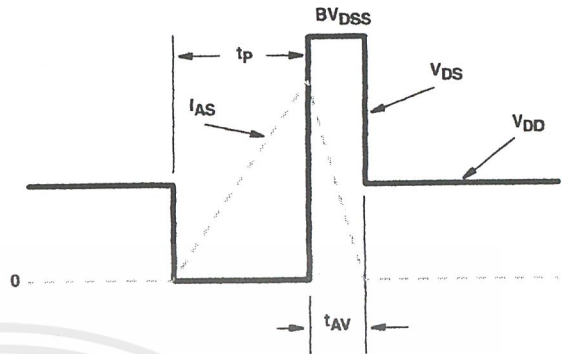


FIGURE 16. UNCLAMPED ENERGY WAVEFORMS

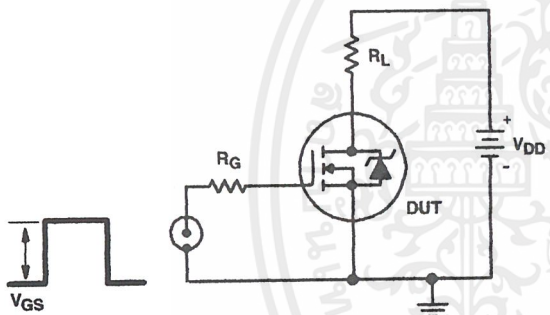


FIGURE 17. SWITCHING TIME TEST CIRCUIT

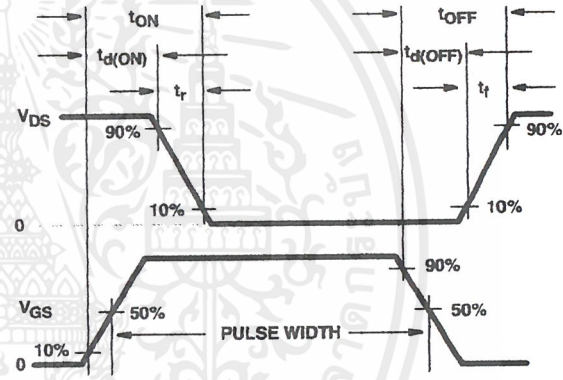


FIGURE 18. RESISTIVE SWITCHING WAVEFORMS

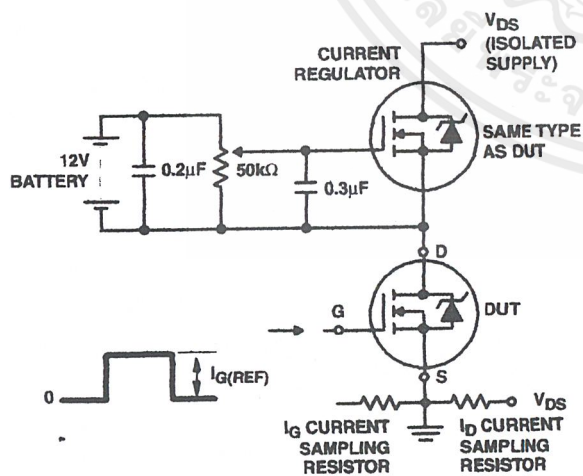


FIGURE 19. GATE CHARGE TEST CIRCUIT

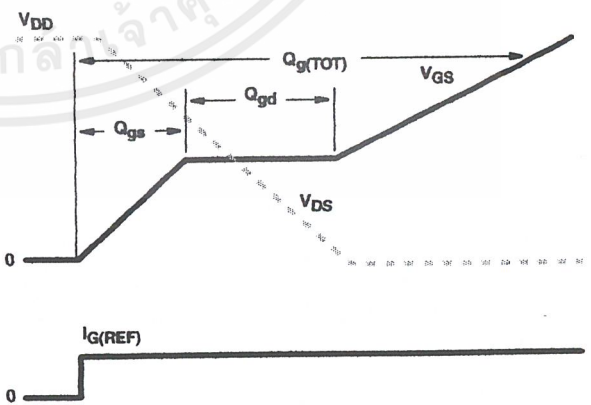


FIGURE 20. GATE CHARGE WAVEFORMS





All Intersil semiconductor products are manufactured, assembled and tested under ISO9000 quality systems certification.

*Intersil semiconductor products are sold by description only. Intersil Corporation reserves the right to make changes in circuit design and/or specifications at any time without notice. Accordingly, the reader is cautioned to verify that data sheets are current before placing orders. Information furnished by Intersil is believed to be accurate and reliable. However, no responsibility is assumed by Intersil or its subsidiaries for its use; nor for any infringements of patents or other rights of third parties which may result from its use. No license is granted by implication or otherwise under any patent or patent rights of Intersil or its subsidiaries.*

For information regarding Intersil Corporation and its products, see web site <http://www.intersil.com>

### Sales Office Headquarters

#### NORTH AMERICA

Intersil Corporation  
P. O. Box 883, Mail Stop 53-204  
Melbourne, FL 32902  
TEL: (407) 724-7000  
FAX: (407) 724-7240

#### EUROPE

Intersil SA  
Mercure Center  
100, Rue de la Fusee  
1130 Brussels, Belgium  
TEL: (32) 2.724.2111  
FAX: (32) 2.724.22.05

#### ASIA

Intersil (Taiwan) Ltd.  
7F-6, No. 101 Fu Hsing North Road  
Taipei, Taiwan  
Republic of China  
TEL: (886) 2 2716 9310  
FAX: (886) 2 2715 3029



# 11DF AND 31DF SERIES

## 1 Amp and 3 Amp Fast Recovery Rectifiers

### Major Ratings and Characteristics

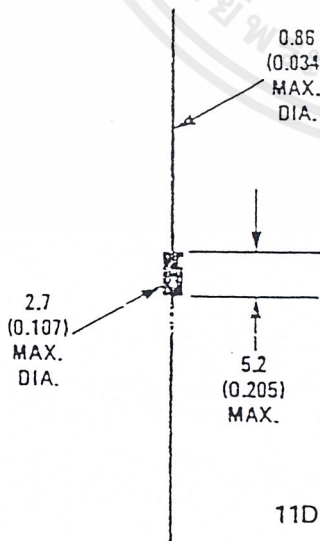
	11DF1 11DF2	11DF3 11DF4	31DF1 31DF2	31DF3 31DF4	Units
$I_O$	1.0		3.0		A
$I_{FSM}$	@ 50 Hz	30	60		A
	@ 60 Hz	31.4	62.8		
$I_{2T}$	@ 50 Hz	4.5	18		A <sup>2</sup> s
	@ 60 Hz	4.1	16.4		
$t_{rr}$	35	30	35	30	nS
$T_J$ Range	-40 ~ +150		-40 ~ +150		°C
$V_{RRM}$ Range	100 & 200	300 & 400	100 & 200	300 & 400	V

### Description/Features

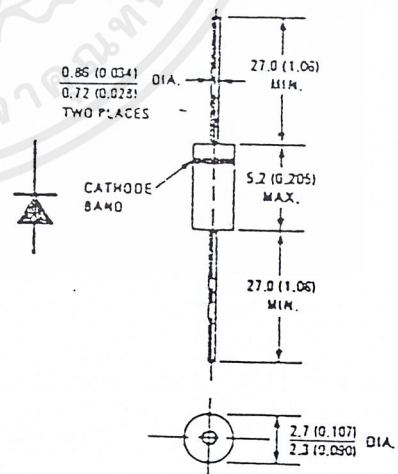
The 11DF and 31DF series of fast recovery rectifiers are rated at 1 amp and 3 amps, respectively. They are designed for use in switching power supplies, inverters and as free-wheeling diodes.

- Ultrafast 30 and 35 nanosecond recovery times at rated  $I_{FM}$
- Glass passivated junction
- Low forward voltage
- High voltage capability, to 400 volts
- Available taped and reeled

### CASE STYLE AND DIMENSIONS



11DF Series



Case Style DO-204AL (DO-41), 11DF Series  
Dimensions in Millimeters and (Inches)  
Refer to the Last Page For 31DF Case Style.

VOLTAGE RATINGS

Part Numbers		$V_{RRM}$ - Max. Repetitive Peak Reverse Voltage (V)	$V_{RSM}$ - Max. Non-Repetitive Peak Reverse Voltage (V)
11DF1	31DF1	100	110
11DF2	31DF2	200	220
11DF3	31DF3	300	330
11DF4	31DF4	400	440

ELECTRICAL SPECIFICATIONS

		11DF1 11DF2	11DF3 11DF4	31DF1 31DF2	31DF3 31DF4	Units	Conditions
I <sub>O</sub>	Max. average output current, 180° conduction sinusoidal waveform	1.0	$T_a = 27^\circ\text{C}$	1.0	$T_a = 18^\circ\text{C}$	A	Without Fin or P.C. Board
		1.0	$T_a = 63^\circ\text{C}$	1.0	$T_a = 57^\circ\text{C}$		With P.C. Board
I <sub>FSM</sub>	Max. peak one cycle, non-repetitive surge current,	30		60		A	50 Hz half cycle sine wave or 5 ms rectangular pulse
		31.4		62.8			60 Hz half cycle sine wave or 5 ms rectangular pulse
I <sub>ft</sub>	Max. $I^2t$ for fusing,	4.5		18		A <sup>2</sup> S	t = 10 ms
		4.1		16.4			t = 8.3 ms
V <sub>FM</sub>	Max. peak forward voltage	0.98	1.25	0.98	1.25	V	$T_a = 25^\circ\text{C}$ $I_F = 1\text{A}$ for 11DF $I_F = 3\text{A}$ for 31DF
I <sub>RM</sub>	Max. peak reverse current	10	20	10	20	μA	$V_R = V_{RRM}$ $T_a = 25^\circ\text{C}$
t <sub>rr</sub>	Max. reverse recovery time	35	30	35	30	ns	$T_a = 25^\circ\text{C}$ For 11DF Series: $I_{FM} = 1\text{A}$ For 31DF Series: $I_{FM} = 3\text{A}$ $di/dt = 50\text{ A}/\mu\text{s}$

HERMAL-MECHANICAL SPECIFICATIONS

T <sub>J</sub>	Max. operating junction temperature range	-40 ~ +150		°C	
T <sub>stg</sub>	Storage temperature range	-40 ~ +150		°C	
R <sub>thJA</sub>	Max. thermal resistance, dc	115	80	deg. C/W	Without Fin or P.C. Board
		81	34		With Fin.
wt	Approximate weight	0.33 (0.012)	1.2 (0.042)	g/oz.	
	Case Style	DO-204AL (DO-41)	C-16		

เอกสารนี้เป็นเอกสารที่สงวนไว้สำหรับการใช้งานเพื่อการศึกษาเท่านั้น ไม่อนุญาตให้นำไปใช้ประโยชน์ด้านการค้า  
ไม่ว่ากรณีใดๆ ทั้งสิ้น อีกทั้งห้ามมิให้ดัดแปลงเนื้อหาและต้องอ้างอิงถึงเจ้าของเอกสารทุกครั้งที่มีการนำไปใช้

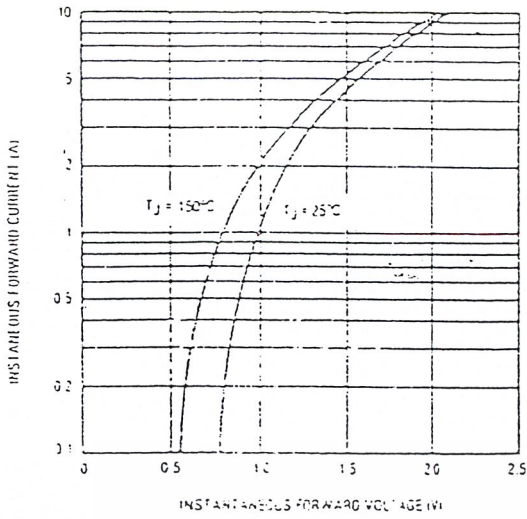


Fig. 1 — Forward Voltage Vs. Forward Current

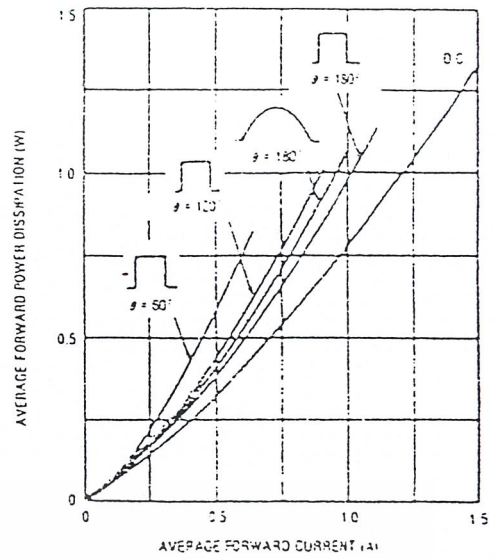


Fig. 2 — Average Forward Power Dissipation Vs. Average Forward Current

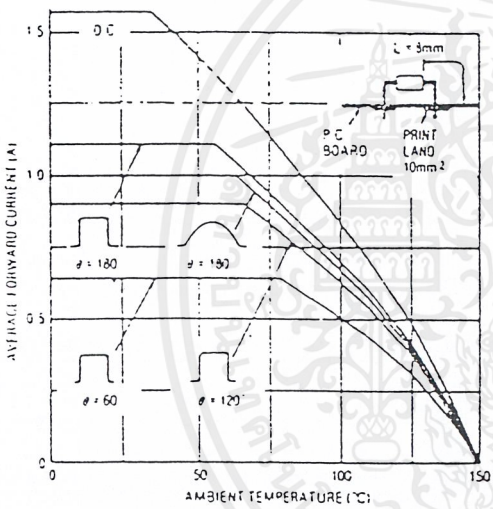


Fig. 3 — Average Forward Current Vs. Ambient Temperature

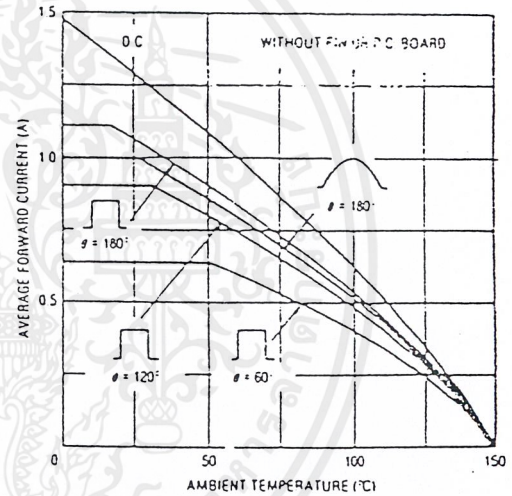


Fig. 4 — Average Forward Current Vs. Ambient Temperature

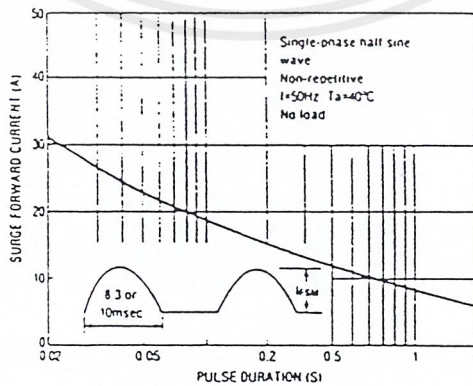


Fig. 5 — Surge Current Ratings

เอกสารนี้เป็นเอกสารที่สงวนไว้สำหรับการใช้งานเพื่อการศึกษาเท่านั้น ไม่อนุญาตให้นำไปใช้ประโยชน์ด้านการค้า  
ไม่ว่ากรณีใดๆ ทั้งสิ้น อีกทั้งห้ามมิให้ดัดแปลงเนื้อหาและต้องอ้างอิงถึงเจ้าของเอกสารทุกครั้งที่มีการนำไปใช้

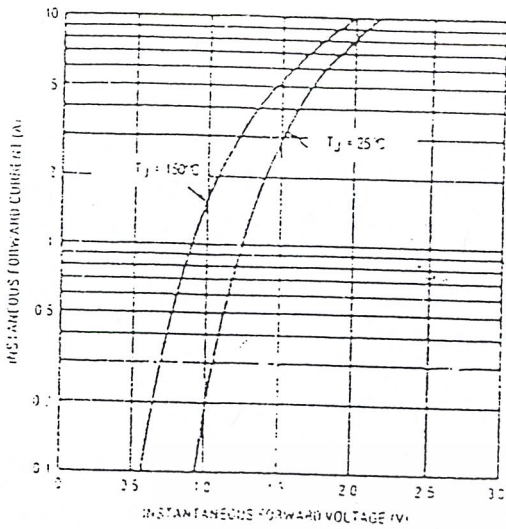


Fig. 6 — Forward Voltage Vs. Forward Current

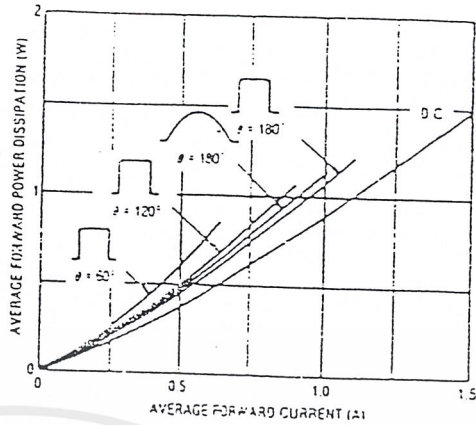


Fig. 7 — Average Forward Power Dissipation Vs. Average Forward Current

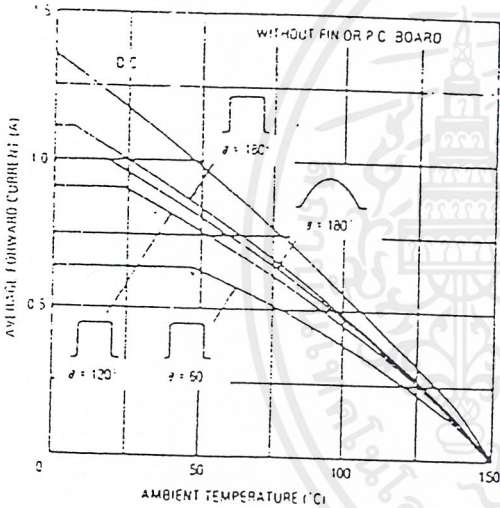


Fig. 8 — Average Forward Current Vs. Ambient Temperature

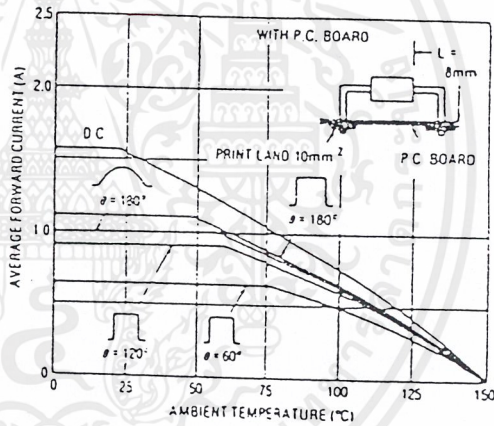


Fig. 9 — Average Forward Current Vs. Ambient Temperature

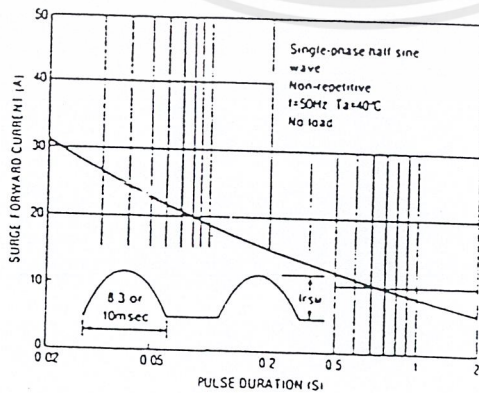


Fig. 10 — Surge Current Ratings

เอกสารนี้เป็นเอกสารที่สงวนไว้สำหรับการใช้งานเพื่อการศึกษาเท่านั้น ไม่อนุญาตให้นำไปใช้ประโยชน์ด้านการค้า  
ไม่ว่ากรณีใดๆ ทั้งสิ้น อีกทั้งห้ามมิให้ดัดแปลงเนื้อหาและต้องอ้างอิงถึงเจ้าของเอกสารทุกครั้งที่มีการนำไปใช้

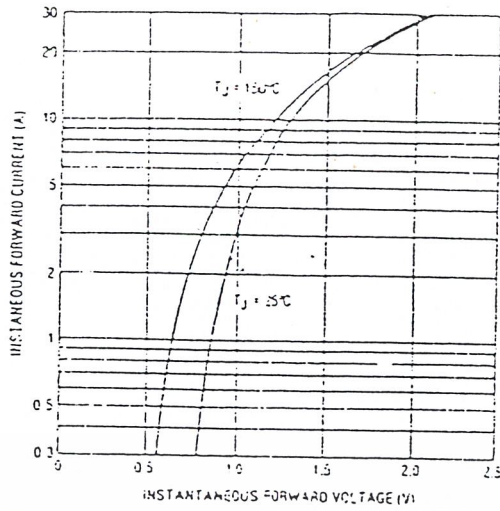


Fig. 11 — Forward Voltage Vs. Forward Current

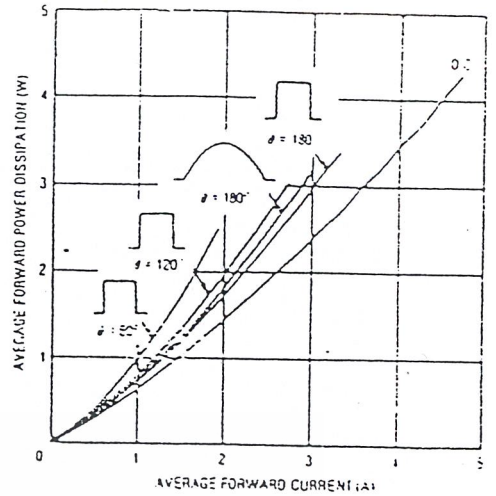


Fig. 12 — Average Forward Power Dissipation Vs. Average Forward Current

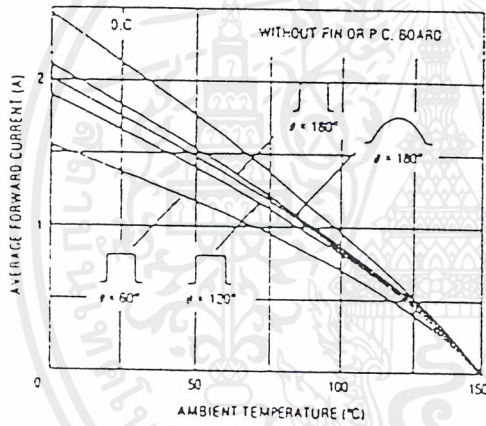


Fig. 13 — Average Forward Current Vs. Ambient Temperature

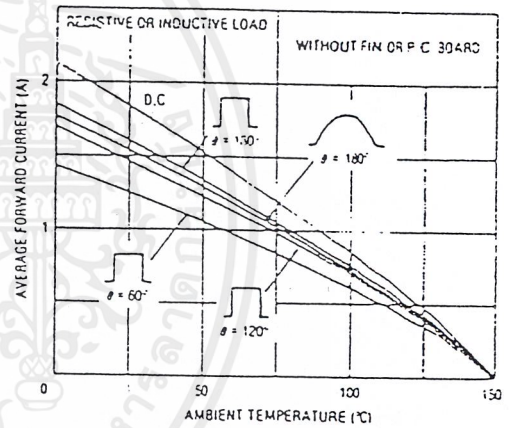


Fig. 14 — Average Forward Current Vs. Ambient Temperature

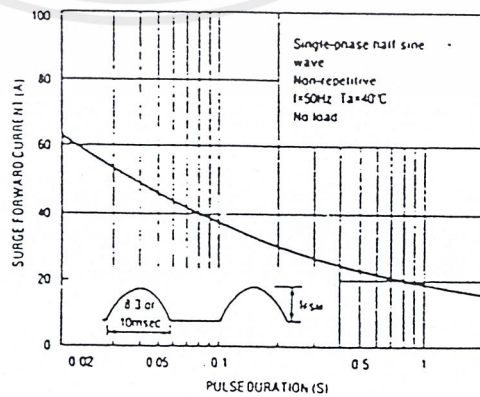


Fig. 15 — Surge Current Ratings

เอกสารนี้เป็นเอกสารที่สงวนไว้สำหรับการใช้งานเพื่อการศึกษาเท่านั้น ไม่อนุญาตให้นำไปใช้ประโยชน์ด้านการค้า  
ไม่ว่ากรณีใดๆ ทั้งสิ้น อีกทั้งห้ามมิให้ดัดแปลงเนื้อหาและต้องอ้างอิงถึงเจ้าของเอกสารทุกครั้งที่มีการนำไปใช้

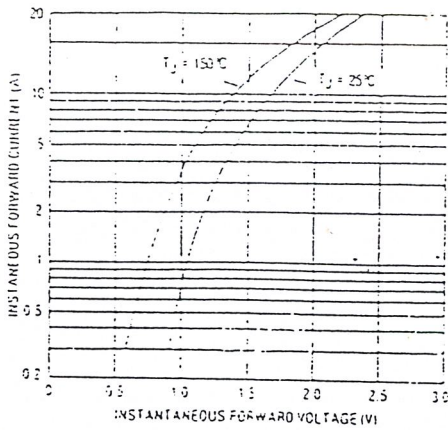


Fig. 16 — Forward Voltage Vs. Forward Current

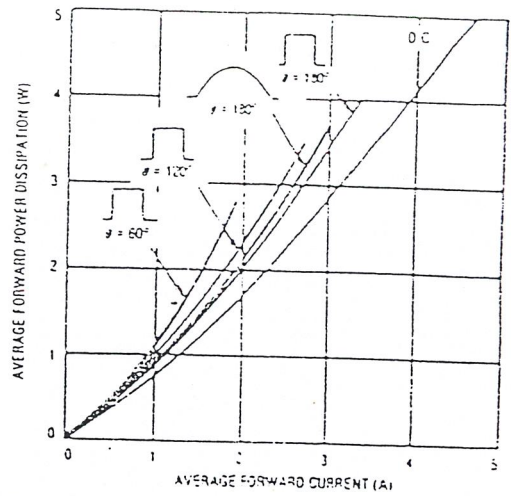


Fig. 17 — Average Forward Power Dissipation Vs. Average Forward Current

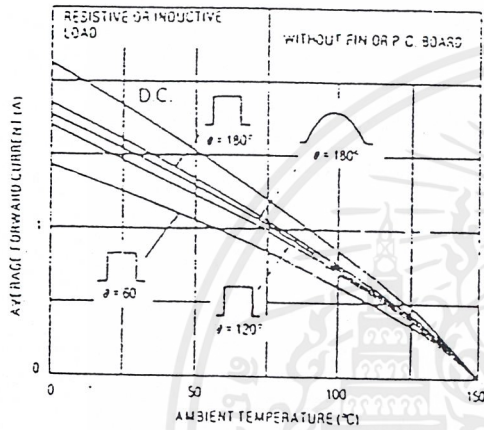


Fig. 18 — Average Forward Current Vs. Ambient Temperature

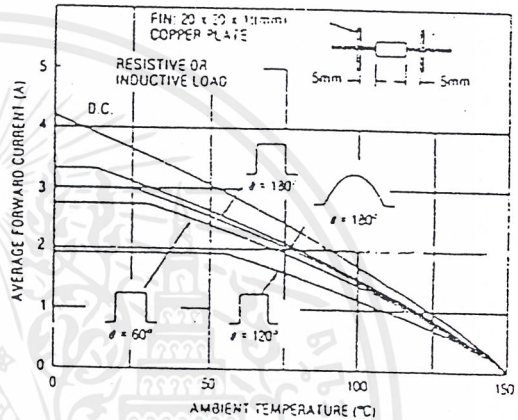


Fig. 19 — Average Forward Current Vs. Ambient Temperature

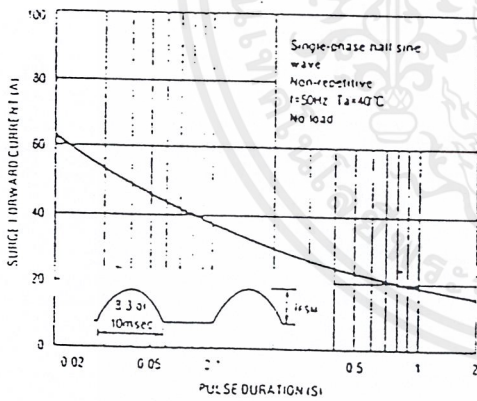
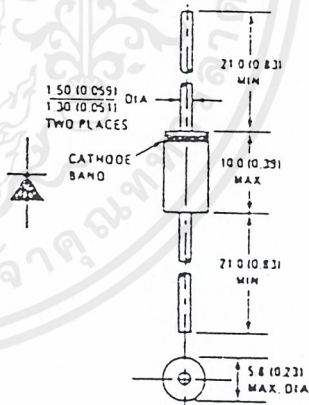


Fig. 20 — Surge Current Ratings



IR Case Style C-16, 31DF Series

# International IR Rectifier

WORLD HEADQUARTERS: 233 Kansas St., El Segundo, California 90245. Tel: (213) 772-2000. Tlx: 4720403  
EUROPEAN HEADQUARTERS: Hurst Green, Oxted, Surrey RH8 9BB. Tel: (088 331) 3215/4231. Tlx: 95219

CANADA: 101 Bentley St., Markham, Ontario L3R 3L1. Tel: (416) 475-1897; 280 Dorval Ave., Suite 201A, Dorval, Quebec H9S 3H4. Tel: (514) 631-4596. IR FRANCE: 123, rue de Petit Vaux, 91360 May Sur Orge. Tel: 33 1 64 54 83 29. IR GERMANY: Savignystrasse 55, D-6000 Frankfurt/Main 1. Tel: (0611) 74 26 74. IR ITALY: Via Liguria 49, 10071 Bogaro, Torino. Tel: (011) 470 1484. IR JAPAN: International House, L.B.S. Bldg., Vikhroli, Bombay 400-083. Tel: (022) 58 15 84. IR FAR EAST: 3-30-4 Nishi-Ikabukuro Toshima-ku, K&H Building 2F, Tokyo 171. Tel: (03) 983 0641. U.S. Central Zone Office: 2100 Manchester Rd., Suite 501, Wheaton, IL 60187. Tel: (312) 690-7700. U.S. Eastern Zone Office: 71 Grand Ave., Palisades Park, NJ 07650. Tel: (201) 943-4554.

Printed in U.S.A. 9/86

Sales Offices, Agents and Distributors in Major Cities Throughout the World.  
Data and specifications subject to change without notice.

เอกสารนี้เป็นเอกสารที่สงวนไว้สำหรับการใช้งานเพื่อการศึกษาเท่านั้น ไม่อนุญาตให้นำไปใช้ประโยชน์ด้านการค้า  
ไม่ว่ากรณีใดๆ ทั้งสิ้น อีกทั้งห้ามมิให้ดัดแปลงเนื้อหาและต้องอ้างอิงถึงเจ้าของเอกสารทุกครั้งที่มีการนำไปใช้